



รายงานการวิจัย พัฒนาวัตกรรมและสิ่งประดิษฐ์

การออกแบบและสร้างเครื่องต้นแบบอากาศยานสี่ใบพัด
ที่บังคับการเคลื่อนที่ด้วยตนเองเพื่อใช้ในการตรวจการณ์ใน มทส.

(DESIGN AND PROTOTYPING OF QUAD ROTOR AIRCRAFT WITH
AUTOMATE MOTION CONTROL FOR PATROLLING IN SUT)

ได้รับทุนอุดหนุนการวิจัย พัฒนาวัตกรรมและสิ่งประดิษฐ์จาก
กองทุนนวัตกรรมและสิ่งประดิษฐ์ สมเด็จพระเทพรัตนราชสูด้าฯ สยามบรมราชกุมารี

ผลงานวิจัยเป็นความรับผิดชอบของหัวหน้าโครงการวิจัยแต่เพียงผู้เดียว



รายงานการวิจัย พัฒนานวัตกรรมและสิ่งประดิษฐ์

การออกแบบและสร้างเครื่องต้นแบบอากาศยานสี่ใบพัด
ที่บังคับการเคลื่อนที่ด้วยตนเองเพื่อใช้ในการตรวจการณ์ใน มกส.

(DESIGN AND PROTOTYPING OF QUAD ROTOR AIRCRAFT WITH
AUTOMATE MOTION CONTROL FOR PATROLLING IN SUT)

หัวหน้าโครงการ
รองศาสตราจารย์ เรืองอักษร ดร.กนต์ธร ชัมโนประศาสน์
สาขาวิชาวิศวกรรมเครื่องกล สำนักวิชาวิศวกรรมศาสตร์
มหาวิทยาลัยเทคโนโลยีสุรนารี

ได้รับทุนอุดหนุนการวิจัย พัฒนานวัตกรรมและสิ่งประดิษฐ์จาก
กองทุนนวัตกรรมและสิ่งประดิษฐ์ สมเด็จพระเทพรัตนราชสูด้าฯ สยามบรมราชกุมารี
ผลงานวิจัยเป็นความรับผิดชอบของหัวหน้าโครงการวิจัยแต่เพียงผู้เดียว

บทคัดย่อ

งานวิจัยนี้ทำการสร้างเครื่องต้นแบบอาคารบ้านแบบสี่ในพัสดุที่สามารถบินและลงจอดแบบอัตโนมัติ โดยเคลื่อนที่อย่าง ไร้คนบังคับ ไปตามเส้นทางที่กำหนดได้ ทั้งนี้เนื่องจากมหาวิทยาลัยเทคโนโลยีสุรนารีมีพื้นที่บริเวณกว้าง จึงทำให้อาคารบริหารส่วนต่าง ๆ ตั้งอยู่ห่างไกลกัน ทำให้ยากต่อการติดต่อสื่อสารในด้านเอกสาร และปัจจุบันเครื่องบินบังคับวิทยุแบบปีกหมุนกำลังเป็นที่นิยมนำไปถ่ายรูปมุมสูง ซึ่งมีข้อดีที่สามารถบินขึ้น-ลงในแนวตั้ง และสามารถรับภาระน้ำหนักได้ ผู้วิจัยจึงทำการออกแบบและสร้างอาคารบ้านแบบสี่ในพัสดุ ไร้คนขับที่สามารถบินรับ-ส่งเอกสารระหว่างอาคารแบบอัตโนมัติ โดยจะมีสถานีสำหรับรับ-ส่งเอกสารอยู่แต่ละอาคารที่กำหนด ซึ่งเส้นทางการบินจะถูกกำหนดไว้ก่อนด้วยพิกัดดาวเทียม GPS ข้อกำหนดของการออกแบบสามารถรับภาระน้ำหนักได้ไม่เกิน 200 กรัม ที่ระดับเพศานบิน 15-20 เมตร

ผลที่ได้จากการวิจัยและสร้างเครื่องต้นแบบนี้ จะช่วยให้งานขนส่งเอกสารภายในมหาวิทยาลัยเทคโนโลยีสุรนารี เกิดความสะดวก ประหยัดเวลา และเพิ่มประสิทธิภาพในการขนส่งเอกสาร พร้อมทั้งพัฒนาระบบการบินของอาคารบ้าน ไร้คนควบคุมให้มีประสิทธิภาพสูงขึ้น



กิตติกรรมประกาศ

โครงการวิจัย พัฒนาวัตกรรมและสิ่งประดิษฐ์ เรื่องการออกแบบและสร้างเครื่องต้นแบบ
อากาศยานสีใบพัดที่บังคับการเคลื่อนที่ด้วยตนเองเพื่อใช้ในการตรวจการณ์ใน มทส. สามารถสำเร็จ^{กิตติมศักดิ์} ลุล่วงไปด้วยดี ทั้งนี้ต้องขอบคุณ กองทุนนวัตกรรมและสิ่งประดิษฐ์ สมเด็จพระเทพรัตนราชสูด้าฯ
สยามบรมราชกุมารี และมหาวิทยาลัยเทคโนโลยีสุรนารีที่ให้ทุนสนับสนุนการทำสิ่งประดิษฐ์นี้
นอกจากนี้ผู้วิจัยต้องขอบขอคุณนางสาวปัทมา ชูกลินและอาจารย์ ดร.ช.โลธร ธรรมแท้ที่เป็นผู้ช่วย
ในการดำเนินการการออกแบบและสร้างเครื่องต้นแบบอากาศยานสีใบพัดที่บังคับการเคลื่อนที่ด้วย
ตนเองเพื่อใช้ในการตรวจการณ์ใน มทส. ด้วยความทุ่มเท และการเอาใจใส่อย่างยิ่ง

กนต์ธร ชำนิประศาสน์

กรกฎาคม 2559

สารบัญ

หน้า

บทคัดย่อ (ภาษาไทย)	ก
กิตติกรรมประกาศ	ข
สารบัญ	ค
สารบัญตาราง	ช
สารบัญรูป	ชช
บทที่	
1 บทนำ	1
1.1 ความเป็นมาและความสำคัญของปัญหา	1
1.2 วัตถุประสงค์การวิจัย	2
1.3 ขอบเขตการวิจัย	2
1.4 สถานที่ทำงานวิจัย	3
1.5 ประโยชน์ที่คาดว่าจะได้รับ	3
2 ปริทศน์วรรณกรรมและงานวิจัยที่เกี่ยวข้อง	4
2.1 กล่าวนำ	4
2.2 ประวัติความเป็นมาและปริทศน์วรรณกรรมที่เกี่ยวข้อง	4
2.3 ประวัติความเป็นมาของอากาศยานสีใบพัด	6
2.3.1 เซลลิคอปเตอร์แบบสีใบพัดขนาดใหญ่	6
2.3.2 เซลลิคอปเตอร์แบบสีใบพัดขนาดเล็ก	10
2.4 หลักการทำงานของอากาศยานแบบสีใบพัด	12
2.4.1 การลอดหัวอยู่ก้นที่ (Hovering)	13
2.4.2 การทำให้อากาศยานสามารถบินขึ้น-ลงได้ (Throttle)	13
2.4.3 การเอียงตัวซ้าย-ขวา (Roll)	14
2.4.4 การควบคุมอากาศยานเบย์หรือก้ม (Pitch)	15
2.4.5 การหมุนตัว (Yaw)	16

สารบัญ (ต่อ)

หน้า

2.5	ส่วนประกอบของอากาศยานแบบสี่ใบพัด	16
	2.5.1 ตัวลำ (Frame)	16
	2.5.2 ชุดควบคุมการบิน (Flight Controller)	17
	2.5.3 ชุดรับ-ส่งสัญญาณ (Signal transmit – Receive system)	18
	2.5.4 ส่วนสร้างแรงบก	19
	2.5.5 แบตเตอรี่ (Battery)	20
2.6	ชุดควบคุมการบิน	23
	2.6.1 การควบคุมระดับมุมอี้ยิ่ง (Attitude Control)	23
	2.6.2 การควบคุมระดับความสูง (Altitude Control)	28
	2.6.3 การควบคุมตำแหน่ง (Position Control)	30
2.7	ชุดรับ-ส่งสัญญาณ (Signal transmit – Receive system)	30
	2.7.1 ชุดส่งสัญญาณ (Signal Transmitter) หรือวิทยุบังคับ	30
	2.7.2 ชุดรับสัญญาณ (Receive system)	31
2.8	ส่วนสร้างแรงบก	33
	2.8.1 มอเตอร์ (Motor)	33
	2.8.2 ชุดควบคุมความเร็วรอบแบบอิเล็กทรอนิกส์ (Electronic Speed Controller: ESC)	38
	2.8.3 ใบพัด (Propeller)	40
2.9	หลักการทำงานของวิทยุบังคับ	44
	2.9.1 ระบบการส่งคลื่นวิทยุบังคับ	45
	2.9.2 ระบบ Modulation	46
	2.9.3 ระบบ Spread Spectrum	49
2.10	โปรแกรมควบคุมการบิน	50
3.1	กล่าวนำ	67
3.2	ข้อกำหนดในการออกแบบ	67

สารบัญ (ต่อ)

	หน้า
3. วิธีการดำเนินการวิจัย.....	53
3.2.1 น้ำหนักบรรทุก (Payload).....	67
3.2.2 เวลาในการบิน (Flight Time)	68
3.3 การออกแบบ	68
3.3.1 ระบบต้นกำลัง	68
3.3.2 ระบบโครงสร้าง	75
3.3.3 ระบบควบคุม	77
3.4 การปรับตั้งค่า PID.....	78
3.5 อุปกรณ์ที่ได้จากการออกแบบ	79
4. ผลการวิจัย	85
4.1 ผลการออกแบบอากาศยานด้วยแบบสี่ใบพัด	86
4.2 ผลการทดสอบระบบการควบคุมอากาศยานด้วยวิทยุบังคับ.....	86
4.2.1 ข้อมูลระดับความสูง	87
4.2.2 ข้อมูลระบบทางกล (Mechanical Failure)	87
4.2.3 ข้อมูลการสั่นสะเทือน (Vibration)	88
4.2.4 ข้อมูลของภาระน้ำหนักแน่น (GPS Glitch)	89
4.2.5 ข้อมูลของแบตเตอรี่ (Battery Issues)	90
4.3 ผลการทดสอบระบบการควบคุมอากาศยานแบบอัตโนมัติ.....	90
4.3.1 ข้อมูลระดับความสูง	91
4.3.2 ข้อมูลระบบทางกล (Mechanical Failure)	91
4.3.3 ข้อมูลการสั่นสะเทือน (Vibration)	92
4.3.4 ข้อมูลของภาระน้ำหนักแน่น (GPS Glitch)	93
4.3.5 ข้อมูลของแบตเตอรี่ (Battery Issues)	94
5. สรุปผลและข้อเสนอแนะ.....	95
5.1 สรุปผลการวิจัย.....	95

สารบัญ (ต่อ)

หน้า

5.2	ข้อเสนอแนะ.....	96
	รายการอ้างอิง	97
ภาคผนวก		
ภาคผนวก ก.	การประกอบอุปกรณ์	99
ภาคผนวก ข.	การลงเฟิร์มแวร์(Firmware) สำหรับโปรแกรม Mission Planner.....	108
ภาคผนวก ค.	การตั้งค่าอุปกรณ์เบื้องต้นสำหรับโปรแกรม Mission Planner.....	113
ภาคผนวก ง.	การทำ Auto Waypoint สำหรับโปรแกรม Mission Planner	120
ภาคผนวก จ.	บทความที่ได้รับการตีพิมพ์เผยแพร่	127



สารบัญตาราง

ตารางที่

หน้า

2.1	แสดงผู้พัฒนาโปรแกรมและชุดควบคุมอาڪຍานแบบสีในพัด.....	49
2.2	แสดงรายละเอียดของชุดควบคุมของผู้พัฒนาแต่ละราย	49



สารบัญรูป

รูปที่	หน้า
2.1 แสดงเฉลิมปีเตอร์แบบสี่ใบพัดลำแรกมีชื่อว่า “Breguet-Richet Gyroplan No.1”	7
2.2 แสดงเฉลิมปีเตอร์แบบสี่ใบพัดของ Etienne Oehmichen.....	7
2.3 แสดงเฉลิมปีเตอร์แบบสี่ใบพัดชื่อ “Flying Octopus”.....	8
2.4 แสดงเฉลิมปีเตอร์แบบสี่ใบพัดแบบ Convertawing.....	8
2.5 แสดงอากาศยานแบบสี่ใบพัดแบบ Curtiss-Wright X-19	9
2.6 แสดงอากาศยานแบบสี่ใบพัดแบบ Bell X-22	9
2.7 แสดงอากาศยานแบบสองใบพัด V-22 Osprey.....	10
2.8 แสดงอากาศยานแบบสี่ใบพัดขนาดเล็กชื่อว่า “Hover bot”	11
2.9 แสดงอากาศยานแบบสี่ใบพัดขนาดเล็กชื่อว่า “Dragon flyer”	11
2.10 แสดงอากาศยานแบบสี่ใบพัดขนาดเล็กชื่อว่า “Mesicopter”	12
2.11 แสดงการลอยตัวอยู่กับที่ของอากาศยานแบบสี่ใบพัด (Hovering)	13
2.12 แสดงการบินขึ้นของอากาศยานแบบสี่ใบพัด (Throttle).....	14
2.13 แสดงการเอียงตัวทางขวาของอากาศยานแบบสี่ใบพัด (Roll).....	15
2.14 แสดงการก้มของอากาศยานแบบสี่ใบพัด (pitch)	15
2.15 แสดงการหมุนตัวทางซ้ายของอากาศยานแบบสี่ใบพัด (Yaw)	16
2.16 แสดงตัวล้ำของอากาศยานแบบสี่ใบพัด	17
2.17 แสดงระบบควบคุมของอากาศยานแบบสี่ใบพัด	18
2.18 แสดงชุดรับ-ส่งสัญญาณควบคุมการบิน	18
2.19 แสดงชุดรับ-ส่งข้อมูลการบิน	19
2.20 แสดงแบตเตอรี่แบบ NiMH ขนาดต่างๆ	20
2.21 แสดงแบตเตอรี่แบบ LiPo ขนาดต่างๆ	21
2.22 แสดงแรงต่างๆที่กระทำบนอากาศยานแบบสี่ใบพัด.....	24
2.23 แสดง Inertial Measurement Unit หรือ IMU.....	25
2.24 แสดงเมื่อลูกบลออยู่ในสภาพไร้แรงโน้มถ่วงของโลก.....	25
2.25 แสดงเมื่อกล่องเคลื่อนที่ไปทางด้าน X-.....	26

สารบัญรูป (ต่อ)

รูปที่	หน้า
2.26 แสดงเมื่อถูกบล็อกอยู่ในสภาพมีแรงโน้มถ่วง	26
2.27 แสดงเมื่อเอียงกล่อง 45 องศา	27
2.28 แสดงเซนเซอร์วัดความเร็วเชิงมุม (Gyroscope)	28
2.29 แสดงหลักการทำงานของเซนเซอร์ชนิดอัลตราโซนิก.....	29
2.30 แสดงเซนเซอร์ชนิดอัลตราโซนิกที่ใช้ในอากาศยานแบบสี่ใบพัด	29
2.31 แสดงการอัมมิเตอร์บน MultiWiiCopter Controller	30
2.32 แสดงส่วนต่างๆของ Signal Transmitter	31
2.33 แสดง FM radio block diagram สำหรับเครื่องบินบังคับวิทยุ (R/C)	32
2.34 แสดงส่วนประกอบของมอเตอร์	34
2.35 แสดงมอเตอร์แบบไม่ใช่แปรรูปถ่านชนิดเอาหัวรันเนอร์ รุ่น MN3508 KV 380	36
2.36 แสดงชุดควบคุมความเร็วอบแบบอิเล็กทรอนิกส์ (Electronic Speed Controller)	39
2.37 แสดงใบพัดไม้	40
2.38 แสดงใบพัดคาร์บอนเสริมไนลอน หรือ ใบพัด APC	40
2.39 แสดงใบพัดคาร์บอนไฟเบอร์	40
2.40 แสดง APC 6x4 Speed 400 Electric Propeller.....	41
2.41 แสดง APC 10x4.7 Slow-Flyer Propeller.....	41
2.42 แสดงใบพัดรูปแบบต่างๆ	42
2.43 แสดงสัญญาณพัลซ์อนุกรม	42
2.44 แสดงสัญญาณพัลซ์อนุกรมแบบกลับทาง	42
2.45 แสดงระบบการรับ – ส่ง สัญญาณวิทยุบังคับ	43
2.46 แสดงระบบ modulation แบบ AM	45
2.47 แสดงระบบ modulation แบบ FM	46
3.1 แสดงกราฟความสัมพันธ์ระหว่างแรงยกและค่าอัตราการกินกระแสของมอเตอร์	54
3.2 แสดงใบพัด ชนิด APC ขนาด 11 x 4.7	55
3.3 แสดงมอเตอร์ รุ่น iFlight MT2814 810 KV	55
3.4 แสดงแบตเตอรี่ขนาด Turnigy5000 mAh	59
3.5 แสดงส่วนของโครงสร้างหลัก	60

สารบัญรูป (ต่อ)

รูปที่	หน้า
3.6 แสดงส่วนไหนของอาคารayan	60
3.7 แสดงภาพการวิเคราะห์โครงสร้างด้วยโปรแกรม ANSYS	61
3.8 แสดง Control Board รุ่น APM 2.6.....	62
3.9 แสดงการควบคุมวิทยุบังคับ	64
3.10 แสดงขั้นตอนการควบคุมวิทยุบังคับ	66
3.11 แสดงกล้องครอบบังคับพร้อมติดตั้งเซอร์โว	67
3.12 แสดงชุดอุปกรณ์ควบคุมวิทยุบังคับ	67
4.1 แสดงอาคารayanต้นแบบสี่ใบพัดสำหรับบินส่งเอกสาร	68
4.2 แสดงหน้าโปรแกรม eCel ที่คำนวณระบบต้นกำลังของอาคารayanต้นแบบลำที่ 1	69
4.3 แสดงอาคารayanต้นแบบลำที่ 1	70
4.4 แสดงการจัดวางอุปกรณ์ก่อนการแก้ไข	71
4.5 แสดงการจัดวางอุปกรณ์หลังการแก้ไข	71
4.6 แสดงการติดไฟฟ้าเพื่อทดสอบการตั้งแต่งของ Control Board.....	72
4.7 แสดงการนำไฟองน้ำมาปิดบารอเมเตอร์	72
4.8 แสดงอาคารayanต้นแบบลำที่ 2	74
4.9 แสดงน้ำหนักของอาคารayanสี่ใบพัด	75
4.10 แสดงข้อมูลการบินจากอาคารเครื่องมือ 6 ไปอาคารเครื่องมือ 5 (กรณีที่ 1)	76
4.11 แสดงข้อมูลการบินจากอาคารเครื่องมือ 6 ไปอาคารเครื่องมือ 5 (กรณีที่ 2)	77
4.12 แสดงข้อมูลการบินหน้าอาคารเครื่องมือ 5 (กรณีที่ 3)	77
4.13 แสดงข้อมูลการบินหน้าอาคารวิชาการ 1 (กรณีที่ 4).....	78
4.14 แสดงข้อมูลการบินจากอาคารวิชาการ 1 ไปอาคารวิชาการ 2 (กรณีที่ 5).....	79
4.15(ก) แสดงข้อมูลการบินจากอาคารวิชาการ 1 ไปอาคารวิชาการ 2 (กรณีที่ 6).....	79
4.15(ข) แสดงข้อมูลการบินจากอาคารวิชาการ 1 ไปอาคารวิชาการ 2 (กรณีที่ 6).....	80
4.16 แสดงข้อมูลการบินจากอาคารเครื่องมือ 5 ไปอาคารเครื่องมือ 6 (กรณีที่ 7)	80
4.17 แสดงความเสียหายที่เกิดจากการตกในกรณีที่ 7	81
4.18 แสดงลักษณะการวางแผนวิทยุบังคับและการส่งสัญญาณ	82
4.19 แสดงข้อมูลการบินจากอาคารเครื่องมือ 5 ไปอาคารเครื่องมือ 6 (กรณีที่ 8)	83

สารบัญรูป (ต่อ)

หัวข้อ	หน้า
ก.1 แสดงโคลอแกรมสำหรับเชื่อมต่ออุปกรณ์ต่างๆ	91
ก.2 แสดงการต่อชุดควบคุมความเร็วรอบแบบอิเล็กทรอนิกส์กับแพงจ่ายไฟหลัก.....	92
ก.3 แสดงการต่อมอเตอร์กับชุดควบคุมความเร็วรอบแบบอิเล็กทรอนิกส์	92
ก.4 แสดงรูปแบบการต่อซ่อง Output ของอาคารยานสีใบพัด	93
ก.5 แสดงการต่อสายแพนซ์ Output	93
ก.6 แสดงการเชื่อมต่อช่องสัญญาณผ่าน Input กับชุดรับสัญญาณ	94
ก.7 แสดงการต่อสัญญาณผ่าน Input กับชุดรับสัญญาณ	94
ก.8 แสดงช่องของ GPS	95
ก.9 แสดงการต่อ GPS กับ บอร์ด APM.....	95
ก.10 แสดงการต่อ Telemetry กับ บอร์ด APM	96
ก.11 แสดงการต่อ Power Module กับแพงจ่ายไฟหลักและบอร์ด APM	96
ก.12 แสดงการต่ออุปกรณ์ต่างๆเข้ากับ บอร์ด APM	97
ข.1 แสดงหน้าต่าง FLIGHT PLAN	99
ข.2 แสดงหน้าต่าง Action (ก) แสดงกรณีไม่ได้ Connect (ข) แสดงกรณีทำการ Connect	99
ข.3 แสดงหน้าต่าง Waypoint	100
ข.4 แสดงตำแหน่ง Home	101
ข.5 แสดงโหมดต่างๆในช่อง Command	102
ข.6 แสดงหน้าต่าง FLIGHT PLAN ที่มีการกำหนด Waypoint	102
ค.1 แสดงรายละเอียดโปรแกรม LabVIEW สำหรับสั่ง Start.....	104
ค.2 แสดงรายละเอียดโปรแกรม LabVIEW สำหรับสั่ง Armed	104
ค.3 แสดงรายละเอียดโปรแกรม LabVIEW สำหรับสั่ง Throttle Up.....	105
ค.4 แสดงรายละเอียดโปรแกรม LabVIEW สำหรับสั่ง Auto	105
ค.5 แสดงรายละเอียดโปรแกรม LabVIEW สำหรับสั่ง Throttle Down.....	106

บทที่ 1

บทนำ

1.1 ความเป็นมาและความสำคัญของปัญหา

อากาศยานหดหายไปพัดมีการวิจัยครั้งแรกในปี ค.ศ. 1920 โดยกองทัพสหรัฐอเมริกา ซึ่งเริ่มแรก มีแนวคิดจากแบบหดใบพัด และพัฒนาต่อเนื่องเป็นแบบลีไบพัดและแบปดิไบพัด ตามลำดับ โดยมี จุดประสงค์เพื่อนำไปใช้ในการกิจทางทหาร ในยุคแรกอากาศยานแบบลีไบพัดที่สร้างได้นั้นมีขนาด ใหญ่มาก แต่ปัจจุบันด้วยเทคโนโลยีที่ก้าวหน้าจึงทำให้อาชญาณสีไบพัดมีขนาดเล็กลงเหมาะสมกับ การใช้งาน

สำหรับในปัจจุบันและอนาคตข้างหน้ามีความต้องการทางอากาศยานขนาดเล็กต่างๆ ที่สามารถปฏิบัติภารกิจในด้านต่างๆ ที่เกินขีดความสามารถของมนุษย์ หรือเพื่อความสะดวกสบายในด้าน ต่างๆ ได้อย่างมีประสิทธิภาพและสามารถใช้งานได้ในทุกสภาพแวดล้อม ซึ่งอากาศยานไร้คนขับหรือ ยูเอวี (Unmanned Aerial Vehicle: UAV) เป็นอากาศยานที่ควบคุมจากระยะไกล ใช้การควบคุม อัตโนมัติซึ่งมีอยู่ 2 ลักษณะ คือ การควบคุมอัตโนมัติจากระยะไกล และการควบคุมแบบอัตโนมัติโดย ใช้ระบบการบินด้วยตนเอง โดยอาศัยโปรแกรมคอมพิวเตอร์ที่มีระบบซับซ้อนแล้วทำการติดตั้งไว้ใน อากาศยาน โดยอากาศยานไร้คนขับขนาดเล็กได้ถูกนำไปใช้ในยุคสำหรับทางทหารมากขึ้น จึงมีงานวิจัย นำอากาศยานสีไบพัดมาทำเป็นอากาศยานแบบไร้คนขับ เนื่องจากง่ายต่อการออกแบบ สามารถบรรทุก สัมภาระ ได้มากเมื่อเทียบกับตัวลำ มีเสถียรภาพในการบิน สามารถเคลื่อนที่ได้อย่างรวดเร็ว ด้วยเหตุผล นี้อากาศยานสีไบพัดจึงเป็นที่นิยมและได้รับความสนใจมากขึ้น จึงทำให้สามารถนำไปปฏิบัติภารกิจทั้ง ภายในและภายนอกอาคาร ได้ ไม่ว่าจะเป็นงานด้านการสำรวจหรือถ่ายภาพทางอากาศ และเริ่มมีการ พัฒนาให้สามารถบินส่งของตามพิกัดที่กำหนด

จากการดำเนินการของมหาวิทยาลัยเทคโนโลยีสุรนารี มาเป็นระยะเวลากว่า 20 ปี มหาวิทยาลัย ได้ประสบผลสำเร็จในการดำเนินการตามภารกิจที่คาดหวังไว้ทุกประการ จากความสำเร็จดังกล่าวทำให้มีจำนวนนักศึกษาและบุคลากรในมหาวิทยาลัยเพิ่มขึ้นอย่างต่อเนื่อง จึงทำให้ทางมหาวิทยาลัยต้องมีการ จัดสร้างอาคารต่างๆ ขึ้น เพื่อรับรองการใช้สอยที่เพียงพอต่อจำนวนนักศึกษา แต่สิ่งนี้เองจากการที่ มหาวิทยาลัยมีพื้นที่ขนาดใหญ่ จึงทำให้อาคารบริหารส่วนต่างๆ ตั้งอยู่ห่างไกลกัน และด้วยจำนวน เอกสารภายในที่เพิ่มมากขึ้น จึงทำให้เกิดปัญหาในด้านการติดต่อสื่อสารทางด้านเอกสาร ดังนั้นเพื่อให้ เกิดความสะดวกและประหยัดเวลา เรายังคงมีระบบสำหรับขนส่งเอกสารระหว่างอาคาร

ผู้จัดจึงมีแนวคิดที่จะทำการสร้างระบบขนส่งเอกสารที่ทำงานแบบอัตโนมัติระหว่างอาคารภายในมหาวิทยาลัยเทคโนโลยีสุรนารี ด้วยการใช้อาศาศยานแบบสี่ใบพัด (Quad Rotor Aircraft) ที่เคลื่อนที่ได้อย่างอัตโนมัติหรือเป็นอาศาศยานไร้คนขับ (Unmanned Aerial Vehicle: UAV) ที่ทำงานแบบอัตโนมัติ การเลือกใช้อาศาศยานแบบสี่ใบพัดก็เนื่องจากเป็นอาศาศยานที่สามารถเคลื่อนที่ขึ้ลงในแนวตั้งได้ โดยไม่ต้องอาศัยทางวิ่งในการขึ้นและลงเหมือนเครื่องบิน และสามารถควบคุมได้ง่ายกว่าอาศาศยานแบบปีกหมุนแบบโรเตอร์เดียวหรือเฮลิคอปเตอร์ที่พับเห็นกันทั่วไป อีกทั้งอาศาศยานสี่ใบพัดยังให้แรงยกที่ค่อนข้างสูงเมื่อเทียบกับตัวลำ มีเสถียรภาพในการบิน สามารถเคลื่อนที่ได้อย่างรวดเร็ว จึงเหมาะสมที่จะนำมาใช้ในการขนส่งเอกสารระหว่างอาคาร

1.2 วัตถุประสงค์การวิจัย

สำหรับงานวิจัยนี้ มีวัตถุประสงค์ของงานวิจัยในด้านการออกแบบและสร้างอาศาศยานต้นแบบเพื่อบินขนส่งเอกสารระหว่างอาคาร ซึ่งวัตถุประสงค์หลัก ๆ ของงานวิจัยนี้มีดังต่อไปนี้

- 1.2.1 เพื่อออกแบบและสร้างเครื่องต้นแบบอาศาศยานแบบสี่ใบพัดควบคุมอัตโนมัติ
- 1.2.2 อาศาศยานสามารถเคลื่อนที่ไปจุดต่าง ๆ ตามที่โปรแกรมໄว้ได้อย่างอัตโนมัติ
- 1.2.3 อาศาศยานสามารถขนส่งเอกสารระหว่างอาคารได้

1.3 ขอบเขตการวิจัย

งานวิจัยนี้จะกำหนดขอบเขตการวิจัยเพื่อสามารถเป็นเป้าหมายและวิธีการในการแก้ปัญหา ได้อย่างเป็นระบบ ขอบเขตของงานวิจัยนี้ประกอบด้วย

- 1.3.1 อาศาศยานต้นแบบที่สร้างขึ้นจะมีสี่ใบพัด และทำงานในสภาพอากาศที่ลมสงบ
- 1.3.2 อาศาศยานต้นแบบสามารถขนส่งเอกสารด้วยน้ำหนักไม่เกิน 200 กรัม
- 1.3.3 การเคลื่อนที่ของอาศาศยานต้นแบบ จะเคลื่อนที่ส่งเอกสารระหว่างอาคารภายในมหาวิทยาลัยเทคโนโลยีสุรนารี โดยการกำหนดเส้นทางการเคลื่อนที่ด้วยพิกัดของ GPS
- 1.3.4 สามารถที่จะปรับเปลี่ยนมาเป็นการบินโดยใช้คนบังคับได้ในเวลาที่ต้องการ

1.4 สถานที่ทำงานวิจัย

มหาวิทยาลัยเทคโนโลยีสุรนารี

1.5 ประโยชน์ที่คาดว่าจะได้รับ

- 1.5.1 ได้ระบบสำหรับขนส่งเอกสารระหว่างอาคารภายในมหาวิทยาลัยเทคโนโลยีสุรนารี
- 1.5.2 จะช่วยให้งานขนส่งเอกสารภายในมหาวิทยาลัยเทคโนโลยีสุรนารี เกิดความสะดวก ประหยัดเวลา และเพิ่มประสิทธิภาพในการขนส่งเอกสาร
- 1.5.3 ช่วยพัฒนาระบบการออกแบบอาคารayan สีใบพัดให้ใช้งานได้จริง
- 1.5.4 เป็นการพัฒนาระบบการบินของอาคารayanแบบไร้คนควบคุมให้มีประสิทธิภาพสูงขึ้น



บทที่ 2

ปริทรรศน์วรรณกรรมและทฤษฎีเกี่ยวข้อง

ในบทนี้จะเป็นการกล่าวถึงปริทรรศน์วรรณกรรมที่เกี่ยวข้องกับงานวิจัยฉบับนี้ และยังกล่าวถึงความเป็นมาของอาชญาณหลายใบพัด ซึ่งมีการค้นคว้าและวิจัยในด้านนี้มาเป็นระยะเวลา กว่า 90 ปี โดยกองทัพสหรัฐอเมริกา ซึ่งมีจุดประสงค์เพื่อนำไปใช้ในการกิจทางทหาร ปัจจุบันอาชญาณสี่ใบพัดจึงเป็นที่นิยมและได้รับความสนใจมากขึ้น จึงทำให้สามารถนำไปปฏิบัติการกิจทั้งภายในและภายนอกอาคารได้ ไม่ว่าจะเป็นงานด้านการสำรวจหรือถ่ายภาพทางอากาศ และเริ่มนี การพัฒนาให้สามารถบินส่งของตามพิกัดที่กำหนด

ในส่วนแรกจะเป็นส่วนที่ผู้วิจัยได้ทำการค้นคว้าเอกสาร รายงานการวิจัย วิทยานิพนธ์ต่างๆ ที่เกี่ยวข้องกับงานวิจัยที่ได้ดำเนินการอยู่ และตามที่ได้กล่าวมาแล้วว่างานวิจัยด้านนี้มีระยะเวลา นาน จึงมีบทความและเอกสารต่างๆ ที่เกี่ยวข้องเป็นจำนวนมาก ดังนั้นผู้วิจัยได้เลือกเฉพาะส่วนของงานวิจัยที่เกี่ยวข้องหรือมีส่วนคล้ายกับงานวิจัยที่กำลังดำเนินการอยู่นี้มานำเสนอเท่านั้น

นอกเหนือจากนั้นส่วนที่สองของในบทนี้ ผู้วิจัยจะนำเสนอประวัติความเป็นมาของอาชญาณแบบสี่ใบพัด ทั้ง歇ลิคป์เตอร์แบบสี่ใบพัดขนาดใหญ่และแบบขนาดเล็ก ที่ได้พัฒนามาจนถึงปัจจุบัน

สำหรับในส่วนต่อมาได้กล่าวถึงทฤษฎีหลักการทำงานของอาชญาณแบบสี่ใบพัด ทั้งหลักการการบินโดยตัวของอาชญาณ การบินขึ้น-ลง การเอียงซ้าย-ขวา หรือการหมุนตัวของอาชญาณ นอกจากหลักการทำงานของอาชญาณแล้วในบทนี้ยังกล่าวถึงส่วนประกอบของอาชญาณชนิดสี่ใบพัด ซึ่งจะแสดงเนื้อหาที่สามารถนำไปใช้ในการเลือกใช้อุปกรณ์ และเข้าใจในรายละเอียดของแต่ละอุปกรณ์มากยิ่งขึ้น รวมไปถึงการกล่าวถึงโปรแกรมสำหรับความคุ้มการบิน

2.1 ประวัติความเป็นมาและปริทรรศน์วรรณกรรมที่เกี่ยวข้อง

DiCesar et al. (2013) กล่าวว่าหน้าหนักของอาชญาณแบบสี่ใบพัดมีผลต่อเวลาในการบิน และทำให้สิ้นเปลืองพลังงาน ดังนั้นจึงได้มีการออกแบบโครงสร้างอาชญาณให้มีหน้าหนักลดลง 10% แล้ววิเคราะห์ดูความแข็งแรงที่เป็นไปได้ จึงทำการจัดสร้างอาชญาณแบบสี่ใบพัด โดยได้ทำการออกแบบระบบควบคุมที่ทำงานผ่านไมโคร โปรเซสเซอร์ และระบบตรวจสอบสัญญาณอื่นๆ หลักจากการบินทดสอบ พบว่าการลดน้ำหนักของตัวอาชญาณลง ส่งผลให้เวลาในการบินของอาชญาณเพิ่มขึ้น

ธิติ นิลทองคำ (2555) ได้นำเสนอการใช้ตัวควบคุมแบบคลาสสิกมาควบคุมเสถียรภาพของอากาศยาน ไร้คนขับแบบสี่ใบพัดขนาดเล็ก บทความนี้ได้แสดงถึงแบบจำลองระบบสมการทางพลศาสตร์ของอากาศยานและแสดงการออกแบบระบบควบคุมเพื่อรักษาเสถียรภาพทางการบิน (Attitude Stabilization) ของอากาศยานสี่ใบพัดด้วยระบบควบคุมแบบคลาสสิกให้สามารถบินรักษาระดับ (Hovering)

Jeong and Jung (2011) ได้นำเสนอการออกแบบและควบคุมระบบของอากาศยานแบบสี่ใบพัด จุดประสงค์ต้องการลดค่าใช้จ่ายในการสร้างอากาศยานที่ต้องการใช้ในการศึกษาหรือสำหรับทำเป็นงานอดิเรกทั่วไป โดยเริ่มต้นจะทำการลดขนาดของตัวอากาศยานลง ซึ่งมีผลทำให้อากาศยานเกิดความคล่องตัวมากยิ่งขึ้น ส่วนที่สองทำการควบคุมขนาดของฮาร์ดแวร์ ส่วนที่สามเกี่ยวข้องกับระบบควบคุมการตรวจสอบต่างๆที่จะต้องใช้เวลาที่สั้นลง เพื่อลดเวลาในการคำนวณให้เหมาะสมกับขนาดของหน่วยประมวลผลที่ใช้อยู่ บทความนี้จึงทำการทดลองเพื่อตรวจสอบความเป็นไปได้ของระบบที่ได้ทำการออกแบบ

Jaimes et al. (2008) ได้นำเสนอวิธีการเฝ้าระวังของผู้เครื่องบินและอากาศยานสี่ใบพัดแบบไร้คนขับ ซึ่งวิธีการจะนำเสนอเกี่ยวกับสถานการณ์จริงที่เครื่องบินและอากาศยานสี่ใบพัดแบบไร้คนขับทำงานร่วมกัน เพื่อเฝ้าระวังพื้นที่ โดยอากาศยานสี่ใบพัดแบบไร้คนขับจะเป็นตัวกำหนดความสูงของพื้นที่เฝ้าระวัง โดยใช้พิกัด GPS ที่อยู่บนตัวอากาศยานเป็นตัวกำหนดตำแหน่ง และใช้ในการสื่อสารและส่งภาพกลับมายังภาคพื้นดิน ซึ่งข้อมูลที่ได้รับนั้นอยู่ในระดับที่สามารถยอมรับได้ ในสถานการณ์นี้ระบบและการควบคุมของมนุษย์สามารถทำงานร่วมกันได้โดยมีปฏิสัมพันธ์ในระบบการทำงาน

Bousbaine et al. (2012) กล่าวว่าอากาศยานแบบสี่ใบพัด เป็นอากาศยานที่ง่ายต่อการสร้างและดูแลรักษา และยังมีข้อดีที่สามารถบินโดยตัวขึ้น-ลงในแนวเดียว ได้ ซึ่งขึ้นตอนแรกได้พัฒนาระบบควบคุม คือการสร้างแบบจำลอง บทความนี้นำเสนอรูปแบบการวิเคราะห์รายละเอียดแบบไดนามิกของอากาศยานแบบสี่ใบพัด โดยใช้การประมาณเชิงเส้นของทฤษฎีเทลล์เลอร์ และพัฒนารูปแบบการวิเคราะห์ให้สมீองจริงในโปรแกรม MatLab/Simulink

Rodic and Mester (2011) บทความนี้ได้จากการสร้างแบบจำลองควบคุมอากาศยาน โดยเน้นการพัฒนาการใช้เครื่องมือที่ทันสมัยที่เหมาะสมในการออกแบบระบบควบคุมและแบบจำลองของแบบอากาศยานสี่ใบพัด ซึ่งจะใช้สำหรับการพัฒนาขั้นตอนวิธีการควบคุมและตรวจสอบก่อนที่จะทำงานร่วมกับระบบจริง

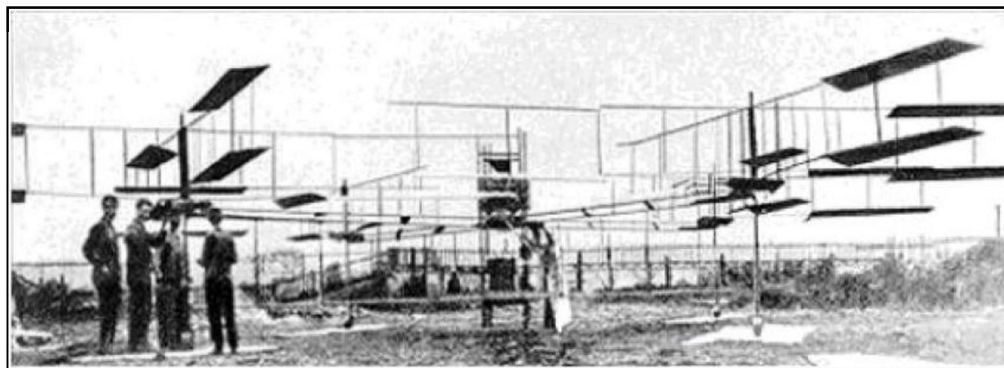
Senkul and Altug (2013) กล่าวว่าการอุยงตัวของอาคารบ้านจะส่งผลต่อมุมมองของกล้องในบทความนี้ได้นำเสนอการออกแบบและควบคุมอาคารบ้านแบบสี่ใบพัดแบบใหม่ ซึ่งแตกต่างจากการศึกษาทั่วๆไปในบทความนี้ได้นำระบบเครื่องยนต์ที่เลือกจากการอุยงของใบพัด การออกแบบนี้จะช่วยลดการอุยงของระบบโครงสร้าง โดยใช้แบบจำลองทางคณิตศาสตร์มาออกแบบขึ้นตอนวิธีการควบคุม ซึ่งผลที่ได้อาคารบ้านแบบสี่ใบพัดให้ประสิทธิภาพในการบินเพิ่มขึ้น

Gonzalez et al. (2011) บทความนี้ได้แนะนำการแก้ไขปัญหาของระดับความสูงและการควบคุมความสูงของอากาศยานแบบสี่ใบพัดไร้คนขับขนาดเล็ก ที่บินโดยตัวในร่มและกลางแจ้ง ดังนั้นในบทความนี้ได้ทำการควบคุมความสูงโดยใช้การตรวจวัดความเร็วรอบของมอเตอร์แต่ละตัว โดยจะส่งผลให้อากาศยานขนาดเล็กมีเสถียรภาพและมีประสิทธิภาพในการบินโดยตัวเคลื่อนที่ตามแนวแกนนอน นอกจากนี้ยังอธิบายถึงการควบคุมการทรงตัวของอากาศยาน โดยใช้การตรวจวัดความเร็วของอุปกรณ์ควบคุมต่าง ๆ

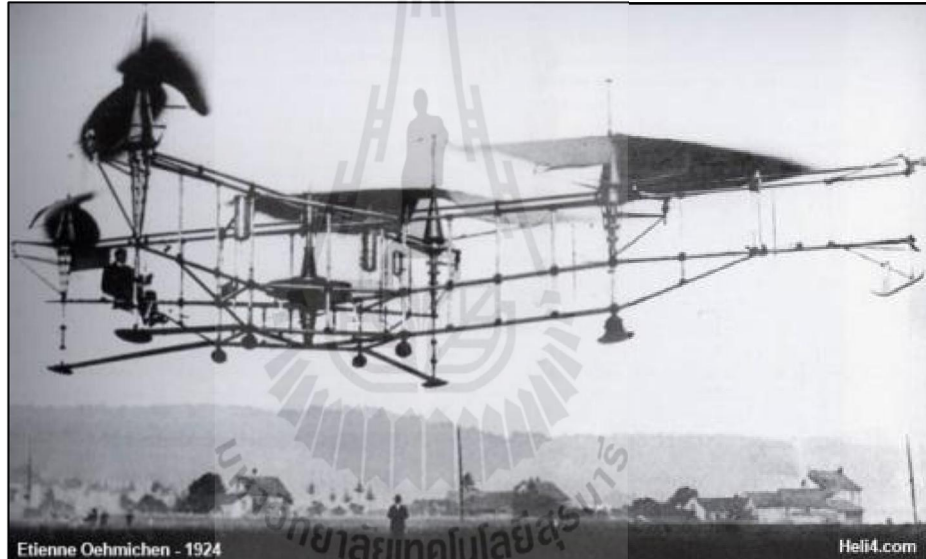
2.2 ประวัติความเป็นมาของอาชญาณส์ใบพัด

2.2.1 เฮลิคอปเตอร์แบบส์ใบพัดขนาดใหญ่

เหล็กอุปเตอร์แบบสี่ใบพัดลำแรร์มีชื่อว่า “Breguet-Richet Gyroplan No.1” ถูกสร้างขึ้นเมื่อปี ค.ศ. 1907 ประกอบไปด้วยโครงสร้างแบบคานากบาท (Cross beam fuselage) มีไตรเตอร์แบบหมุนกลับด้าน (Bi-plane) 4 ชุด (มีใบพัดทั้งหมด 32 ใบ) ดังรูปที่ 2.1 เครื่องสามารถบรรทุกคนได้ 1 คน แต่ไม่สามารถบินขึ้นให้พ้นจากผลของแรงลมประทับพื้นดินได้ (Ground effect) ทำให้เครื่องขาดเสียร้าฟในการบินขณะลอยตัวอยู่กับที่ (Hovering) ในปี ค.ศ. 1921 Etienne Oehmichen ได้สร้างและปรับปรุงเหล็กอุปเตอร์แบบสี่ใบพัดจนทำสถิติบินได้สูงถึง 360 เมตรในปี ค.ศ. 1924 ดังรูปที่ 2.2

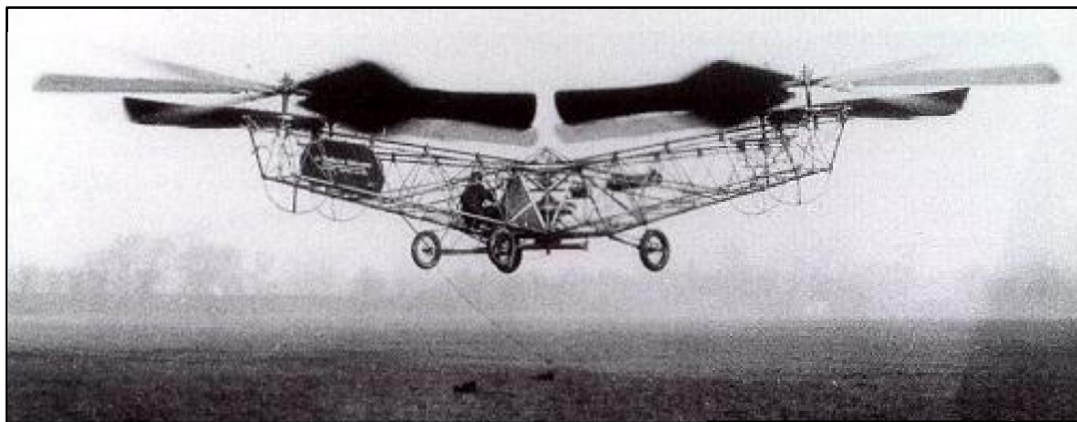


รูปที่ 2.1 แสดงเฮลิคอปเตอร์แบบสี่ใบพัดลำแรกมีชื่อว่า “Breguet-Richet Gyroplan No.1”



รูปที่ 2.2 แสดงเฮลิคอปเตอร์แบบสี่ใบพัดของ Etienne Oehmichen

ในปี ก.ศ. 1922 Jerome-de Bothezat ได้สร้างและพัฒนาเฮลิคอปเตอร์แบบสี่ใบพัดชื่อ “Flying Octopus” ดังรูปที่ 2.3 ร่วมกับกองทัพสหราช และบินได้อย่างประสบผลสำเร็จ คือสามารถดอยตัวและบินเดินทางได้อย่างชาญ แต่โครงการถูกยกเลิกไป เนื่องจากต้นทุนสูง สมรรถนะการบินต่ำ และกองทัพให้ความสนใจเครื่องบินแบบอโต้ไจโร (Auto gyro plane) มากกว่า



รูปที่ 2.3 แสดงเฮลิคอปเตอร์แบบสี่ใบพัดชื่อ “Flying Octopus”

ในปี ค.ศ. 1956 ได้มีการพัฒนาเฮลิคอปเตอร์แบบสี่ใบพัดแบบ Convertawing ดังรูปที่ 2.4 โดยได้ปรับปรุงข้อด้อยของ Oehmichen เพื่อให้การบินเดินทางได้ดีขึ้น โดยใช้เครื่องยนต์สองเครื่องปรับแรงยกใบพัดด้านหน้าและด้านหลัง แต่โครงการก็ถูกยกเลิกไปเนื่องจากไม่ได้รับความสนใจในเชิงพาณิชย์และทางทหาร ซึ่งเฮลิคอปเตอร์แบบนี้ใช้การควบคุมแบบใหม่ถือว่าเป็นจุดเริ่มต้นในการพัฒนาเฮลิคอปเตอร์แบบสี่ใบพัดในปัจจุบัน



รูปที่ 2.4 แสดงเฮลิคอปเตอร์แบบสี่ใบพัดแบบ Convertawing

ในยุคทศวรรษ 1960 สหรัฐอเมริกามีโครงการพัฒนาอากาศยานแบบสี่ใบพัดใช้ชื่อโครงการว่า “X-Plane” โครงการนี้ได้พัฒนาอากาศยานสองแบบคือ x-19 ดังรูปที่ 2.5 และ x-22 ดังรูปที่ 2.6 ทั้งคู่ใช้การปรับมุมพิทของใบพัด เพื่อเพิ่ม-ลด แรงยก ซึ่งโครงการ x-19 ใช้ปรับมุมของแรงขับของเครื่องเทอร์โบเจ็ททั้งสี่ เพื่อควบคุมการลอยตัวของอากาศยาน x-19 บินตกขณะที่บินทดสอบเที่ยวแรก (First flight) ทำให้โครงการถูกยกเลิกไป



รูปที่ 2.5 แสดงอากาศยานแบบสี่ใบพัดแบบ Curtiss-Wright X-19

ส่วน x-22 ใช้ท่อลม (Ducted fan) จำนวนสี่ชุดเป็นส่วนควบคุมการเคลื่อนที่และปรับท่อลมในแนวระดับเพื่อบินด้วยความเร็วดังรูปที่ 2.6



รูปที่ 2.6 แสดงอากาศยานแบบสี่ใบพัดแบบ Bell X-22

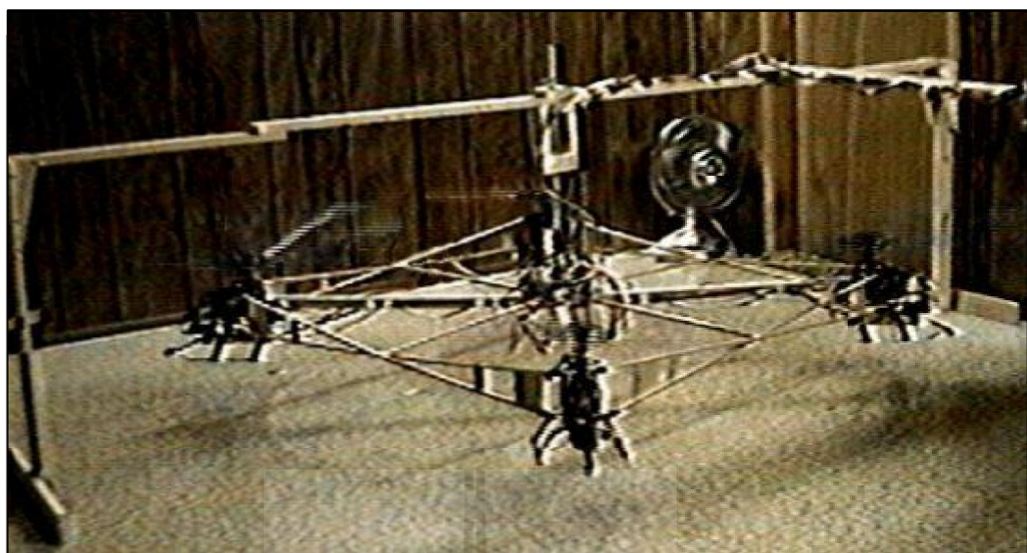
หลังจากที่ Boing ประสบความสำเร็จกับโครงการ V-22 Osprey ซึ่งเป็นอากาศยานแบบสองใบพัด ที่ได้รับการพัฒนาอากาศยานแบบสี่ใบพัดแบบปรับนุ่มได้ ดังรูปที่ 2.7 ซึ่งอยู่ในระหว่างการออกแบบและทดสอบแบบจำลองอุโมงค์ลม



รูปที่ 2.7 แสดงอากาศยานแบบสองใบพัด V-22 Osprey

2.2.2 เสลิคอปเตอร์สี่ใบพัดขนาดเล็ก

เสลิคอปเตอร์แบบสี่ใบพัดขนาดเล็ก ได้ถูกพัฒนาสำหรับเป็นอากาศยานไร้นักบินขนาดเล็ก (Unmanned Aerial Vehicle, UAV) แบบขึ้นลงในแนวเดียว เพื่อใช้ในการต่างๆ ในปี ค.ศ. 1992 ได้มีการพัฒนาอากาศยานชื่อว่า “Hover bot” ดังรูปที่ 2.8 การรักษาการทรงตัวทำได้โดยใช้เซนเซอร์แบบตัวต้านทานปรับค่าให้ที่แกนกลางเป็นตัวบอกระดับ และปรับมุมพิทที่ใบพัดแต่ละแกนเพื่อควบคุมระดับความเอียง



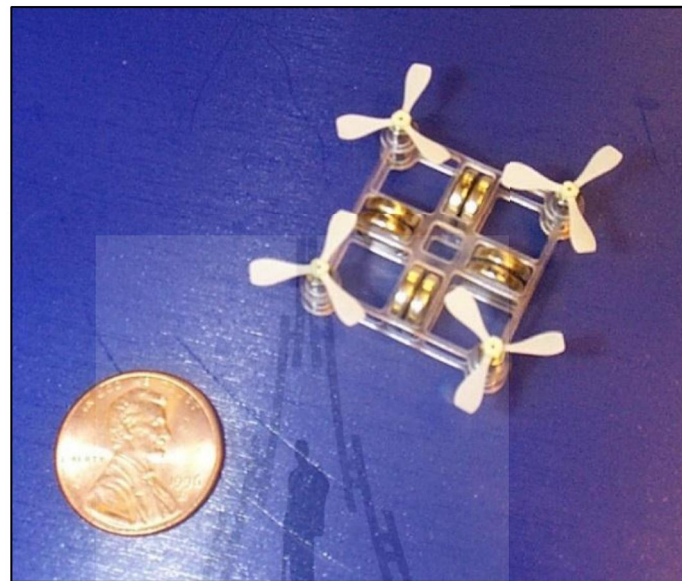
รูปที่ 2.8 แสดงอากาศยานแบบสี่ใบพัดขนาดเล็กชื่อว่า “Hover bot”

ช่วงกลางทศวรรษที่ 90 ได้มีการสร้างอากาศยานสี่ใบพัดขนาดเล็กเชิงพาณิชย์เพื่อ
งานอดิเรกโดยใช้เซนเซอร์ไฮโรแบบโครงสร้างจักรกลไฟฟ้าขนาดเล็ก หรือเรียกว่า MEMs (Micro
Electro Mechanical structure) ชื่อว่า “Roswell flyer” และ HMX-4 ต่อมากลายเป็น “Dragon flyer”
มีโครงสร้างขนาดเล็ก น้ำหนักเบา บรรทุกน้ำหนักได้ไม่มาก ราคาถูกดังรูปที่ 2.9



รูปที่ 2.9 แสดงอากาศยานแบบสี่ใบพัดขนาดเล็กชื่อว่า “Dragon flyer”

ช่วงปลายทศวรรษที่ 90 มหาวิทยาลัย Standford ได้พัฒนาอากาศยานสีไบพัคขนาดเล็กในเชิงวิจัยชื่อว่า “Mesicopter” มีลักษณะใบพัดอยู่ด้านล่าง มวลส่วนใหญ่อยู่ด้านบน ซึ่งตรงข้ามกับอากาศยานสีไบพัคในปัจจุบัน ดังรูปที่ 2.10



รูปที่ 2.10 แสดงอากาศยานแบบสีไบพัคขนาดเล็กชื่อว่า “Mesicopter”

ช่วงปี ค.ศ. 2000 เป็นต้นมา อากาศยานแบบสีไบพัคได้กลายเป็นของเล่นและเป็นเครื่องมือสำหรับงานวิจัย นักบินต้องควบคุมเครื่องร่วมกับใจ ต่อมา Dragonfly ได้กลายเป็นส่วนหนึ่งในงานวิจัยทั่วโลก นักวิจัยใช้ลำตัวและมอเตอร์เป็นอุปกรณ์หลัก เพื่อพัฒนาระบบควบคุมอัตโนมัติ

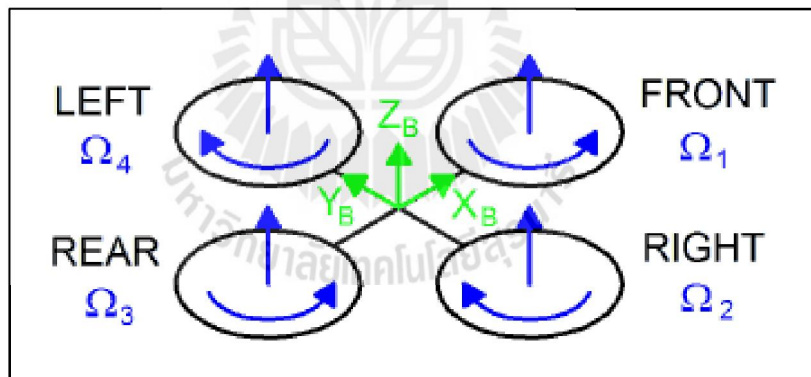
2.3 หลักการทำงานของอากาศยานแบบสีไบพัค

การควบคุมการเคลื่อนที่ของอากาศยานแบบสีไบพัค จะควบคุมโดยการกำหนดให้ความเร็วรอบของใบพัดอากาศยานทึ้งสี่ใบมีความแรงในรูปแบบต่าง ๆ กัน ซึ่งอุปกรณ์ที่ทำการควบคุมความเร็วรอบของใบพัดอากาศยานนั้น ทุกวันนี้จะใช้ไมโครคอนโทรลเลอร์ (Micro Controller) ซึ่งในปัจจุบันนี้จะมีบอร์ดสำเร็จรูปที่ได้รับการออกแบบและสร้างขึ้นมาสำหรับควบคุมการเคลื่อนที่ของอากาศยานแบบสีไบพัค โดยเฉพาะ ซึ่งนอกจากไมโครคอนโทรลเลอร์แล้ว บนแพลตฟอร์มยังจะมีอุปกรณ์ที่ตรวจจับต่าง ๆ ที่จำเป็นในการควบคุมอากาศยานอีก เช่น อุปกรณ์วัดความเร่ง (Accelerometer) อุปกรณ์วัดมุมอธิบาย (Gyroscopic Sensor) อุปกรณ์หาตำแหน่ง (GPS) และอุปกรณ์

อื่น ๆ ทั้งนี้ ทำให้การควบคุมอากาศยานแบบนี้สามารถทำได้่ายมาขึ้น สำหรับลักษณะ การควบคุมอากาศยานแบบปีกหมุนนั้น เพื่อให้ได้การเคลื่อนที่ตามที่ต้องการ จะประกอบด้วยการ เคลื่อนที่หลัก ๆ ดังนี้

2.3.1 การลอยตัวอยู่กับที่ (Hovering)

ทำได้โดยควบคุมให้ความเร็วในพัดทั้งสี่ตัวมีความเร็วที่เท่ากันเพื่อสร้างโมเมนต์ บิดที่เกิดจากด้านหนึ่งหักล้างกับโมเมนต์บิดที่เกิดขึ้นจากอิกด้านหนึ่ง ตามที่แสดงในรูปที่ 2.11 โดย กำหนดแกน X ไปในทิศทางด้านหน้าของอากาศยาน แกน Z อยู่ในทิศทางที่ซึ่งขึ้นด้านบน และ แกน Y เป็นไปตามกฎมือขวา สำหรับชื่อของในพัดทั้งสี่ก็จะเป็น ในพัดหน้า (Front Rotor) ในพัด หลัง (Rear Rotor) ในพัดขวา (Right Rotor) ในพัดซ้าย (Left Rotor) เพื่อให้อากาศยานลอยหยุดอยู่ นั่นได้ อุปกรณ์ควบคุมจะทำการควบคุมในพัดที่อยู่ในแนวเส้นทแยงมุมกันหนุนไปในทิศทาง เดียวกันด้วยความเร็วเท่ากัน โดยในพัดทั้งสี่จะมีความเร็วรอบเท่ากัน ด้วย Hover speed Ω_H นั้นคือ $\Omega_1 = \Omega_2 = \Omega_3 = \Omega_4 = \Omega_H$ การหมุนของในพัดเช่นนี้จะทำให้โมเมนต์รอบแกน Z ของอากาศยาน หักลงกันไปหมด ทำให้อากาศยานหยุดนิ่ง ไม่มีการหมุนรอบแกนใดๆ แรงถ้าเมื่อเร่งยกที่เกิดจาก ในพัดทั้งสี่เท่ากับน้ำหนักของอากาศยาน ก็จะทำให้อากาศยานลอยนิ่งได้

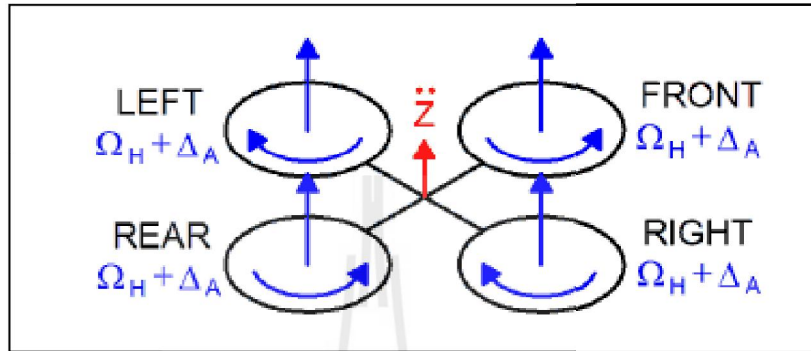


รูปที่ 2.11 แสดงการลอยตัวอยู่กับที่ของอากาศยานแบบสี่ใบพัด (Hovering)

2.3.2 การทำให้อากาศยานสามารถบินขึ้น-ลง (Throttle)

จากการที่อากาศยานหยุดนิ่งในอากาศได้ เนื่องจากแรงยกเท่ากับน้ำหนักและ ความเร็วรอบของในพัดทั้งสี่เท่ากันที่ Ω_H การที่จะให้อากาศยานยกตัวขึ้น จะสามารถเพิ่มความเร็ว รอบให้มากขึ้นกว่า Ω_H ตามที่แสดงในรูปที่ 2.12 โดยเพิ่มความเร็วรอบของในพัดทั้งสี่ให้เป็น $\Omega_H + \Delta_A$ เท่ากันทั้งหมดการกระทำเช่นนี้จะทำให้โมเมนต์รอบแกน Z ยังคงเท่ากับศูนย์แต่แรงใน แกน Z จะมากขึ้น ทำให้แรงยกมากกว่าน้ำหนัก ก็จะทำให้อากาศยานยกตัวขึ้นต่อเนื่องด้วยความเร็ว

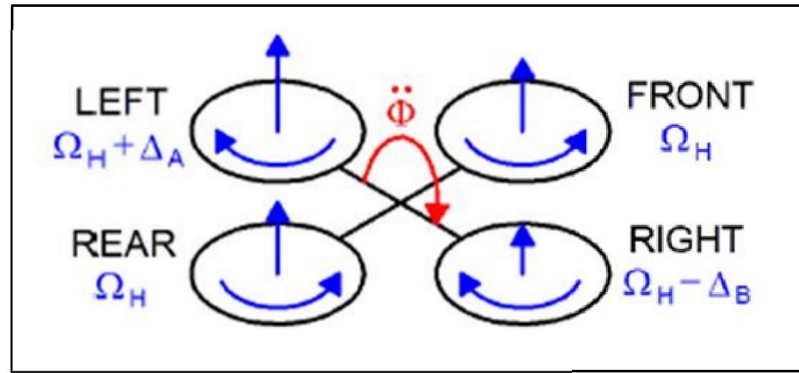
เท่ากับ Z ตามที่แสดงในรูปส่วนในกรณีเราต้องการลดระดับความสูง ก็จะทำในลักษณะเดียวกัน เพียงแต่ให้ค่าความเร็วรอบต่ำลงเป็น $\Omega_H + \Delta_A$ ก็จะทำให้แรงยกมีค่าน้อยกว่าหนึนัก อากาศยาน จะค่อย ๆ เคลื่อนตัวต่ำลงด้วยอัตราเร่ง Z ด้วยวิธีการนี้ เราสามารถที่จะควบคุมการบินขึ้นและลง ของอากาศยานได้



รูปที่ 2.12 แสดงการบินขึ้นของอากาศยานแบบสี่ใบพัด (Throttle)

2.3.3 การเอียงตัวซ้าย-ขวา (Roll)

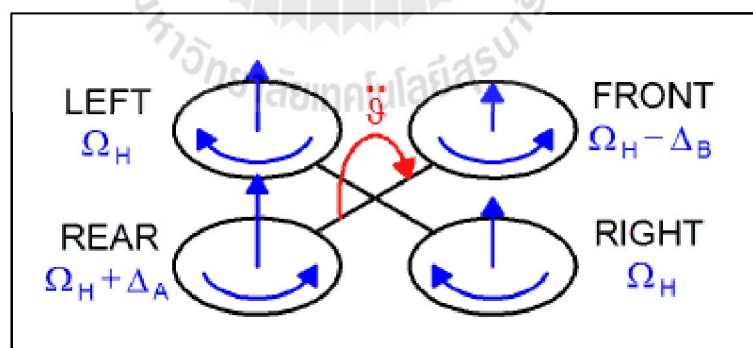
หากเราต้องการให้อากาศยานหมุนรอบแกน X หรือเรียกว่าการเอียงตัวซ้าย-ขวา สิ่งที่เราต้องทำคือทำให้แรงบิดรอบแกน X ไม่เป็นศูนย์ เมื่อกับการลดอยตัว เพื่อจะได้แรงตาม วัตถุประสงค์นี้ เราจะต้องควบคุมใบพัดหน้าและใบพัดหลัง มีความเร็วเท่าเดิม แต่ความเร็วใบพัด ซ้ายในพัดขวาจะเปลี่ยนไป ยกตัวอย่างเช่นเราต้องการให้อากาศยานหมุนตัวเป็นมุนรอบแกน X เราจะกำหนดให้ใบพัดซ้ายหมุนเร็วขึ้นให้มีความเร็วเป็น $\Omega_H + \Delta_A$ เพื่อเพิ่มแรงยกด้านซ้าย ในขณะเดียวกับที่ลดความเร็วในพัดขวาลงให้เป็น $\Omega_H - \Delta_B$ แรงที่มากขึ้นทางด้านซ้ายและลดลง ด้านขวา จะทำให้อากาศยานเริ่มหมุนรอบแกน X หมุนตามต้องการ ด้วยความเร่งเชิงมุมเท่ากับ $\ddot{\phi}$ โดยการเพิ่มความเร็วทางในซ้ายด้วยปริมาณ Δ_A และลดความเร็วทางในพัดขวาด้วยปริมาณ Δ_B นั้นไม่จำเป็นต้องเป็นอัตราเดียวกัน ทั้งนี้ขึ้นกับอัตราเร่งในการหมุนตัวที่เราต้องการ ดังรูป 2.13



รูปที่ 2.13 แสดงการอี้งตัวทางขวาของอากาศยานแบบสี่ใบพัด (Roll)

2.3.4 การควบคุมอากาศยานโดยหือกม (Pitch)

การควบคุมนี้จะคล้ายกับการหมุนรอบแกน X หรือ Roll เพียงแต่เราเปลี่ยนแกนการหมุนให้เป็นแกน Y ตามที่แสดงในรูป 2.14 โดยถ้าหากเราต้องการจะก้มหน้าอากาศยานเราจะกำหนดใบพัดซ้ายและขวาให้มีความเร็วรอบเท่ากันและลดความเร็วรอบของใบพัดหน้าลงให้เป็น $\Omega_H - \Delta_B$ และเพิ่มความเร็วของใบพัดหลังให้เป็น $\Omega_H + \Delta_A$ แรงที่เกิดจากความแตกต่างของแรงยกที่ใบพัดหน้าและหลัง จะทำให้เกิดโรวมเม้นต์รอบแกน Y ขึ้น ทำให้อากาศยานเริ่มหมุนตัวรอบแกน Y ด้วยความเร่ง $\ddot{\vartheta}$ เพื่อเข้าสู่สมดุลใหม่



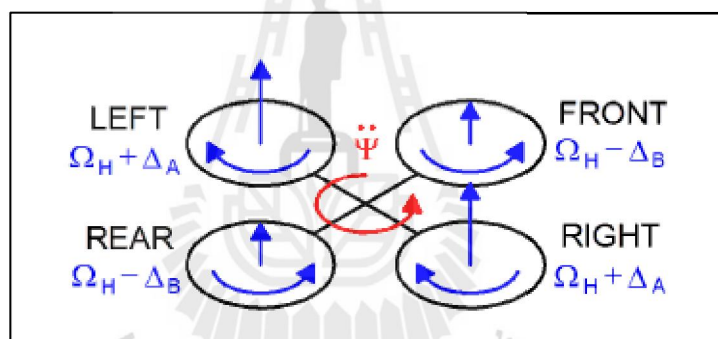
รูปที่ 2.14 แสดงการก้มของอากาศยานแบบสี่ใบพัด (Pitch)

เพื่อเข้าใจการเคลื่อนที่ของอากาศยานปีกหมุนได้ดีขึ้น ในขณะอากาศยานอยู่ในลักษณะก้มหน้าลง แรงยกที่ได้จากใบพัดนี้จะไม่อยู่ในแนวเดิมอีกต่อไป แต่จะอยู่ในแนวที่ทำมุนอี้งเล็กน้อยกับแนวเดิม ทำให้แรงจากใบพัดแตกออกได้สองแนวคือ แนวเดิม และในแนวระดับ

ซึ่งแรงในแนวนี้จะทำหน้าที่ขับเคลื่อนอากาศยานไปข้างหน้า ในขณะที่แรงในแนวดิ่งจะทำหน้าที่สมดุลกับน้ำหนัก เพื่อให้อากาศยานลอยตัวในระดับความสูงที่คงที่ จะเป็นการแสดงการเคลื่อนที่ของอากาศยานไปข้างหน้า จะเห็นว่าในขณะเคลื่อนที่ไปข้างหน้านั้น อากาศยานจะอยู่ในลักษณะก้มลง คือใบพัดหลังจะสูงกว่าใบพัดหน้าเล็กน้อย ซึ่งจะทำให้แรงที่ได้จากใบพัดสร้างทึ้งแรงยกเพื่อให้อากาศยานลอยตัวอยู่ได้และแรงผลัก เพื่อให้อากาศยานเคลื่อนที่ไปข้างหน้าพร้อมๆ กัน

2.3.5 การหมุนตัว (Yaw)

เป็นการกำหนดให้อากาศยานหมุนตัวรอบแกน Z ของอากาศยาน ซึ่งสามารถทำโดยการกำหนดให้ความเร็วในพัดหน้าเท่ากับในพัดหลังและมีความเร็วต่ำกว่าในพัดซ้ายและใบพัดขวา เพื่อให้แรงบิดทางด้านซ้ายหรือขวามากกว่าด้านหน้าหรือด้านหลัง จึงทำให้เครื่องบินหมุนตัวรอบแกน Z ด้วยความเร็วเชิงมุมเท่ากับ $\dot{\Psi}$ ตามที่แสดงในรูปที่ 2.15 การควบคุมนี้จะทำให้อากาศยานหมุนตัวกลับหน้าหลังได้

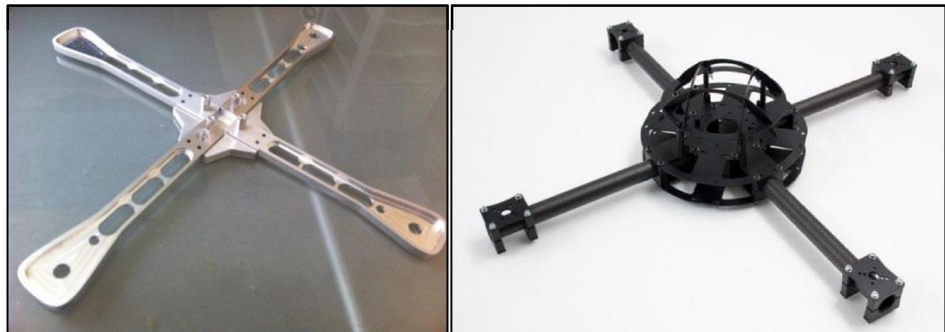


รูปที่ 2.15 แสดงการหมุนตัวทางซ้ายของอากาศยานแบบสี่ใบพัด (Yaw)

2.4 ส่วนประกอบของอากาศยานแบบสี่ใบพัด

2.4.1 ตัวลำ (Frame)

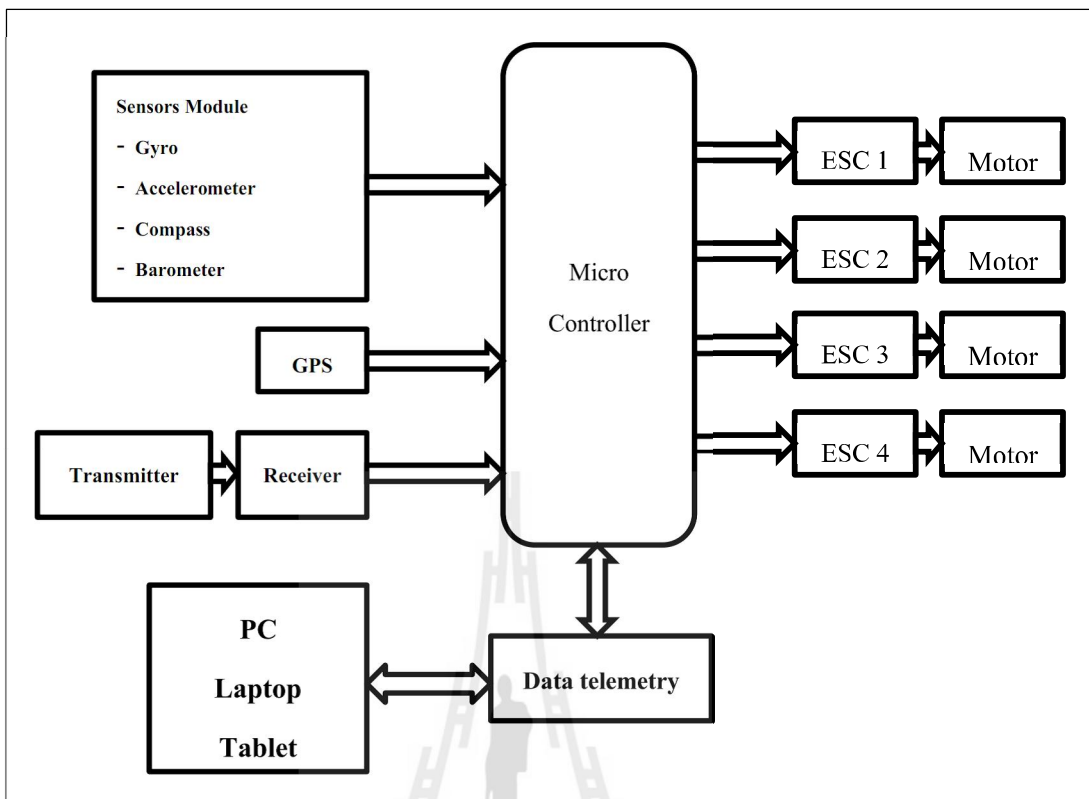
ตัวลำของอากาศยานแบบสี่ใบพัดคือ โครงสร้างหลักของตัวอากาศยานที่มีหน้าที่รับน้ำหนักของอุปกรณ์ต่าง ๆ สามารถออกแบบได้หลายรูปแบบแต่เน้นความแข็งแรง ด้วยเหตุนี้เอง ตัวลำของอากาศยานต้องทำด้วยวัสดุที่มีความแข็งแรง เพื่อให้สามารถทนต่อแรงยกและรับแรงบิดของมอเตอร์ได้โดยไม่มีการบิดตัว และสามารถรับแรงสั่นสะเทือนจากมอเตอร์ได้ นอกจากตัวลำจะมีความแข็งแรงแล้ว วัสดุที่เลือกใช้จะต้องเป็นวัสดุที่มีน้ำหนักเบา เช่น อลูมิเนียม, คาร์บอนไฟเบอร์ หรือ แผ่น G10 ดังรูปที่ 2.16 เพื่อลดน้ำหนักของตัวอากาศยานและใช้พลังงานในการยกน้อยที่สุด



รูปที่ 2.16 แสดงตัวลักษณ์ของอากาศยานแบบสี่ใบพัด

2.4.2 ชุดควบคุมการบิน (Flight Controller)

ชุดควบคุมการบินถือว่าเป็นหัวใจหลักของอากาศยานสี่ใบพัด ทำหน้าที่ควบคุมเสถียรภาพในการบินทั้งหมด ได้แก่ ควบคุมระดับความเอียง (Attitude Control) ควบคุมความสูง (Altitude Control) ควบคุมตำแหน่ง (Position Control) ควบคุมทิศทาง (Heading Control) และนำทางการบิน (Navigation) นอกจากจะควบคุมการบินแล้ว ชุดควบคุมยังรับคำสั่งการบินจากนักบินผ่านทางวิทยุบังคับทางไกลอีกด้วย ชุดควบคุมการบินใช้ในโครค่อนโගเลอร์ขนาดเล็กเป็นส่วนประมวลผลการควบคุมทั้งหมด โดยจะรับสัญญาณจากเซ็นเซอร์หลายแบบเพื่อใช้ในการควบคุมการบินแบบต่าง ๆ ดังรูป 2.17



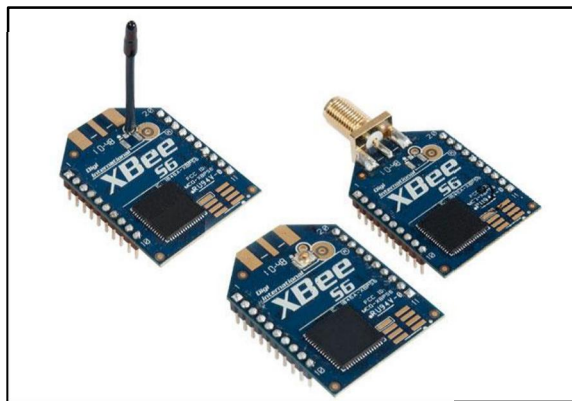
รูปที่ 2.17 แสดงระบบควบคุมของอากาศยานแบบสี่ใบพัด

2.4.3 ชุดรับ-ส่งสัญญาณ (Signal transmit – Receive system)

ชุดรับ-ส่งสัญญาณทำหน้าที่รับส่งสัญญาณควบคุมจากนักบินและทำหน้าที่ส่งข้อมูลการบินทั้งหมดกลับมายังฐานบนพื้นดิน (Ground Station)



รูปที่ 2.18 แสดงชุดรับ-ส่งสัญญาณควบคุมการบิน



รูปที่ 2.19 แสดงชุดรับ-ส่งข้อมูลการบิน

2.4.4 ส่วนสร้างแรงยก

เป็นส่วนสร้างแรงยกให้กับอากาศยานแบบส์ใบพัด ประกอบด้วย มอเตอร์ ซึ่งโดยทั่วไปจะเป็นแบบใช้ไฟฟ้ากระแสตรงชนิดไรร์แปรรูปถ่าน (Brushless DC Motor) ต้องใช้งานร่วมกันกับชุดควบคุมความเร็วรอบแบบอิเล็กทรอนิกส์ (Electronic Speed Controller, ESC) และใบพัดเป็นตัวสร้างแรงยก ใบพัดที่ใช้ส่วนมากจะเป็นแบบที่ให้กำลังขึ้นมากในรอบต่ำ และเป็นใบพัดแบบหมุนกลับทิศทางกันเพื่อสร้างความสมดุลแรงบิดของใบพัดทั้งหมด นอกจากนี้ส่วนสร้างแรงยกยังทำหน้าที่สร้างแรงในการควบคุมทิศทางต่าง ๆ ของอากาศยานอีกด้วย ส่วนรายละเอียดต่าง ๆ จะกล่าวในหัวข้อต่อไป

2.4.5 แบตเตอรี่ (Battery)

เป็นส่วนเก็บพลังงานสำรองสำหรับใช้ในการบิน แบตเตอรี่ที่ใช้เป็นชนิดที่มีน้ำหนักเบาและมีความสามารถจ่ายพลังงานสูงได้อย่างต่อเนื่อง (มีค่ากำลังวัตต์ต่อน้ำหนักสูง) ระยะเวลาในการบินจะขึ้นอยู่กับค่าความจุของแบตเตอรี่แบตเตอรี่ที่นิยมใช้กันในปัจจุบันนี้มีอยู่ด้วยกันหลายแบบ ในที่นี้จะกล่าวถึงเพียงสองแบบใหญ่ ๆ คือ

1. แบตเตอรี่แบบ NiMH (Nickel Metal Hydride)

สำหรับอากาศยานขนาดเล็กแบบ FPV นั้น บางรุ่นก็จะใช้แบตเตอรี่แบบ NiMH (Nickel Metal Hydride) แบตเตอรี่แบบนี้ใช้งานง่ายและการดูแลรักษาก็ไม่ยุ่งยากนัก ในปัจจุบัน แบตเตอรี่แบบนี้เป็นที่นิยมใช้กันมากกว่าแบตเตอรี่แบบ NiCd (Nickel Cadmium) แต่ที่ใช้กันมากเนื่องจากมีความจุมากกว่าถึง 2-3 เท่า นอกเหนือ NiCd ยังมีสารที่เป็นพิษต่อสิ่งแวดล้อมอีกด้วย ความจุของแบตเตอรี่นิยมบอกในรูปของค่าประจุที่แบตเตอรี่จ่ายได้ เช่น 1000 mAh จากสมการ ความสัมพันธ์ระหว่างกระแสไฟฟ้า (I) และประจุไฟฟ้า (Q)

$$Q = It \quad (2.1)$$

โดยที่ Q คือ ประจุไฟฟ้า มีหน่วยเป็น คูลอมบ์

I คือ กระแสไฟฟ้า มีหน่วยเป็น แอมป์

t คือ เวลา มีหน่วยเป็น วินาที

เมื่อ t เป็นเวลาจะพนว่าในเวลา 1 ชั่วโมง แบตเตอรี่จ่ายกระแสออกมาอย่างต่อเนื่อง ได้ 1000 mA หรือ 1 A ก็คือเป็นประจุไฟฟ้า $Q = 1 \times 60 \times 60 = 3600$ C พลังงานไฟฟ้าที่ได้เกิดจาก ปฏิกิริยาเคมีที่ขับ梧และขับลบซึ่งเป็นปฏิกิริยาระหว่างโลหะกับน้ำเกิดเป็น Metal Hydride และ ปฏิกิริยาระหว่างนิกเกิลไอกրอกใช้กับน้ำ โดยทั่วไปแล้วแบตเตอรี่แบบนี้หนึ่งเซลล์จะมี ความต่างศักย์ประมาณ 1.2 V ตามที่ระบุไว้ข้างเซลล์ เมื่อทำการชาร์จเต็มที่จะให้ความต่างศักย์เฉลี่ย ประมาณ 1.25 V เมื่อนำมาใช้กับอากาศยานบังคับจะต้องนำมาต่อเข้าด้วยกันแบบอนุกรมเพื่อเพิ่ม ความต่างศักย์เป็น $9-12$ V สำหรับอากาศยานบังคับขนาดเล็ก ถ้าอากาศยานมีขนาดใหญ่กว่านี้ แบตเตอรี่แบบ NiMH จะไม่สามารถจ่ายพลังงานได้เพียงพอ กับน้ำหนักแบตเตอรี่ที่เพิ่มขึ้นมา ตัวอย่างของแบตเตอรี่แบบนี้แสดงอยู่ในรูปที่ 2.20 ปัจจุบันนี้แม้แต่ในheldicop เพื่อปรับเปลี่ยน ลดลงราคาถูกกว่าแบตเตอรี่แบบ LiPo กันเป็นส่วนใหญ่เนื่องจากให้พลังงานสูงกว่าและมีน้ำหนักเบา ดังนั้น ในที่นี้เราจะเน้นไปที่แบตเตอรี่แบบ LiPo



รูปที่ 2.20 แสดงแบตเตอรี่แบบ NiMH ขนาดต่างๆ

2. แบตเตอรี่แบบ LiPo (Lithium Polymer)

เทคโนโลยีใหม่ที่ทำให้อากาศยานบังคับที่ใช้พลังงานไฟฟ้าได้รับความนิยมมากในปัจจุบันคือแบตเตอรี่แบบ LiPo (Lithium Polymer) แบตเตอรี่แบบนี้มีข้อได้เปรียวกว่าแบบ NiMH หลายอย่าง เช่น มีน้ำหนักเบา ให้พลังงานสูง ความจุสูงและประสิทธิภาพสูงกว่ามาก นอกจากนี้ แบตเตอรี่แบบ LiPo ยังมีอัตราการคายประจุสูงมาก ทำให้มอเตอร์ได้รับพลังงานเพียงพอ กับกำลังที่ต้องการ ส่วนข้อเสียของแบตเตอรี่แบบนี้ก็คือ มีราคาสูงถ้าคุณแลรักษาไม่ดี แบตเตอรี่แบบนี้จะชาร์จได้เพียง 300-400 ครั้งเท่านั้น สารประกอบที่อยู่ภายในแบตเตอรี่แบบ LiPo ติดไฟง่ายจึงอาจเกิดการระเบิดได้ถ้าไม่ชาร์จหรือจัดเก็บอย่างถูกวิธี รวมทั้งถ้าติดตั้งไว้ในตำแหน่งที่ไม่ปลอดภัย จะทำให้เกิดการระเบิดได้เมื่อเกิดการกระแทก ดังนั้นการใช้แบตเตอรี่แบบนี้จึงต้องมีข้อควรระวังที่ต้องปฏิบัติตามอย่างเคร่งครัด

แบตเตอรี่ LiPo คือ แบตเตอรี่ LiPo Hybrid โดยทั่วไปเซลล์ของแบตเตอรี่แบบนี้จะห่อหุ้มด้วยแผ่นฟอยล์ แต่ละเซลล์จะให้ความต่างศักย์ 3.7 V ใน การใช้งานกับอากาศยานขนาดเล็กไปจนถึงขนาดกลาง จำนวนเซลล์ที่มาต่ออนุกรมกันจะมีประมาณ 1-4 เซลล์ โดยจะระบุไว้ว่าที่ข้างแบตเตอรี่ว่า 1S 2S 3S หรือ 4S ซึ่งบอกว่ามีกี่เซลล์ต่อ กันแบบอนุกรม (S-series) บางแบบก็จะมีการต่อเซลล์แบบขนานด้วยเพื่อเพิ่มปริมาณกระแส (หรือเพิ่มความจุ) ที่จ่ายออกมานั่นเอง กรณีนี้ก็จะระบุ ตัว P (Parallel) เพิ่มขึ้นมา เช่น 3S2P ก็หมายความว่ามีเซลล์สองชุดต่อขนาด กันโดยที่แต่ละชุดมี สามเซลล์ต่อ อนุกรม กันอยู่ที่ 3.7V คูณกันโดยรวมแล้วจะให้ความต่างศักย์ $3.7 \times 3 = 11.1V$ และมีความจุเท่ากับความจุของแต่ละชุดรวมกัน รูปที่ 2.21 แสดงตัวอย่างของแบตเตอรี่แบบ LiPo ขนาดต่าง ๆ



รูปที่ 2.21 แสดงแบตเตอรี่แบบ LiPo ขนาดต่าง ๆ

เรื่องความจุและอัตราการคายประจุของแบตเตอรี่ LiPo เช่นเดียวกับแบตเตอรี่ NiMH ความจุของแบตเตอรี่แบบนี้จะระบุด้วยค่า mAh ซึ่งย่อมาจาก milli-ampere hours หมายถึง ความจุต่อชั่วโมงที่สามารถจ่ายได้จนแบตเตอรี่หมด และมีความหมายเช่นเดียวกันกับปริมาณที่สำคัญอีกอย่างคืออัตราการคายประจุหรือบางครั้งเรียกว่าค่า C-rating (C: capacity) ค่านี้จะปรากฏอยู่บนแบตเตอรี่แต่ละก้อน ตัวอย่างเช่น แบตเตอรี่ก้อนหนึ่งจะระบุว่า 3S 11.1 V 25 C 2000 mAh หมายความว่า แบตเตอรี่ก้อนนี้ประกอบด้วย 3 เซลล์ต่ออนุกรมกัน มีความต่างศักย์รวม 11.1 V และ คายประจุได้สูงสุดถึง 25 เท่าของค่าความจุที่กำหนด นั่นคือ $25 \times 2000 \text{ mAh} = 50\text{A}$ ในเวลาหนึ่งชั่วโมง เราสามารถคำนวณเวลาที่แบตเตอรี่สามารถจ่ายกระแสได้โดยนำค่าความจุมาหาร 60 นาที ในหนึ่งชั่วโมง จะได้ $2000 / 60 = 33.3 \text{ mAh/min}$ จากนั้นคูณด้วย C-rating ได้ $33.3 \text{ mAh/min} \times 25 \text{ C}$ เป็นเวลา $2000 / 833 = 2.4 \text{ นาที}$ นั่นคือถ้าดึงกระแสออกมากด้วยอัตราสูงสุด 25 C จะใช้งานแบตเตอรี่นี้ได้เพียง 2.4 นาทีเท่านั้น แต่โดยทั่วไปแล้ว ในการบินปกติที่ไม่ใช่การบินผาดโผนแบบหนัก ๆ จะไม่ได้ดึงกระแสจากแบตเตอรี่ด้วยอัตราสูงสุดทำให้เวลาในการบินยาวกว่าที่คำนวณไว้ข้างต้น การคำนวณนี้โดยทั่วไปสามารถคิดได้ว่า เวลาที่แบตเตอรี่จะคายประจุหมดด้วยอัตราสูงสุดนั้นมีค่าเท่ากับ $60/\text{C-rating}$ นาที ในกรณีนี้คือ $60 / 25 = 2.4$ นาที เป็นต้น

ในการเลือกแบตเตอรี่มาใช้งานนั้นควรเลือกชื่อแบตเตอรี่ที่มีค่า C สูง ๆ การใช้แบตเตอรี่ที่มีค่า C ต่ำเกินไปจะทำให้มอเตอร์และตัวควบคุมความเร็วอบบนแบบอิเล็กทรอนิกส์ (Electronic Speed Controller: ESC) เสียหายได้ บางครั้งค่า C-rating ที่กำหนดมาให้จะระบุทั้งค่าต่อเนื่องและค่าการระเบิดพลังงานออกมามากในช่วงเวลาสั้นๆ (burst) เช่น 20C Continuous/40C Bursts หมายความว่าในการใช้งานปกติสามารถจ่ายกระแสได้ต่อเนื่องที่อัตราสูงสุด 20 C แต่ถ้าในการบินที่รุนแรงซึ่งมอเตอร์ต้องการกำลังมากในเวลาอันสั้น แบตเตอรี่นี้จะจ่ายกระแสได้เต็มที่ 40 เท่าของค่าความจุในเวลาอันรวดเร็ว (โดยปกติจะอยู่ที่ 10 วินาที) นอกจากเรื่องของปริมาณและอัตราการจ่ายกระแสแล้ว การใช้แบตเตอรี่ที่มีค่า C ต่ำเกินไปจะทำให้แบตเตอรี่ร้อนมากการเปลี่ยนไปใช้แบตเตอรี่ที่มีค่า C สูงขึ้นจะทำให้แบตเตอรี่เย็นกว่าในขณะใช้งานทำให้อายุการใช้งานของแบตเตอรี่ยาวนานขึ้น

มีข้อควรรู้อีกข้อคือในการคายประจุของแบตเตอรี่ LiPo นั้นจะต้องไม่ใช้งานแบตเตอรี่จนเหลือความต่างศักย์ในแต่ละเซลล์ไม่ถึง 3 V เนื่องจากจะทำให้แบตเตอรี่ร้อนมากและมีอายุการใช้งานไม่นาน คำแนะนำโดยทั่วไปในการยืดอายุการใช้งานแบตเตอรี่ LiPo คือไม่ควรใช้งานเกิน 80% ของค่าความจุของแบตเตอรี่ เช่นแบตเตอรี่ที่มีความจุ 2500 mAh ไม่ควรลูกลงไปในชั่วโมงที่ใช้อีกด้วย หลังจากชาร์จเต็มที่แล้ว แบตเตอรี่ LiPo จะมีความต่างศักย์ 4.2 V ต่อเซลล์

ถ้าแบตเตอรี่ต่อกับไฟฟ้าที่ชาร์จเข้าไปทันทีที่ความต่างศักย์ของเซลล์มีค่า 4.2 V ชาร์จที่ตัดกระแสไฟฟ้าที่ชาร์จเข้าไปทันทีที่ความต่างศักย์ของเซลล์มีค่า 4.2 V

สรุปหลักการใช้งานแบตเตอรี่ LiPo เพื่อความปลอดภัย ดังนี้

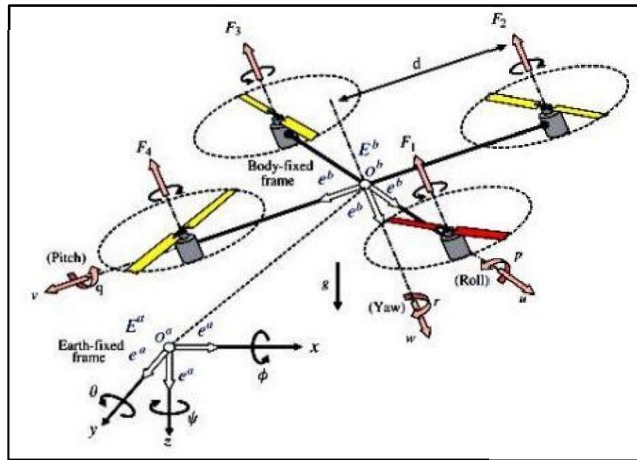
- ชาร์จแบตเตอรี่ในบริเวณที่ไม่ติดไฟหรือมีผนังกันไฟใหม่ได้
- หลังจากใช้งานแล้วควรรออย่างน้อย 15-30 นาทีเพื่อให้แบตเตอรี่เย็นลงก่อนที่จะนำไปชาร์จ
- อย่าชาร์จแบตเตอรี่ทึบไว้โดยไม่มีคนดูแล
- อย่าแกะหินห่อบรรจุแบตเตอร์รี่ออกจากกัน ถ้าชำรุดหรือมีรูร้าวให้นำไปวางไว้ห่างไกลจากผู้คนและทรัพย์สิน เพื่อคุ้มครอง เพราะอาจเกิดการระเบิดได้ จากนั้นให้นำไปกำจัดให้ถูกวิธีต่อไป
- หากอากาศยานตก ให้รับตรวจสอบความเสียหายของแบตเตอรี่แล้วลดดอกราไปไว้กลางแจ้งให้ห่างไกลจากผู้คน เพื่อป้องกันการระเบิดที่อาจจะเกิดขึ้นตามมา จากนั้นให้นำไปกำจัดให้ถูกวิธีต่อไป
- อย่าชาร์จแบตเตอรี่ด้วยเครื่องชาร์จที่ไม่ได้มารฐาน และอย่าชาร์จเกินเวลาที่กำหนด ในกรณีที่ใช้เครื่องชาร์จที่ไม่ตัดไฟหลังจากชาร์จเต็มแล้ว
- ประการสุดท้าย เมื่อแบตเตอรี่หมดอายุ ต้องทิ้งให้เป็นที่ อย่าทิ้งปนกับขยะอื่นๆ ถ้าจำเป็นต้องทิ้งให้ทำความสะอาดขั้นตอนการการทำลายแบตเตอรี่ LiPo ควรนำไปทิ้งในที่สำหรับทิ้งแบตเตอรี่โดยเฉพาะเท่านั้น

2.5 ชุดควบคุมการบิน

ชุดควบคุมการบินทำหน้าที่ควบคุมเสถียรภาพทางการบินของอากาศยานประกอบด้วยไมโครคอนโทรลเลอร์เป็นส่วนประมวลผลและควบคุมการบิน และเซ็นเซอร์ต่างๆ (Sensor) เป็นส่วนวัดสภาพการบิน ดังรูป 2.17 ซึ่งการควบคุมแบ่งออกเป็น

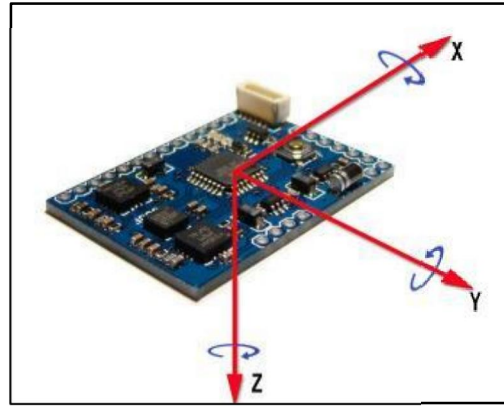
2.5.1 การควบคุมระดับมุมเอียง (Attitude Control)

การควบคุมความเอียงเป็นการควบคุมมุมเอียง (Orientation) ในแนวแกนต่างๆ (Angle Control) ได้แก่ Roll Pitch และ Yaw (หรือ X, Y, Z) ถือเป็นการควบคุมพื้นฐานที่ทำให้อากาศยานบินได้อย่างมีเสถียรภาพ ดังรูปที่ 2.22



รูปที่ 2.22 แรงต่างๆที่กระทำบนอากาศยานแบบสี่ใบพัด

เซนเซอร์พื้นฐานที่ใช้สำหรับการควบคุมมุมเอียงได้แก่ ไจโรสโคป (Gyroscope) ในการณ์ที่ต้องการควบคุมระดับ Roll กับ Pitch (Level Control) หรือแกน X กับ Y นั้นต้องใช้ ไจโรสโคป ร่วมกับเซนเซอร์วัดความเร่ง (Accelerometer) เพื่อชดเชยข้อด้อยของเซนเซอร์ทั้งสอง การประมาณค่ามุมทำได้โดยใช้เทคนิคทางคณิตศาสตร์ เช่น Kalman Filter Complementary Filter เป็นต้น หลังจากประมาณค่ามุมต่างๆได้แล้ว จึงควบคุมมุมต่างๆด้วยเทคนิคการควบคุม เช่น PID (Proportion Integral Derivative Control) การควบคุมแบบฟังซซ์ (Fuzzy Logic Control) เป็นต้น ส่วนการควบคุมทิศทางในแนวแกน Yaw หรือแกน Z ใช้ร่วมกับเซนเซอร์วัดสนามแม่เหล็กโลก (Magnetometer) ปัจจุบันได้มีการรวมเซนเซอร์ทั้งสามเข้าด้วยกัน เรียกว่า Inertial Measurement Unit หรือ IMU ดังรูปที่ 2.23 การต่อสัญญาณ IMU เข้ากับไมโครคอนโทรลเลอร์ทำได้สองแบบ ได้แก่ แบบอนาลอก (Analog) และแบบดิจิตอล (Digital) ซึ่งดิจิตอลจะใช้การเชื่อมต่อแบบ I²C หรือ SPI จะมีความสะดวกมากกว่าแบบอนาลอก ใช้สายสัญญาณน้อยกว่า นอกจากนี้ เซนเซอร์แบบ ดิจิตอลจะมีตัวแปลงอนาลอกเป็นดิจิตอลภายในซึ่งมีความละเอียดมากกว่าตัวแปลงในไมโครคอนโทรลเลอร์เอง



รูปที่ 2.23 แสดง Inertial Measurement Unit หรือ IMU

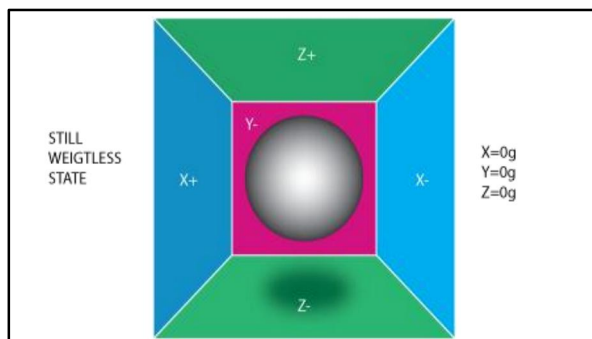
Inertial Measurement Unit (IMU) เช่นเซอร์ฟิเชียลเซนเซอร์ที่ใช้ใน INS (Inertial Navigation System) เป็นส่วนประกอบหลักที่ใช้ในเครื่องบิน, ยานอวกาศ และเรือ เช่นเดียวกับจรวดจีปนาวุช IMU ประกอบด้วย 2 ส่วนหลักคือ accelerometers 3 ทิศทาง และ gyroscopes 3 ทิศทาง ซึ่งรับความเร่งของพื้นโลกและความเร็วเชิงมุมตามลำดับ

- **Accelerometer**

เป็นอุปกรณ์ที่ใช้วัดความเร่งตามแนวแกนที่เฉพาะเจาะจง ตั้งขึ้นสังเกตได้ว่า accelerometers ใน IMU รับเพียง specific forces แนวคิดนี้เป็นสิ่งสำคัญใน inertial navigation หรือระบบนำทางอากาศยานเร่งเนื่อย

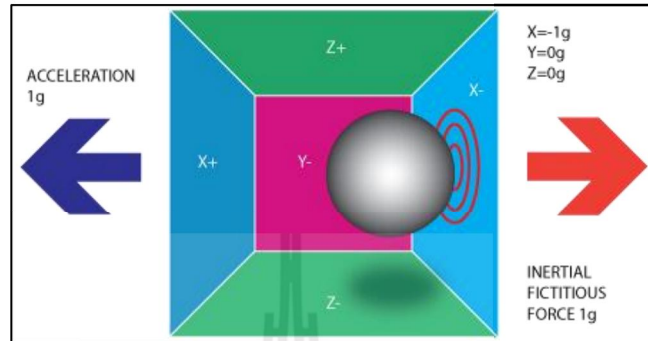
- **หลักการของเซอร์ฟิเชียลเซนเซอร์วัดความเร่ง (Accelerometer)**

ทำหน้าที่วัดความเร่งในการอธิบายทั้งสามแกน X, Y, Z ที่อ้างอิงกับแรงโน้มถ่วงของโลก สามารถอธิบายโดยมีลูกบล็อกในกรอบรูปแบบสามเหลี่ยม



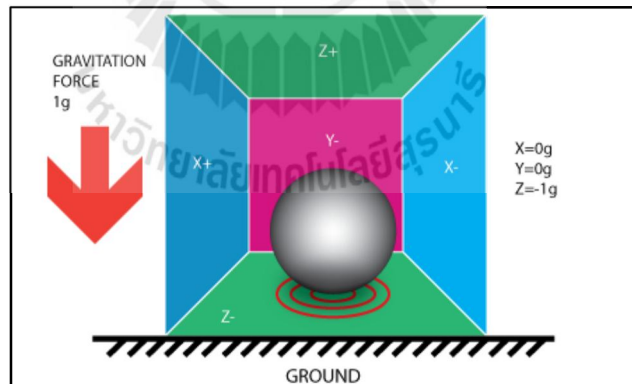
รูปที่ 2.24 แสดงเมื่อลูกบล็อกอยู่ในสภาพไร้แรงโน้มถ่วงของโลก

จากรูปที่ 2.24 ในสภาวะไร้แรงโน้มถ่วงของโลก ลูกบอลที่บรรจุภายในกล่องนั้น ลอยอยู่ระหว่างแกน X,Y,Z โดยไม่สัมผัสกับผิวของกล่อง ซึ่งเปรียบเสมือนค่าที่ส่งออกมาได้คือ $X,Y,Z = 0 \text{ g}$ (โดยที่ $g = 9.8 \text{ m/s}^2$)



รูปที่ 2.25 แสดงเมื่อกล่องเคลื่อนที่ไปทางด้าน X-

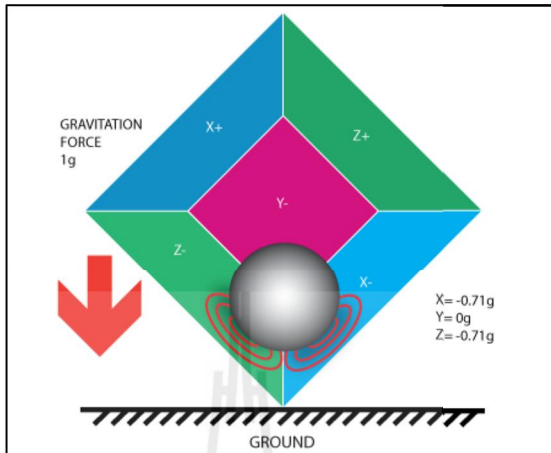
จากรูปที่ 2.25 สามารถแสดงให้เห็นว่า เมื่อลูกบอลนั้นสัมผัสกับผนังทางขวาซึ่ง แสดงผลเป็นค่าแกน -X ของ Accelerometer ซึ่งจะได้ค่า $X = -1 \text{ g}$, $Y = 0 \text{ g}$, $Z = 0 \text{ g}$



รูปที่ 2.26 แสดงเมื่อลูกบอลอยู่ในสภาวะมีแรงโน้มถ่วง

จากรูปที่ 2.26 สมมุติลูกบอลที่บรรจุในกล่องนั้นอยู่ในสภาวะมีแรงโน้มถ่วง ซึ่งจะ ทำให้ลูกบอลมีแรงกดลงที่แกน -Z ของกล่องเนื่องจากค่า g จะส่งผลทำให้ค่าของ $X = 0 \text{ g}$, $Y = 0 \text{ g}$, $Z = -1 \text{ g}$ ซึ่งจะเห็นได้ว่า ถ้าในสภาวะปกติของ Accelerometer จะมีผลต่อค่าแรงโน้มถ่วงของโลก

ตลอดเวลา โดยจากแบบจำลองข้างต้นลูกบอลได้กัดลงที่แกน $-Z$ จะทำให้ค่าของ $Z = 1\text{ g}$ เสมอตามแรงกดของแรงโน้มถ่วง โลกอยู่ต่ำลงในสภาพะปกติ



รูปที่ 2.27 แสดงเมื่อเอียงกล่อง 45 องศา

จากรูปที่ 2.27 เมื่อเราเอียงกล่องไป 45 องศา โดยยังคงให้อยู่ภายใต้สภาวะแรงโน้มถ่วงของโลกจะทำให้ลูกบอลกดที่ผนังของกล่องทั้งสองด้าน คือกัดลงที่แกน $-Z$ และ $-X$ โดยจะทำให้ค่าของ $X = -0.71\text{ g}$, $Y = 0\text{ g}$ และ $Z = -0.71\text{ g}$ ซึ่งเป็นผลจากการแตกแรงกดของค่าแรงโน้มถ่วงของโลกที่กระทำต่อแกน $-Z$ และ $-X$ ซึ่งทำมุมเป็น 45 องศา

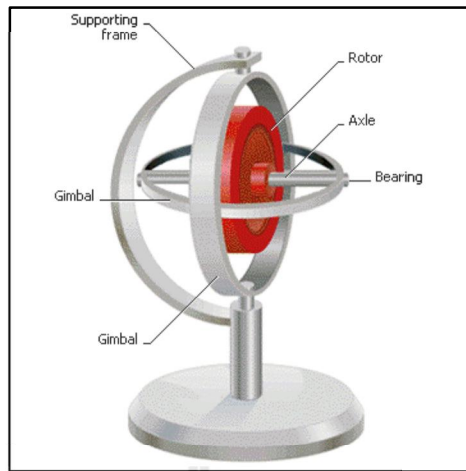
- **Gyroscope**

เป็นอุปกรณ์สำหรับการวัด หรือการรักษาการปรับทิศทาง ขึ้นอยู่กับหลักการของ การอนุรักษ์โมเมนตัมเชิงมุม

- **หลักการเชนเชอร์วัดความเร็วเชิงมุม (Gyroscope)**

ตามหลักการแล้วเป็นอุปกรณ์ที่อาศัยแรงเฉือนของ Rotor ที่หมุน เพื่อช่วยในการรักษาทิศทางของแกนหมุนให้อยู่ในตำแหน่งเดิมตลอดเวลาที่มีการหมุนดังรูปที่ 2.28 ซึ่งประกอบด้วย Rotor บรรจุใน Gimbal อีกที่หนึ่ง ทำให้อุปกรณ์สามารถหมุนได้ตามเชิงมุมของ Rotor ดังกล่าวจะทำการรักษาตำแหน่งไว้ แม้ว่า Gimbal จะเกิดการอุบัติเหตุ

จากคุณสมบัติดังกล่าว ทำให้สามารถนำหลักการนี้ไปประยุกต์ใช้เพื่อประโยชน์ต่าง ๆ เช่น เส้นทิศ (Compass) ใช้เป็นระบบนำร่องของเครื่องบิน หรือ อุปกรณ์ป้องกันการกลิ้งบนเรือขนาดใหญ่ รวมถึงระบบในยานอวกาศและสถานีอวกาศ



รูปที่ 2.28 แสดงเซนเซอร์วัดความเร็วเชิงมุม (Gyro)

- **Gyroscope มีบทบาทอย่างไรใน IMU**

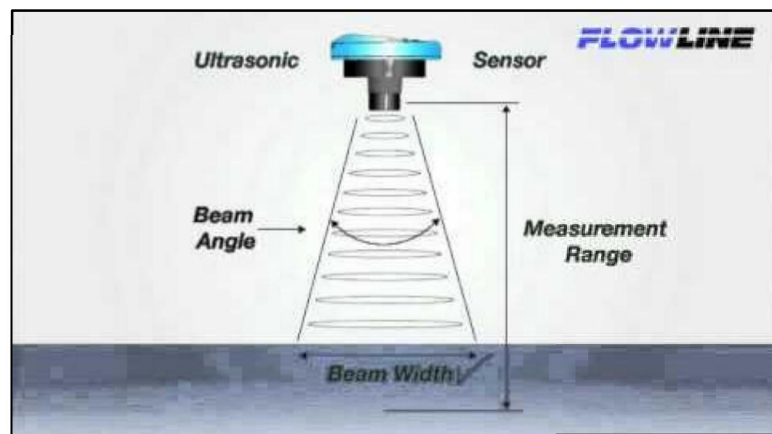
ในเมื่อ Accelerometer สามารถวัดความเร็วได้เรียบร้อย ไม่มีความจำเป็นจะต้องวัดความเร็วเชิงมุม เพราะว่า Output ของ Accelerometer มีผลกับแรงโน้มถ่วง นั่นหมายถึงค่า Output ของ Accelerometer ไม่มีทางหยุดนิ่งเลย แม้ปล่อยทิ้งไว้ ก็จะเคลื่อนที่ขึ้น-ลง สั่นไป-มา ต่างกับ Gyroscope ที่ปล่อยทิ้งไว้ค่า Output ที่ได้ก็จะนิ่ง ไม่เกิดการสั่น และถ้านำ Output ของ Gyroscope มาใช้กรัมวิธีการ Discrete Integral ก็จะสามารถหาได้

2.5.2 การควบคุมระดับความสูง (Altitude Control)

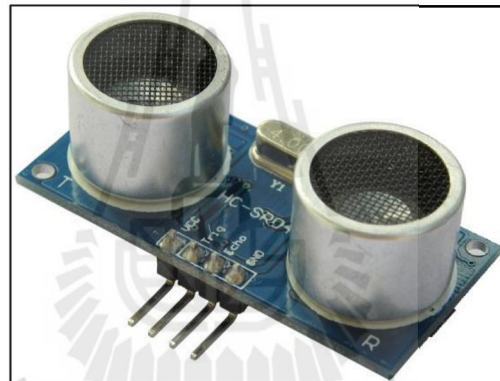
การควบคุมความสูงของอากาศยานแบบสี่ใบพัดทำได้โดยการควบคุมร่วมกับอุปกรณ์เซนเซอร์ที่ทำหน้าที่วัดความสูงโดยตรงหรือโดยทางอ้อม เช่น เซนเซอร์ชนิดอัลตร้าโซนิก (Ultrasonic) เซนเซอร์วัดความดันบรรยากาศ (Barometer) เซนเซอร์จับภาพเคลื่อนไหว (Optical Flow)

- **เซนเซอร์ชนิดอัลตร้าโซนิก (Ultrasonic)**

เป็นเซนเซอร์ที่ทำงานโดยอาศัยคลื่นเสียงที่มีความถี่สูงกว่า 20 kHz ซึ่งเป็นคลื่นในย่านที่มนุษย์ไม่สามารถได้ยินเสียง เซนเซอร์ชนิดอัลตร้าโซนิกทำงานโดยอาศัยการกระจายหรือการเคลื่อนที่ของคลื่นเสียงไปกระทบกับพื้นผิวของตัวกลาง ซึ่งอาจเป็นของแข็งหรือของเหลว บางส่วนของคลื่นเสียงจะแทรกผ่านเข้าไปในตัวกลางนั้นและส่วนใหญ่ของคลื่นความถี่สูงนี้จะสะท้อนกลับเรียกว่า "Echo" โดยช่วงเวลาของกระแสสะท้อนกลับของคลื่นเสียงเป็นสัดส่วนโดยตรงกับระยะห่างระหว่างวัตถุกับเซนเซอร์ ดังรูปที่ 2.29



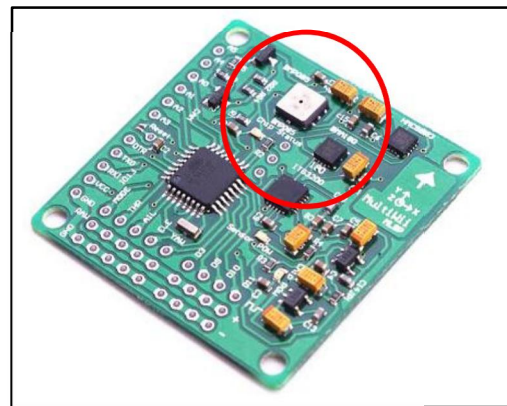
รูปที่ 2.29 แสดงหลักการทำงานของเซนเซอร์ชนิดอัลตราโซนิก



รูปที่ 2.30 แสดงเซนเซอร์ชนิดอัลตราโซนิกที่ใช้ในอาคารayanแบบลีบพัด

- **เซนเซอร์วัดความดันบรรยากาศ (Barometer)**

บารอมิเตอร์ (Barometer) คือ เครื่องมือตรวจวัดความดันบรรยากาศ สำหรับวัดค่าความกดดันที่เกิดจากแรงดันของอากาศ โดยใช้ของเหลวหรือวัสดุแข็งที่สัมผัสโดยตรงกับอากาศ แนวโน้มการเปลี่ยนแปลงความกดดัน สามารถนำไปทำนายการเปลี่ยนแปลงสภาพอากาศ ในช่วงเวลาสั้น ๆ การวัดความกดดันอากาศหลายจุด นำมาประมวลผลภายในการวิเคราะห์อากาศ พื้นผิว (Surface Weather Analysis) เพื่อช่วยค้นหาร่องความกดอากาศ (Surface Troughs), ระบบความกดอากาศสูง (High Pressure Systems) และเส้นความกดอากาศเท่า (Frontal Boundaries)



รูปที่ 2.31 แสดงนารอミニเตอร์บน MultiWiiCopter Controller

- **เซนเซอร์จับภาพเคลื่อนไหว (Optical Flow)**

เซนเซอร์จับภาพเคลื่อนไหว (Optical Flow) มีความสามารถในการวัดการไหลของแสงหรือการเคลื่อนไหวของภาพและแสดงผลการวัดขึ้นอยู่กับการไหลของแสง เซนเซอร์จับภาพเคลื่อนไหว (Optical Flow) ยังถูกใช้ในหุ่นยนต์ที่ใช้งานส่วนใหญ่ที่มีความต้องการที่จะวัดการเคลื่อนไหวของภาพเคลื่อนไหวหรือความสัมพันธ์ระหว่างหุ่นยนต์และวัตถุอื่น ๆ ในบริเวณใกล้เคียงของหุ่นยนต์ การใช้เซนเซอร์จับภาพเคลื่อนไหว (Optical Flow) ในอากาศยานไร้คนขับ (UAVs) นั้นมีเพื่อเพิ่มความมีเสถียรภาพและการหลบหลีกสิ่งกีดขวาง

2.5.3 การควบคุมตำแหน่ง (Position Control)

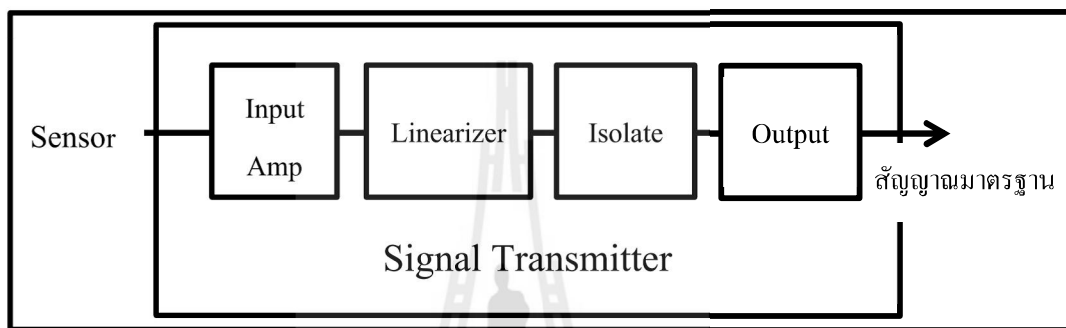
GPS คือ ระบบระบุตำแหน่งบนพื้นโลก ย่อมาจากคำว่า Global Positioning System ชื่อเต็มของระบบนี้คือ NAVSTAR Global Positioning System คำว่า NAVSTAR เป็นอักษรย่อมาจาก Navigation Satellite Timing and Ranging ภาคของคำว่าดาวเทียมสำหรับนำร่อง คือระบบที่ระบุตำแหน่งทุกแห่งบนโลก จากกลุ่มดาวเทียม 24 ดวง ที่โคจรอยู่รอบโลก ในระดับสูงที่พ้นจากคลื่นวิทยุรบกวนของโลกและวิธีการที่สามารถให้ความถูกต้องเพียงพอที่จะใช้ชั้นออกตำแหน่งได้ทุกแห่งบนโลกตลอดเวลา 24 ชั่วโมง จากการนำมาใช้งานจริงจะให้ความถูกต้องสูงโดยที่ความคลาดเคลื่อนมาตรฐานของตำแหน่งทางราบต่ำกว่า 50 เมตร และถ้าเป็นแบบวิธี "อนุพันธ์" (Differential) จะให้ความถูกต้องถึงระดับเซนติเมตรจากการพัฒนาทางด้านอุปกรณ์คอมพิวเตอร์ทำให้สามารถผลิตเครื่องรับ GPS ที่มีขนาดลดลงและมีราคาถูกลงกว่าเครื่องรับระบบ TRANSIT เดิม

2.6 ชุดรับ-ส่งสัญญาณ (Signal transmit – Receive system)

ชุดรับ-ส่งสัญญาณทำหน้าที่รับส่งสัญญาณควบคุณจากนักบินและทำหน้าที่ส่งข้อมูลการบินทั้งหมดกลับมาอย่างฐานบนพื้นดิน (Ground Station)

2.6.1 ชุดส่งสัญญาณ (Signal Transmitter) หรือวิทยุบังคับ

เป็นอุปกรณ์ที่ทำหน้าที่แปลงสัญญาณวัดเช่นเซอร์แบบต่าง ๆ มาเป็นสัญญาณส่วนประกอบต่างๆ ของ Signal Transmitter มีหน้าที่ดังนี้



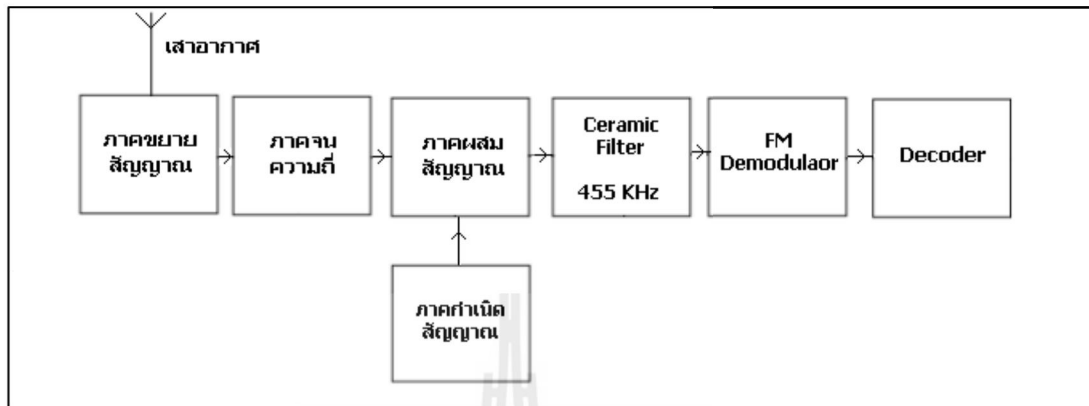
รูปที่ 2.32 แสดงส่วนต่างๆ ของ Signal Transmitter

- Input Amplifier เป็นส่วนที่ขยายสัญญาณจากเซนเซอร์ ซึ่งเป็นสัญญาณไฟฟ้าค่าต่ำให้มีระดับสัญญาณแรงขึ้น
- Linearizer เนื่องจากคุณสมบัติของเซนเซอร์แต่ละชนิดมีความไม่เชิงเส้น (Non-linear) กับค่าอัตรา Linearizer จึงมีหน้าที่แก้ไขความไม่เชิงเส้นของเซนเซอร์
- Isolate ทำหน้าที่แยกสัญญาณไฟฟ้าระหว่างด้าน Sensor Input และสัญญาณไฟฟ้าด้าน Output เข้า Isolate เพื่อป้องกันสัญญาณรบกวนจากเซนเซอร์ ไม่ให้ออกไปทาง Output ป้องกันสัญญาณรบกวนอันเนื่องมาจากการเกิด Ground Loop และป้องกันความเสียหายที่เกิดขึ้นกับอุปกรณ์ที่ต่อพ่วงทางด้าน Output ในกรณีที่เกิดความผิดปกติทางด้านเซนเซอร์
- Output มีหน้าที่แปลงสัญญาณจาก Isolate มาเป็นสัญญาณมาตรฐาน

2.6.2 ชุดรับสัญญาณ (Receive system)

ชุดรับสัญญาณหรือ Receiver มีอยู่หลายแบบ โดยมีการทำงานตั้งแต่่ายๆ ไม่ซับซ้อน จนถึงซับซ้อนมาก และแบบที่ซับซ้อนมากก็ต้องมีความสามารถในการรับสัญญาณได้ดีกว่าด้วย แต่ในหัวข้อนี้จะกล่าวถึงเครื่องรับวิทยุที่ใช้กันในเครื่องบินบังคับวิทยุ (R/C) จะเป็นแบบที่เรียกว่า Super Heterodyne

การทำงานของเครื่องรับวิทยุในเครื่องบินบังคับวิทยุ(R/C) แบบ Super Heterodyne มีการทำงานดังรูปที่ 2.33



รูปที่ 2.33 แสดง FM radio block diagram สำหรับเครื่องบินบังคับวิทยุ (R/C)

จากรูปที่ 2.33 เครื่องรับวิทยุระบบ FM ที่ใช้ในเครื่องบินบังคับวิทยุ (R/C) ทั่วไปจะรับสัญญาณวิทยุที่ผ่านเข้ามาทางสายอากาศ สัญญาณวิทยุนี้มีกำลังอ่อนมากต้องทำการขยายให้มีกำลังสูงขึ้นด้วยภาคขยายสัญญาณ ซึ่งจะทำการขยายสัญญาณทุกความถี่ ดังนั้นหากต้องการเฉพาะย่านความถี่ที่ต้องการ ซึ่งทำได้โดยการใช้ภาคจูนความถี่ (Tuner) วงจรจูนความถี่จะสามารถเลือกความถี่เข้ามาได้ถูกต้องระดับหนึ่ง เช่น ความถี่อยู่ที่ 72 MHz ทั้งหมด แต่ไม่สามารถที่จะเลือกเอาเฉพาะความถี่เพียงหนึ่งช่องในย่าน 72 MHz ได้ ดังนั้นถ้ามีเครื่องรับวิทยุสำหรับความถี่ 40 MHz และจะนำไปใช้กับความถี่ 72 MHz จึงไม่สามารถทำได้ เพราะภาคจูนความถี่จะทำงานอยู่คนละช่วงความถี่กัน แต่สำหรับเครื่องรับวิทยุย่านความถี่ 72 MHz ซึ่งยังมีการแบ่งเป็นแบบ Lo-Band กับ Hi-Band เราอาจจะนำเอาแรร์ของย่านความถี่ Hi-Band ไปใช้กับ Lo-Band ได้แต่ไม่ควรทำ เพราะภาคจูนความถี่จะทำงานคนละช่วงความถี่กัน จะทำให้มีสัญญาณอื่นแทรกเข้ามา ถ้าคลื่นแทรกนี้ไม่แรงมากก็จะไม่มีปัญหาอะไร แต่ถ้าแรงมากเราจะรู้สึกว่าความคุณเครื่องบินไม่ได้

เพื่อที่จะเลือกເเอกสารความถี่เพียงหนึ่งช่องเท่านั้น เราต้องเพิ่มภาคกำเนิดสัญญาณและภาคผสานสัญญาณเข้ามา โดยเราจะใช้ภาคกำเนิดสัญญาณโดยใช้เรซิสทรัล (Resistor) ทำการกำเนิดความถี่ที่มีความถี่ 455 kHz แตกต่างจากความถี่ของช่องที่ต้องการ เช่น ถ้าเราต้องการรับความถี่ช่องที่ 48 ซึ่งตรงกับความถี่ 72.750 MHz เราจะต้องสร้างสัญญาณความถี่ 72.295 MHz เป็นต้น เมื่อเราได้ความถี่ที่ผลิตได้มาผสานกับความถี่ที่รับเข้ามา ความถี่ทั้งสองจะถูกหักล้างกันเองเหลือแต่ความถี่ 455 kHz แต่เนื่องจากอาจมีความถี่อื่น ๆ ปนอยู่ในความถี่ 455 kHz นี้ เราจะนำสัญญาณที่ได้มาผ่าน

อุปกรณ์ที่เรียกว่า Ceramic Filter 455 kHz ซึ่งทำให้สัญญาณมีความบริสุทธิ์มากยิ่งขึ้น สัญญาณที่ได้ยังเป็นสัญญาณวิทยุระบบ FM อยู่ เราจะต้องนำสัญญาณวิทยุนี้ไปแปลงเป็นสัญญาณเสียงด้วยวงจร Demodulator แล้วนำไปถอดรหัสด้วยวงจร Decoder ก่อนนำไปใช้ควบคุมเซอร์โวต่อไป การทำงานทั้งหมดที่กล่าวมาเป็นการทำงานของเครื่องรับวิทยุแบบ Single Conversion

ส่วนเครื่องรับวิทยุแบบ Dual Conversion จะใช้ภาคกำเนิดสัญญาณและภาคผสานสัญญาณสองชุด โดยในชุดแรกจะทำการกำเนิดสัญญาณโดยใช้แร่ Crystal กำเนิดความถี่ที่มีความถี่แตกต่างจากความถี่ของช่องที่เราต้องการอยู่ 10.7 MHz พอนำสัญญาณมาผสมกันก็จะเหลือความถี่ 10.7 MHz จากนั้นนำสัญญาณนี้มาผ่าน Ceramic Filter 10.7 MHz เพื่อกรองสัญญาณอื่นๆ ที่ไม่ต้องการออกไป จากนั้นจะนำความถี่ที่ได้มาผสมกับความถี่ 10.245 MHz ซึ่งสร้างมาจากการกำเนิดความถี่อีกชุด สัญญาณที่ออกจากร่วมผสมความถี่ชุดที่สองจะเหลือแต่ความถี่ 455 kHz จากนั้นก็นำมาผ่าน Ceramic Filter 455 kHz ซึ่งทำให้สัญญาณมีความบริสุทธิ์มากยิ่งขึ้น สัญญาณที่ได้ยังเป็นสัญญาณวิทยุระบบ FM อยู่ จะต้องนำสัญญาณวิทยุนี้ไปแปลงเป็นสัญญาณเสียงด้วยวงจร Demodulator แล้วนำไปถอดรหัสด้วยวงจร Decoder ก่อนนำไปใช้ควบคุมเซอร์โวต่อไป จะเห็นว่าเครื่องรับวิทยุแบบ Dual Conversion จะสามารถกรองสัญญาณรบกวนออกไปได้มากกว่า เพราะต้องผ่านการกรองความถี่ถึงสองชั้น จึงทำให้มีการรบกวนต่ำกว่า จะเห็นว่าแร่ Crystal สำหรับเครื่องรับแบบ Single Conversion กับ Dual Conversion จะกำเนิดความถี่ที่แตกต่างกันให้ภาคผสานสัญญาณ แม้ว่าเครื่องรับวิทยุจะทำงานที่ช่องเดียวกัน ดังนั้นเราจึงไม่สามารถนำเอาแร่ Crystal ของเครื่องรับแบบ Single Conversion ไปใช้กับแบบ Dual Conversion ได้

2.7 ส่วนสร้างแรงยก

เป็นส่วนสร้างแรงยกให้กับอากาศยานแบบสี่ใบพัด ประกอบด้วย มอเตอร์ (Brushless DC Motor) ชุดควบคุมความเร็วรอบแบบอิเล็กทรอนิกส์ (Electronic Speed Controller) และใบพัดเป็นตัวสร้างแรงยก

2.7.1 มอเตอร์ (Motor)

มอเตอร์ไฟฟ้า หมายถึงเครื่องกลไฟฟ้านิดหนึ่ง ใช้สำหรับเปลี่ยนพลังงานไฟฟ้า เป็นพลังงานกล เพื่อไปขับเคลื่อนอุปกรณ์ต่าง ๆ เช่น พัดลม ปั๊ม เครื่องปรับอากาศหรือใช้ในโรงงานเพื่อควบคุมเครื่องจักรกลต่าง ๆ ในโรงงาน สามารถแบ่งตามการใช้กระแสไฟฟ้าได้ 2 ชนิด คือ

1. มอเตอร์ไฟฟ้ากระแสตรง (Direct Current Motor: DC)
2. มอเตอร์ไฟฟ้ากระแสสลับ (Alternating Current Motor: AC)

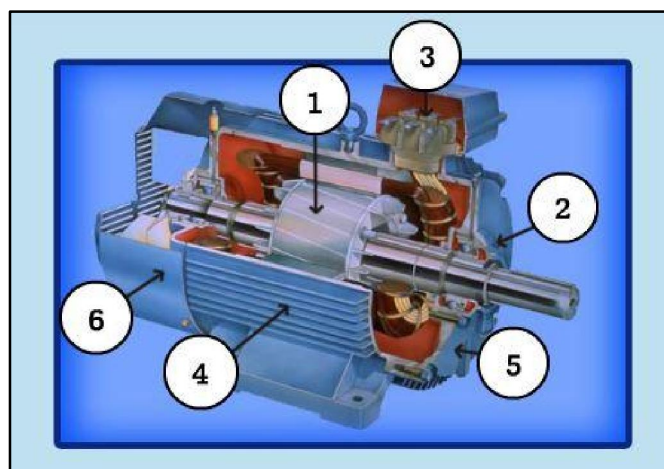
● มอเตอร์ไฟฟ้ากระแสตรง (Direct Current Motor: DC)

หลักการทำงานของมอเตอร์ไฟฟ้ากระแสตรง

มอเตอร์ไฟฟ้ากระแสตรงประกอบด้วย แม่เหล็กถาวร 2 ชิ้ววางอยู่ระหว่างขดลวดตัวนำ ขดลวดตัวนำจะได้รับแรงดันไฟฟ้าป้อนให้ในการทำงาน ทำให้เกิดอำนาจการแม่เหล็ก 2 ชุด มีขั้วแม่เหล็กเหมือนกันว่างไกลกัน เกิดแรงผลักดันทำให้ขดลวดตัวนำหมุนเคลื่อนที่ ได้การทำงานเบื้องต้นของมอเตอร์ไฟฟ้ากระแสตรง มีแรงดันไฟฟ้าจ่ายผ่านแปรงถ่าน (Brushes) ไปคอมมิวเตเตอร์ (Commutator) ผ่านไปให้ขดลวดตัวนำที่อาร์เมจเจอร์ (Armature) ทำให้ขดลวดอาร์เมจเจอร์เกิดสนามแม่เหล็กไฟฟ้าขึ้นมา ทางด้านซ้ายมือเป็นขั้วเหนือ (N) และด้านขวาเป็นขั้วใต้ (S) เมื่อมีน้ำหนักกดลงบนขดลวดตัวนำที่ว่างอยู่ใกล้ๆ กัน ทำให้เกิดแรงผลักดันกัน อาร์เมจเจอร์หมุนไปในทิศทางตามเข็มนาฬิกา พร้อมกับคอมมิวเตเตอร์หมุนตามไปด้วย แปรงถ่านสัมผัสถูกกัดส่วนของคอมมิวเตเตอร์ เปลี่ยนไปในอีกปลายหนึ่งของขดลวด แต่มีผลทำให้เกิดขั้วแม่เหล็กที่อาร์เมจเจอร์ เมื่อมีน้ำหนักกดลงบนขดลวดตัวนำที่ว่างอยู่ใกล้ๆ กัน ทำให้อาร์เมจเจอร์ยังคงถูกผลักให้หมุนไปในทิศทางตามเข็มนาฬิกา ตลอดเวลาเกิดการหมุนของอาร์เมจเจอร์ คือมอเตอร์ไฟฟ้าทำงาน

ส่วนประกอบของมอเตอร์ไฟฟ้ากระแสตรง

มอเตอร์ไฟฟ้ากระแสตรงมีโครงสร้างและส่วนประกอบคล้ายกับเครื่องกำเนิดไฟฟ้ากระแสตรง มีส่วนประกอบที่สำคัญเหมือนกัน มีรูปร่างลักษณะภายนอกคล้ายกัน แตกต่างกันตรงการนำไปใช้งาน โดยเครื่องกำเนิดไฟฟ้ากระแสตรงจะทำให้เกิดไฟฟ้าในรูปของแรงดันไฟฟ้าออกมา ส่วนมอเตอร์ไฟฟ้ากระแสตรง เมื่อจ่ายแรงดันไฟฟ้าให้มอเตอร์ ทำให้มอเตอร์หมุนเกิดพลังงานกลขึ้นมา ส่วนประกอบของมอเตอร์ไฟฟ้ากระแสตรงแสดงดังรูปที่ 2.35



รูปที่ 2.36 แสดงส่วนประกอบของมอเตอร์

1. ชุด漉ดสนามแม่เหล็ก (Field Coil) คือ ชุด漉ดที่ถูกพันอยู่กับขั้วแม่เหล็กที่ยึดติดกับโครงนอเตอร์ ทำหน้าที่กำหนดขั้วแม่เหล็กขั้วเหนือ (N) และขั้นใต้ (S) แทนแม่เหล็กถาวร ชุด漉ดที่ใช้เป็นชุด漉ดตามน้ำยาฉนวน สนามแม่เหล็กจะเกิดขึ้นเมื่อจ่ายแรงดันไฟฟ้าลงให้มอเตอร์

2. ขั้วแม่เหล็ก (Pole Pieces) คือแกนสำหรับรองรับชุด漉ดสนามแม่เหล็กถูกยึดติดกับโครงนอเตอร์ด้านใน ขั้วแม่เหล็กทำมาจากแผ่นเหล็กบางๆ อัดซ้อนกัน (Lamination Sheet Steel) เพื่อลดการเกิดกระแสไฟฟ้า (Edy Current) ที่จะทำให้ความเข้มของสนามแม่เหล็กลดลง ขั้วแม่เหล็กทำหน้าที่ให้กำหนดขั้วสนามแม่เหล็กมีความเข้มสูงสุด แทนขั้วสนามแม่เหล็กถาวร ผิวด้านหน้าของขั้วแม่เหล็กทำให้โคงรับกับอาร์เมเจอร์พอดี

3. โครงนอเตอร์ (Motor Frame) คือส่วนเปลือกหุ้มภายนอกของมอเตอร์ และยึดส่วนอยู่กับที่ (Stator) ของมอเตอร์ไว้ภายในร่วมกับฝาปิดหัวท้ายของมอเตอร์ โครงนอเตอร์ทำหน้าที่เป็นทางเดินของเส้นแรงแม่เหล็กระหว่างขั้วแม่เหล็กให้เกิดสนามแม่เหล็กควบรวมจะ

4. อาร์เมเจอร์ (Armature) คือส่วนที่เคลื่อนที่ (Rotor) ถูกยึดติดกับเพลา (Shaft) และรองรับการหมุนด้วยที่รองรับการหมุน (Bearing) ตัวอาร์เมเจอร์ทำจากเหล็กแผ่นบางๆ อัดซ้อนกัน ถูกเช่าร่องออกเป็นล้วนๆ เพื่อไว้พันชุด漉ดอาร์เมเจอร์ (Armature Winding) ชุด漉ดอาร์เมเจอร์เป็นชุด漉ดตามน้ำยาฉนวน ร่องชุด漉دار์เมเจอร์จะมีชุด漉ดพันอยู่และมีลิ่มไฟเบอร์อัดแน่นชึงชุด漉دار์เมเจอร์ไว้ ปลายชุด漉دار์เมเจอร์ต่อไว้กับคอมมิวเตเตอร์ อาร์เมเจอร์ผลักดันของสนามแม่เหล็กทั้งสอง ทำให้อาร์เมเจอร์หมุนเคลื่อนที่

5. คอมมิวเตเตอร์ (Commutator) คือส่วนเคลื่อนที่อีกส่วนหนึ่ง ถูกยึดติดเข้ากับอาร์เมเจอร์และเพลาร่วมกัน คอมมิวเตเตอร์ทำจากแท่งทองแดงแข็งประกอนเข้าด้วยกันเป็นรูปทรงกระบอก แต่ละแท่งทองแดงของคอมมิวเตเตอร์ถูกแยกออกจากกันด้วยฉนวนไม้ก้า (Mica) อาร์เมเจอร์ คอมมิวเตเตอร์ทำหน้าที่เป็นขั้วรับแรงดันไฟฟ้าที่จ่ายมาจากแบตเตอรี่ อาร์เมเจอร์ คอมมิวเตเตอร์ทำหน้าที่เป็นขั้วรับแรงดันไฟฟ้าที่จ่ายมาจากแบตเตอรี่ เพื่อส่งไปให้ชุด漉ดอาร์เมเจอร์

6. แปรงถ่าน (Brush) คือตัวสัมผัสกับคอมมิวเตเตอร์ ทำเป็นแท่งสี่เหลี่ยมผลิตมาจากคาร์บอนหรือแกรไฟต์ผสมผองทองแดง เพื่อให้แข็งและนำไฟฟ้าได้ดี มีสายตัวนำต่อร่วมกับแปรงถ่านเพื่อไปรับแรงดันไฟฟ้าที่จ่ายเข้ามา แปรงถ่านทำหน้าที่รับแรงดันไฟฟ้าจากแหล่งจ่าย จ่ายผ่านไปให้คอมมิวเตเตอร์

การควบคุมมอเตอร์ โดยทั่วไปการควบคุมมอเตอร์จะควบคุม 3 ส่วน คือ

1. ควบคุมความเร็วของมอเตอร์ (Speed Control)
2. ควบคุมแรงบิดของมอเตอร์ (Torque Control)
3. ควบคุมทิศทางการหมุนของมอเตอร์ (Direction Control)

การควบคุมความเร็วของมอเตอร์กระแสตรงนี้ จะทำได้โดยการปรับแรงดันที่จ่ายให้มอเตอร์ ส่วนการควบคุมแรงบิด ทำโดยการควบคุมกระแสที่ผ่านขดลวดอาเมเจอร์ และที่จ่ายให้กับขดลวดสเตเตเตอร์ ในกรณีสเตเตเตอร์แบบใช้ขดลวดพัน สำหรับการควบคุมการหมุน หรือ การสลับทิศทางการหมุนนี้ ในกรณีมอเตอร์ไฟฟ้ากระแสตรง สามารถทำได้โดยการสลับขั้ว แหล่งจ่ายไฟ ที่จ่ายให้แก่มอเตอร์ สำหรับกรณีของ มอเตอร์ไฟฟ้ากระแสตรงขนาดเล็ก แบบใช้แม่เหล็กถาวรเป็นสเตเตเตอร์ จะไม่สามารถควบคุมได้มากนัก โดยการควบคุมความเร็วของมอเตอร์ จะถูกจำกัดด้วยขนาดแรงดัน โดยสามารถปรับได้ไม่เกินค่าแรงดันสูงสุดที่จ่ายให้มอเตอร์ ส่วนการควบคุมแรงบิด อาจทำโดยใช้ตัวต้านทานปรับค่าแบบขดลวด (Wire Wound Resistor) แต่ก็จะเกิดกำลังไฟฟ้าสูญเสียที่ตัวต้านทาน ขณะนี้ในปัจจุบัน จึงมักนิยมใช้การควบคุม ด้วยวงจร พลัซซิมอลูเคเตอร์ (Pulse Width Modulator) ซึ่งจะใช้วิธีจ่ายไฟให้แก่มอเตอร์เป็นช่วง ๆ โดยการควบคุมแรงดัน คือการปรับช่วงกว้างของพลัซซิที่จ่ายให้นั่นเอง ซึ่งวิธีนี้จะทำให้ลดกำลังสูญเสียได้มาก สำหรับการกลับทางหมุนของมอเตอร์ อาจใช้วิธีสลับขั้วค่วยมือ หรือใช้วงจรรีเลย์หรือ อิเล็กทรอนิกส์เข้าไปควบคุม

รายละเอียดบนมอเตอร์



รูปที่ 2.35 แสดงมอเตอร์แบบไม่ใช้แปรงถ่านชนิดเอาท์รันเนอร์ รุ่น MN3508 KV 380

จากรูปที่ 2.35 คือรูปมอเตอร์แบบไม่ใช้แปรงถ่านชนิดเอาท์รันเนอร์ (Outrunner) ที่ใช้ในอากาศยานแบบสี่ใบพัด ซึ่งจะพบว่ามอเตอร์จะมีตัวเลขระบุค่าต่างๆ ไว้ ตัวเลขสี่หลักที่แสดงบนมอเตอร์ กือ ตัวเลขที่บอกขนาดของมอเตอร์ โดยสองหลักแรก หมายถึง ขนาดเส้นผ่านศูนย์กลางของสเตเตเตอร์ การที่เส้นผ่านศูนย์กลางของสเตเตเตอร์มากขึ้น มอเตอร์ก็จะมีขนาดใหญ่ขึ้น นั่นคือ รัศมียาวมากขึ้น จากกฎของแรง ของมอเตอร์เอาท์รันเนอร์

ใช้เปลือกนอกเป็นตัวหมุน เปลือกนอกเป็นท่อสูญดูดแม่เหล็กที่มีสนามแม่เหล็กตัดกับสนามแม่เหล็กของลวดวนสเตเตเตอร์ จุดที่สนามแม่เหล็กออกแรงผลักกัน ก็เปรียบเสมือนการออกแรงที่ปลายด้านหนึ่งของคาน โดยมีแกนมอเตอร์เป็นจุดหมุน เมื่อเราใส่ใบพัดเข้าไป ความยาวของใบตั้งแต่ปลายถึงจุดหมุนคือสิ่งที่คานต้องจับ ยิ่งเส้นผ่าศูนย์กลางมากขึ้นเท่าไร เส้นรัศมีก็ยาวมากขึ้นเท่านั้น เปรียบเหมือนคานงัดที่ยาวมากขึ้น ยิ่งรัศมี 2 ตัวแรกมากขึ้น ก็จะสามารถใช้ใบพัดขนาดใหญ่ได้มากขึ้น ส่วนตัวเลขสองหลักหลัง หมายถึง ความหนาของสเตเตเตอร์ ยิ่งความหนาของสเตเตเตอร์มากขึ้นเท่าไร จำนวนความยาวของแท่งแม่เหล็กบนเปลือกก็จะเพิ่มมากขึ้น เท่านั้น จะช่วยในเรื่องของการเพิ่มกำลังของสนามแม่เหล็ก (คานยาวขึ้นอย่างเดียวไม่พอ ต้องมีแรงผลักที่เพิ่มมากขึ้นด้วย)

ค่า KV (Knowledge Vision) ที่แสดงบนมอเตอร์ คือ ค่าแรงดันหรือแรงเคลื่อนไฟฟ้า ซึ่งจะแสดงรอบที่ทำได้ต่อแรงดันไฟที่ 1 โวลต์ โดยความเร็วรอบของมอเตอร์คิดเป็นรอบต่อนาที (RPM) หากจากการเอาค่าแรงดันของแบตเตอรี่คูณด้วยค่า KV ที่แสดงอยู่บนมอเตอร์ ก็จะได้ความเร็วรอบที่มอเตอร์จะสามารถทำได้

$$V_{\text{Battery}} \times KV_{\text{Motor}} = \text{rpm} \quad (2.2)$$

โดยที่ V_{Battery} คือ ค่าแรงดันของแบตเตอรี่

KV_{Motor} คือ ความเร็วรอบในการหมุนมอเตอร์ต่อ 1 โวลต์

rpm คือ ค่าความเร็วรอบต่อนาที

จากรูปที่ 2.35 เป็นมอเตอร์ไฟฟ้ากระแสตรงแบบไร์แปรงถ่านชนิดเอาหัวรันเนอร์ของค่าย Tiger Motor รุ่น MN3508 KV: 380 จากรุ่นของมอเตอร์จะพบว่า มอเตอร์รุ่นนี้ มีขนาดเส้นผ่านศูนย์กลางของสเตเตเตอร์เท่ากับ 35 มิลลิเมตร และความหนาของสเตเตเตอร์มีค่าเท่ากับ 8 มิลลิเมตร

2.7.2 ชุดควบคุมความเร็วรอบแบบอิเล็กทรอนิกส์ (Electronic Speed Controller:ESC)

ชุดควบคุมความเร็วรอบแบบอิเล็กทรอนิกส์หรือสปีดคอนโทรลหรือ ESC เป็นอุปกรณ์ควบคุมความเร็วรอบของมอเตอร์ไฟฟ้า ทำให้เราสามารถเร่งหรือเบรกของมอเตอร์ได้ชั่วสปีดคอนโทรลจะมีสายไฟออกมาทั้งสองด้าน ด้านหนึ่งจะใช้จ่ายกระแสไฟฟ้าให้แก่มอเตอร์ ส่วนอีกด้านหนึ่งก็จะมีสายไฟออกมาอีก 2 เส้นเพื่อรับกระแสไฟจากแบตเตอรี่และในด้านที่มีสายไฟนี้ก็จะมีสายไฟเส้นเล็กพร้อมแจ็คอีก 1 ตัวเพื่อสื่อสารเข้ากับเครื่องรับสัญญาณ (receiver) สำหรับรับคำสั่งจากเครื่องส่งวิทยุผ่านเครื่องรับสัญญาณอีกที เมื่อเร่งเดินเบาที่เครื่องส่งวิทยุ เครื่องรับวิทยุจะรับคำสั่งจากเครื่องส่งผ่านสปีดคอนโทรล เพื่อจ่ายกระแสไฟมากหรือน้อยให้มอเตอร์เร่งหรือเดินเบาได้ตามความต้องการ สปีดคอนโทรลแบ่งได้เป็น 2 ชนิด คือ

1. แบบกระแสตรง DC ใช้ควบคุมความเร็วของมอเตอร์แบบมีแปรงถ่าน (Brushed Motor) สปีดคอนโทรลชนิดนี้ จะควบคุมการจ่ายกระแสไฟกระแสตรง DC จากแบตเตอรี่สู่มอเตอร์ถ้าจ่ายไฟมากมอเตอร์ก็หมุนเร็ว จ่ายไฟน้อยมอเตอร์ก็หมุนช้า ตามแต่ที่เราบังคับผ่านเครื่องส่งวิทยุ

2. แบบกระแสสลับ AC ใช้ควบคุมความเร็วของมอเตอร์แบบไร้แปรงถ่าน (Brushless Motor) สปีดคอนโทรลชนิดนี้จะแปลงไฟจากกระแสตรงที่ได้รับจากแบตเตอรี่ เป็นไฟกระแสสลับเพื่อจ่ายไฟให้แก่มอเตอร์แบบไร้แปรงถ่าน (Brushless Motor) ซึ่งมักมีสายไฟอยู่มาจากการตัวสปีดคอนโทรล 3 เส้น

สปีดคอนโทรล นอกจากระบบทามหน้าที่ควบคุมความเร็วของมอเตอร์แล้ว ยังทำหน้าที่จ่ายกระแสไฟให้แก่เครื่องรับสัญญาณอีกด้วย โดยจะทำการควบคุมกระแสของแบตเตอรี่ที่ถูกใช้ไปกับมอเตอร์ไม่ให้ต่ำกว่า 5 V เมื่อกระแสไฟในแบตเตอรี่ถูกมอเตอร์ใช้ไปจนถึงจุดที่ 5V สปีดคอนโทรลจะทำหน้าที่ตัดกระแสไฟที่จ่ายไปยังมอเตอร์ เพราะหากสปีดคอนโทรลไม่ตัดการทำงานของมอเตอร์ กระแสไฟจากแบตเตอรี่จะถูกมอเตอร์ใช้ไปจนหมดหรืออาจมีกระแสไฟที่ต่ำมากจนเครื่องรับสัญญาณไม่สามารถทำงานได้ อาการayan ก็จะขาดการบังคับกับเครื่องส่งวิทยุ อาการayan ก็อาจหลุดลอยไปไม่อาจบังคับทิศทางได้หรือตกพังเสียหายได้

หลักการของ ESC มีหลักการดังนี้

- ค่า Voltage Cut-off เป็นค่าที่รู้กันในอันดับแรกๆ เป็นค่าการตัดการทำงานของมอเตอร์ที่แรงดันของแบตเตอรี่ที่ถูกใช้งานลดลงถึงจุดที่ไม่ก่อความเสียหายแบตเตอรี่ โดยเฉพาะแบตเตอรี่แบบ LiPo หากมีการใช้แรงดันจนเกินจากที่กำหนด เช่น ต่ำกว่า 3 V/Cell มอเตอร์ก็จะตัดการทำงานหรือค่อนข้างล้มเหลวเพื่อ Safe Battery

- ค่า Motor Brake เป็นค่าที่ใช้การเปิด-ปิด โหมดการหยุดของมอเตอร์ เมื่อลดคันเร่งจนสุด การหยุดของมอเตอร์จะใช้งานกับเครื่องบินเป็นส่วนใหญ่ ทั้งนี้ก็เพื่อลดการหมุนของใบพัดเป็นการต้านลมจากแรงลมที่ประท่วงเวลาบินร่อน สำหรับอากาศyan สีใบพัดจะไม่ใช้งานโหมดนี้

- ค่า Soft Start เป็นค่าที่ใช้ลดแรงบิดของมอเตอร์ในขณะที่ Start โดยปกติมอเตอร์ที่ใช้กับอากาศyan จะมีค่าแรงดันไฟฟ้า (KV) ของมอเตอร์ที่สูง เมื่อเริ่ม Start ก็จะเกิดแรงบิดสูงซึ่งอาจจะกระชากจนเกิดความเสียหายกับระบบเกียร์ได้ โหมด Soft Start จึงเป็นตัวทำหน้าที่หน่วงแรงบิดให้กับมอเตอร์จนถึงรอบใช้งานจริงตามที่ต้องการ

- ค่า Throttle Response เป็นค่าการหน่วงอัตราเร่งของมอเตอร์เพื่อป้องกันหางอากาศyan บัดจากแรงบิดของมอเตอร์เวลาที่เร่งหรือลดเครื่อง สำหรับค่าที่ต้องปรับให้เหมาะสม หรือประมาณกลาง ๆ ของโหมด

- ค่า Motor Timing เป็นที่เรียกເອາປະສິທິພາບຂອງມອเตอร์มาใช้งาน ต้องเข้าใจ โครงสร้างการทำงานของ มอเตอร์แบบ ไร้แปรงถ่าน (Brushless Motor) แต่ละแบบ และรอบการทำงานที่ใช้จังจะกำหนดได้ โดยกำหนดเป็นองศาการทำงาน ตั้งแต่ 0-30 องศา โดยปกติ 0-5 องศา สำหรับมอเตอร์ Out Runner และ 10-20 องศาสำหรับ In Runner แต่ในปัจจุบัน ESC รุ่นใหม่จะมี โหมด Auto มาให้เรียบร้อยแล้วก็ควรเลือกไปที่โหมด Auto น่าจะดีที่สุด แต่อย่างไรก็ตามก็ควรที่จะ ศึกษาคู่มือของ ESC แต่ละรุ่นให้ละเอียดเสียก่อน ก่อนทำการ Setup



รูปที่ 2.36 แสดงชุดควบคุมความเร็วรอบแบบอิเล็กทรอนิกส์ (Electronic Speed Controller: ESC)

2.7.3 ใบพัด (Propeller)

ใบพัด คือ กลอุปกรณ์หมุนชนิดขับด้วยกำลัง มีคุณหนึ่งคุณ และแขนหรือกลีบ รูปร่างปีกอย่างเกลียวตั้งแต่สองอันขึ้นไป กลอุปกรณ์นี้ติดอยู่บนอากาศยาน หรือเรือบางแบบ และ ใช้สำหรับขับเคลื่อน หรือดึงอากาศยานไปข้างหน้าผ่านอากาศ โดยการกระทำของใบพัดหมุนกิน อากาศ หรือของไอลอén

ข้อมูลทั่วไปของใบพัด

Thrust เป็นแรงที่ใช้ขับเคลื่อนอากาศยานไปในอากาศ Thrust เป็นระบบที่สร้างขึ้น เพื่อใช้ผลักดันอากาศยาน ซึ่งมีอยู่หลายแบบและหลายวิธีการในการสร้างระบบผลักดันนี้ขึ้นมา ใบพัดก็เป็นหนึ่งในระบบขับเคลื่อนอากาศยาน จุดมุ่งหมายของใบพัดก็คือการขับเคลื่อนอากาศยาน ให้เคลื่อนที่ไปในอากาศ ใบพัดประกอบใบหรือกลีบ ตั้งแต่สองกลีบหรือสองใบขึ้นไป ต่อ กันด้วยที่ สูญญากาศ ซึ่งเรียกว่า Hub ทำหน้าที่ยึด ใบพัดแต่ละกลีบหรือแต่ละใบเข้ากับ Shaft ของเครื่องยนต์

ชนิดของใบพัด

ใบพัดไม่ เป็นใบพัดที่แข็งมากที่สุดและมีน้ำหนักเบา การที่ใบพัดไม่มีน้ำหนักเบา จะช่วยในเรื่องลดน้ำหนัก ทำให้ได้รอบที่สูงขึ้น



รูปที่ 2.37 แสดงใบพัดไม้

ใบพัดคาร์บอนเสริมไนล่อน หรือ ใบพัด APC เป็นใบพัดที่นิยมใช้ทั่วไป มีน้ำหนักมากกว่าใบพัดชนิดไม้และมีความถึกหุ้นสูงกว่า สำหรับในการลงจอดของอากาศยานที่ใช้ใบพัดชนิดนี้อาจจะทำได้ไม่ดีเด็ดีกว่าใบพัดชนิดไม้



รูปที่ 2.38 แสดงใบพัดคาร์บอนเสริมไนล่อนหรือใบพัด APC

ใบพัดคาร์บอนไฟเบอร์ เป็นใบพัดที่นิยมใช้ในการแข่งขัน ใบพัดมีความถึกหุ้นมากกว่าใบพัดชนิดอื่น ๆ และมีพื้นที่ใบขนาดใหญ่



รูปที่ 2.39 แสดงใบพัดคาร์บอนไฟเบอร์

- ใบพัดที่นิยมใช้กับอากาศยานหดလายใบพัด แบ่งออกเป็น 2 ชนิด คือ
 1. ใบพัดแบบรอบจั๊ด (Speed Propeller) ซึ่งใบพัดชนิดนี้จะใช้กับอากาศยานประเภทบินเร็วและมีน้ำหนักเบา เน้นรอบจั๊ด เพื่อความคล่องตัวในการบิน



รูปที่ 2.40 แสดง APC 6x4 Speed 400 Electric Propeller

2. ใบพัดแบบรอบตា๊ม (Slow Propeller) ใบพัดชนิดนี้จะใช้กับอากาศยานที่มีขนาดใหญ่ มีน้ำหนักตัวลำบาก โดยใบพัดชนิดนี้จะเน้นสำหรับสร้างแรงดึง ให้รอบตា๊มและทอร์คสูง



รูปที่ 2.41 แสดง APC 10x4.7 Slow-Flyer Propeller

ส่วนลักษณะของใบพัดที่แตกต่างกันนั้น เกิดจากการออกแบบให้มีลักษณะพิเศษ เช่น การออกแบบมาเพื่อลดเสียงการรบกวน หรือออกแบบมาเพื่อเน้นรอบของการบิน



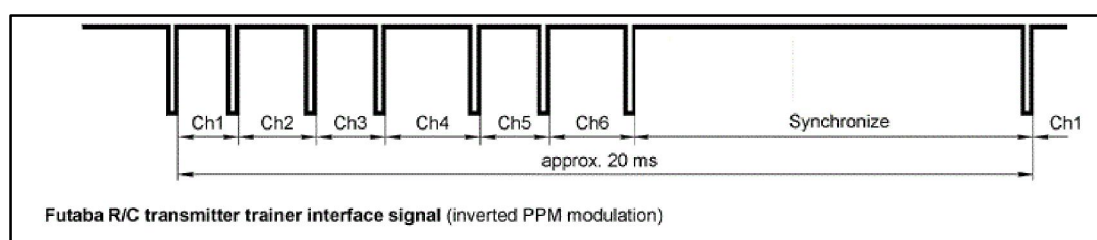
รูปที่ 2.42 แสดงใบพัดรูปแบบต่าง ๆ

2.8 หลักการทำงานของวิทยุบังคับ

วิทยุบังคับเป็นอุปกรณ์ที่ใช้ส่งสัญญาณควบคุมไปยังอากาศยาน สัญญาณควบคุมจากคันบังคับและสวิทช์ควบคุมต่าง ๆ จะถูกเข้ารหัส (Encode) ให้เป็นสัญญาณพัลซ์อนุกรม (Pulse Position Modulation, PPM) ดังรูปที่ 2.43 สัญญาณ PPM ของวิทยุบังคับบางค่าย เช่น Futaba จะเป็นสัญญาณแบบกลับทาง (Inverted PPM) ดังรูปที่ 2.44

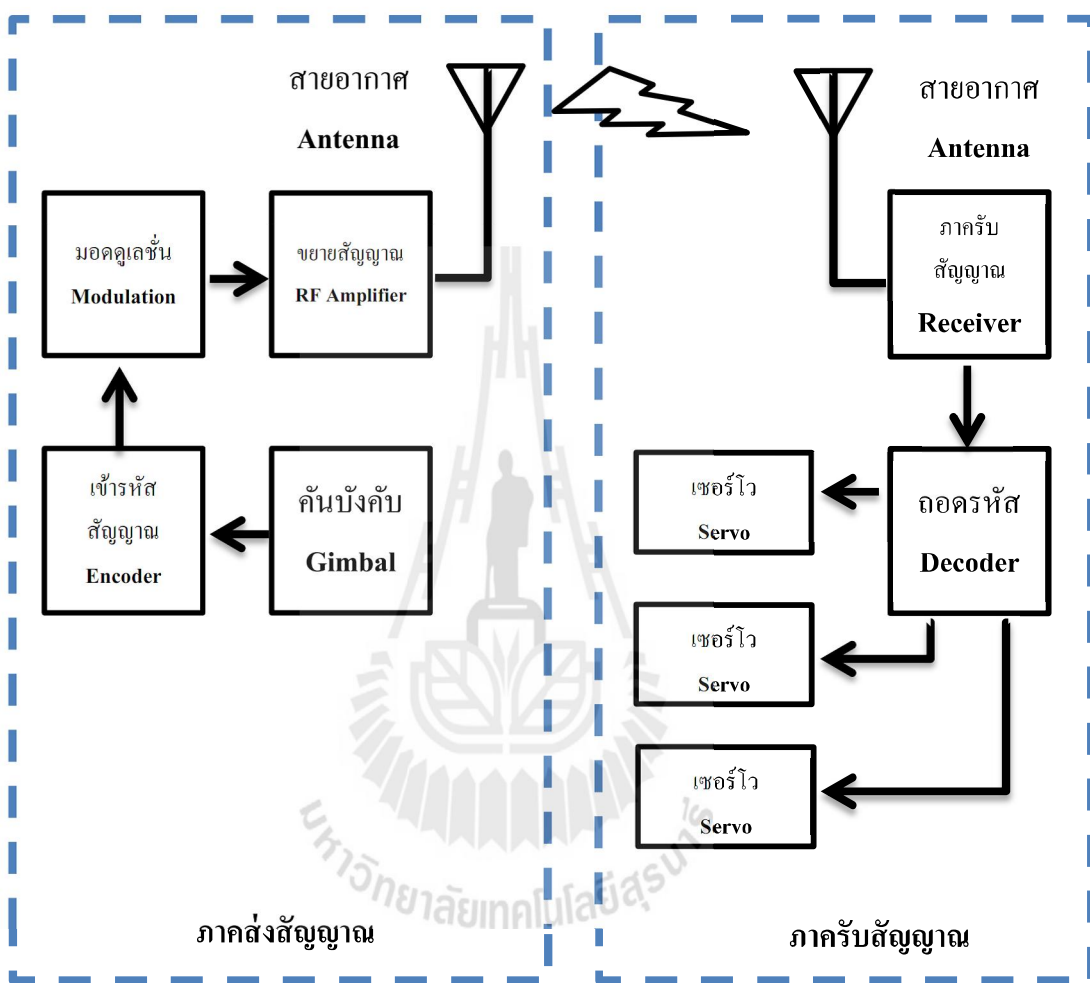


รูปที่ 2.43 แสดงสัญญาณพัลซ์อนุกรม



รูปที่ 2.44 แสดงสัญญาณพัลซ์อนุกรมแบบกลับทาง

สัญญาณ PPM จะถูกนำมาบิดดูเลี้ยงกับสัญญาณวิทยุแล้วส่งออกไป หลังจากนั้นภาครับสัญญาณจะนำสัญญาณมาถอดรหัสให้เป็นสัญญาณสำหรับควบคุมตำแหน่งเซอร์โวต่อไป ดังรูปที่ 2.45



รูปที่ 2.45 แสดงระบบการรับ – ส่ง สัญญาณวิทยูบังคับ

2.8.1 ระบบการส่งคลื่นวิทยูบังคับ

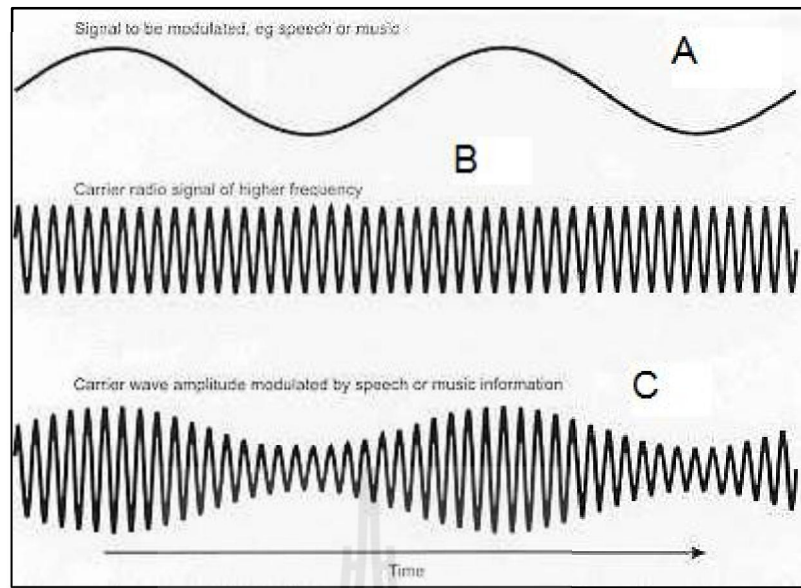
การรับ-ส่งสัญญาณวิทยุนั้นประกอบไปด้วยส่วนสำคัญ 3 ส่วนด้วยกันคือ เครื่องส่งวิทยุ (Transmitter) ตัวคลื่นวิทยุ (Radio wave) และ เครื่องรับวิทยุ (Receiver) กระบวนการรับ-ส่งวิทยุริบจากการที่เครื่องส่งวิทยุสร้างคลื่นวิทยุออกมาในการสร้างคลื่นวิทยุของเครื่องส่งนั้น คลื่นวิทยุจะถูกสร้างจากวงจรกำเนิดความถี่ (Generating circuit) ซึ่งมีหลักการทำงานคือ การเร่งประจุไฟฟ้า (ในที่นี้คืออิเล็กตรอน) ให้เคลื่อนที่กลับไปกลับมา โดยทฤษฎีแม่เหล็ก-ไฟฟ้าของแมกซ์เวลล์ การที่ประจุไฟฟ้าเคลื่อนที่ด้วยความเร็วจะทำให้เกิดคลื่นแม่เหล็กไฟฟ้าขึ้นซึ่งคลื่นนี้ก

คือพลังงานที่ประจุไฟฟ้าปลดปล่อยออกมายังที่มีความเร่งนั่นเอง จากนั้นสัญญาณที่เราต้องการส่ง (ในที่นี้คือสัญญาณการควบคุมอากาศยานแต่สำหรับเครื่องรับวิทยุที่เราฟังกันอยู่ทุกวันนี้ สัญญาณนี้ก็คือสัญญาณเสียงที่ได้รับการแปลงเป็นสัญญาณไฟฟ้าด้วยไมโครโฟน) จะถูกรวมเข้าไปในคลื่นที่ถูกสร้างขึ้นนี้ซึ่งเป็นขั้นตอนที่เรียกว่า Modulation คลื่นวิทยุที่ผ่านการผสมสัญญาณแล้วจะถูกส่งออกจากเครื่องส่งผ่านทางเสาอากาศของเครื่องส่ง เมื่อคลื่นนี้เดินทางมาถึงเครื่องรับ เสาอากาศของเครื่องรับจะจับคลื่นนี้ไว้ หลักการที่เกี่ยวข้องกับการเหนี่ยวนำแม่เหล็กไฟฟ้า คลื่นแม่เหล็กไฟฟ้าประกอบไปด้วยคลื่นสนามไฟฟ้าและสนามแม่เหล็กที่สั่น เมื่อคลื่นมากระทบกับเสาอากาศที่เป็นโลหะตัวนำจะเหนี่ยวนำให้เกิดไฟฟ้ากระแสสลับขึ้นในเสาอากาศ กระแสไฟฟ้านี้จะถูกส่งผ่านไปยังวงจรแยกสัญญาณซึ่งเป็นกระบวนการที่เรียกว่า demodulation ในกรณีของอากาศยานบังคับสัญญาณที่แยกออกมาได้จะไปควบคุมอุปกรณ์ต่าง ๆ ภายในตัวอากาศยาน เช่น Electronic Speed Controller (ESC) ในการเร่งความเร็วรอบของใบพัดเพื่อยกให้เลิกอปเปอร์ยกตัวสูงขึ้นหรือลดระดับลง

2.8.2 ระบบ Modulation

- ระบบ AM

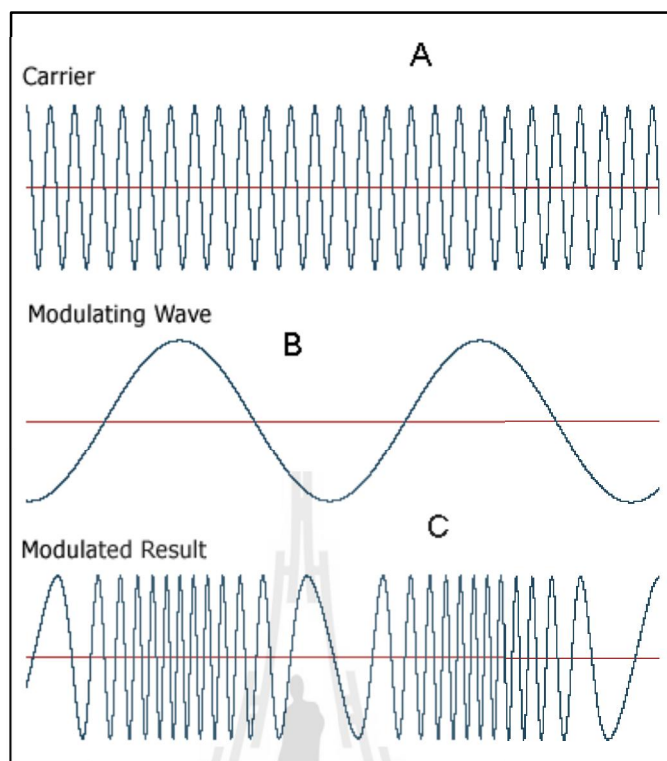
ในระบบนี้ สัญญาณการควบคุมจะถูกส่งไปกับคลื่นวิทยุโดยการบังคับให้แอมเพลิจูดของคลื่นวิทยุเปลี่ยนแปลงไปดังรูปที่ 2.46 ในรูปนี้ A คือสัญญาณที่จะส่ง B คือคลื่นวิทยุ และ C คือคลื่นที่เกิดจากการผสมสัญญาณเข้าไปกับคลื่นวิทยุ การเปลี่ยนแปลงนี้จะมีลักษณะที่จำเพาะต่อสัญญาณแบบต่าง ๆ ที่มาจากการยกคันบังคับหรือการกดปุ่มต่าง ๆ บนตัวเครื่องส่งวิทยุ ระบบนี้ไม่ค่อนข้างนำมาใช้เนื่องจากการเปลี่ยนแปลงแอมเพลิจูดของคลื่นวิทยุถูกรบกวนได้ง่ายจากสิ่งแวดล้อมภายนอก เช่น พาผ่าหรือสัญญาณรบกวน (noise) ทางไฟฟ้าที่มาระบุกปั่นป่วน อย่างเช่นการสตาร์ทรถยนต์ เป็นต้น ข้อดีของระบบ AM คือเครื่องรับสามารถคัดกรองการเปลี่ยนแปลงแอมเพลิจูดสูงต่ำของคลื่นวิทยุได้โดยง่ายและในการส่งวิทยุระยะไกลยัง远 than ความถี่ประมาณ 560 kHz ถึง 1650 kHz ของคลื่นวิทยุ AM ทั่วไปนั้น คลื่น AM จะส่งได้ไกลกว่าโดยไม่ต้องมีสถานีถ่ายทอดระหว่างทางเนื่องจากคลื่นสามารถสะท้อนกลับลงมาอย่างพื้นโลกลึกได้จากบรรยากาศชั้นไอโอดีฟายร์



รูปที่ 2.46 แสดงระบบ modulation แบบ AM

- ระบบ FM หรือ ระบบ PPM (Pulse Position Modulation)

ในระบบนี้สัญญาณการควบคุมจะถูกส่งไปโดยการเปลี่ยนแปลงความถี่ของคลื่นวิทยุ ดังรูปที่ 2.47 ในรูปนี้ A คือคลื่นวิทยุ B คือสัญญาณที่จะส่ง และ C คือคลื่นที่เกิดจากการผสมสัญญาณแบบ FM ในแวดวงของ RC ระบบนี้ยังเรียกกันอีกชื่อหนึ่งว่า PPM ด้วย ชื่อนี้ย่อมาจาก Pulse Position Modulation ในระบบนี้สัญญาณรบกวนที่ส่งผลต่อแอนเพลจูดของคลื่นวิทยุจะไม่มีผลกระทบใด ๆ ต่อระบบ FM เนื่องจากเครื่องรับจะสนใจแต่การเปลี่ยนแปลงความถี่ของคลื่นวิทยุเท่านั้น ระบบนี้อาจเกิดความผิดพลาดขึ้นได้เนื่องมาจากชีนส่วนที่หมุนได้สามารถถูกให้เกิดสัญญาณรบกวนได้ซึ่งเครื่องรับอาจจะคิดว่าเป็นสัญญาณที่ถูกส่งมา สิ่งนี้จะส่งผลให้อาڪاد yan เกิดการกระตุก นอกจากนี้เครื่องรับของระบบ PPM จะส่งผ่านการแทรกสอดของสัญญาณรบกวนกับคลื่นวิทยุที่ส่งมาไปยังเซอร์โวโดยตรง ระบบ PCM ที่จะกล่าวถึงต่อไปนี้สามารถจัดการกับสัญญาณรบกวนได้ดีกว่า



รูปที่ 2.47 แสดงระบบ modulation แบบ FM

- ระบบ PCM (Pulse Code Modulation)

ระบบนี้จัดว่าเป็นการ Modulation แบบดิจิตอลเนื่องจากเป็นการผสานสัญญาณดิจิตอลเข้าไปกับคลื่น FM ปกติ สัญญาณควบคุมโดยทั่วไปแล้วเป็นสัญญาณอนาลอกดังนั้นในเครื่องส่งจะต้องมีตัวแปลงสัญญาณเหล่านี้ให้เป็นสัญญาณดิจิตอลที่เรียกว่ากระบวนการ Digitization ภายในเครื่องส่งจะมีชิปที่ทำหน้าที่เข้ารหัสแล้วส่งสัญญาณดิจิตอลออกไปกับคลื่นวิทยุ และที่เครื่องรับก็จะมีชิปที่จะแยกเอาสัญญาณดิจิตอลออกมาแล้วถอดรหัสให้เป็นสัญญาณอนาลอกของการควบคุมปกติออกมา ระบบนี้ลดความผิดพลาดไปได้มากเนื่องจากเครื่องรับจะตอบสนองต่อสัญญาณดิจิตอลที่เครื่องรับเข้าใจเท่านั้น โดยไม่สนใจกับสัญญาณรบกวนอื่น ๆ ในระบบนี้ยังมีฟังก์ชันที่เรียกว่า ความปลอดภัยเมื่อล้มเหลว (failsafe) อีกด้วย เมื่อใดก็ตามที่มีความผิดพลาดในเรื่องของการรับส่งสัญญาณฟังก์ชันนี้จะทำหน้าที่ปรับตำแหน่งของเซอร์โวและลดคันเร่งลงมาอย่างต่อเนื่องตามที่ตั้งค่าไว้ ฟังก์ชันนี้มีข้อดีสำหรับเครื่องบินบังคับซึ่งช่วยลดความเสี่ยงหากการตกได้ นอกจากนี้แล้วระบบ PCM ยังมีการรับกวนระหว่างเครื่องส่งที่ใช้ความถี่เดียวกันเมื่อใช้พร้อม ๆ กันด้วย

2.8.3 ระบบ Spread Spectrum

ระบบนี้จะใช้ความถี่ 2.4 GHz ซึ่งจะพบได้ทั่วไปในเครื่องส่งวิทยุรากแพร ระบบนี้มีฟังก์ชันที่ยึดเหนี่ยวเครื่องรับเครื่องได้เครื่องหนึ่งไว้กับเครื่องส่งที่ใช้อยู่ หลังจากการเชื่อมโยง (Binding) แล้วเครื่องรับจะตอบสนองต่อสัญญาณจากเครื่องส่งเครื่องที่เชื่อมต่อไว้เท่านั้น จึงไม่มีปัญหาของการรบกวนจากการใช้ย่านความถี่เดียวกันในระบบ 2.4 GHz นี้ใช้การกระจายย่านความถี่ออกไปซึ่งมีชื่อเรียกว่า Spread Spectrum ซึ่งการกระจายนี้จะเป็นแบบสุ่มซึ่งมีโอกาสสัมภัยมากที่จะรบกวนกับเครื่องส่งอื่น ๆ นอกจากนี้ถ้ามีการรบกวนเกิดขึ้นก็จะเกิดในช่วงเวลาที่สั้นมาก ๆ จนไม่อาจสังเกตเห็นได้ นอกจากนี้การกระจายความถี่ยังส่งผลให้สัญญาณรบกวนลูกกระยาاخออกไปด้วยทำให้สัญญาณรบกวนเหล่านี้อ่อนลงไปมากจนแทบจะไม่ส่งผลใด ๆ ต่อการส่งสัญญาณเลย ระบบนี้เป็นการ modulation แบบดิจิตอล เช่นเดียวกับระบบ PCM จึงมีข้อดีทุกอย่างที่ระบบ PCM มี สิ่งที่สังเกตได้จากรูปร่างภายนอกของเครื่องส่งที่ใช้ความถี่ 2.4 GHz คือเสาอากาศที่สั้นกว่าระบบอื่นมาก เหตุผลก็เนื่องมาจากการใช้ความถี่ที่สูงกว่าจึงมีความยาวคลื่นน้อยกว่า ซึ่งถ้าคำนวณโดยใช้สมการพื้นฐานของวิชาฟิสิกส์เกี่ยวกับคลื่น

$$c = f\lambda \quad (2.3)$$

โดยที่ c คือ อัตราเร็วของคลื่นในอากาศมีค่า $3 \times 10^8 \text{ m/s}^2$

f คือ ความถี่

λ คือ ความยาวคลื่น

จะได้ว่าที่ความถี่ 2.4 GHz หรือ $2.4 \times 10^9 \text{ Hz}$ เราจะได้ความยาวคลื่น 12.5 cm ในขณะที่ความถี่ 72 MHz จะให้ความยาวคลื่น 4.17 m ซึ่งจะเห็นได้ว่าเครื่องส่งระบบ PPM และ PCM จะมีเสาอากาศที่ยาวกว่ามาก การที่มีความยาวคลื่นน้อยนี้มีผลเสียคือความยาวคลื่นน้อยจะทำให้คลื่นเกิดการสะท้อนมากขึ้น ถ้าคลื่นที่มีความยาวคลื่นมากเคลื่อนที่มากระทบกับวัตถุขนาดเล็กคลื่นจะเคลื่อนที่อ้อมวัตถุนั้นไปซึ่งในทางฟิสิกส์เราระยกการณ์นี้ว่าการเลี้ยวเบนของคลื่น แต่ถ้าคลื่นมีความยาวคลื่นสั้นกว่าขนาดของวัตถุ แนวโน้มที่คลื่นจะสะท้อนกลับจะมีมาก การดูดคลื่นและสะท้อนกลับของชิ้นส่วนต่าง ๆ ในอากาศยานที่ทำการบ่อนไฟเบอร์และอัลูминียมสามารถทำให้เกิดความผิดพลาดขึ้นได้ถ้าสัญญาณจากเครื่องส่งไม่แรงพอ ปัญหานี้ได้รับการแก้ไขโดยการเพิ่มเครื่องรับตัวที่สองเข้าไปโดยจัดวางการวางตัวของสายอากาศที่เครื่องรับให้อยู่คนละแนวกันเพื่อตรวจจับสัญญาณที่มาในทิศทางต่าง ๆ ในขณะที่เสลิคอปเตอร์กำลังบินอยู่ในทิศทางต่าง ๆ กัน ได้ระบบ Spread Spectrum ยังแบ่งออกได้เป็น 2 รูปแบบใหญ่ ๆ คือ

- **Frequency Hopping Spread Spectrum (FHSS)**

เป็นระบบแรกที่เกิดขึ้นใน Spread Spectrum Modulation การส่งผ่านสัญญาณด้วยวิธีการนี้ใช้การกระโดด (hop) จากย่านความถี่แคม ฯ ซ่องหนึ่งไปอีกช่องหนึ่งที่อยู่ภายในช่วงความถี่ย่านกว้างนี้หลายร้อยครั้งต่อวินาที ลำดับของการกระโดดและอัตราการกระโดดจะมีรูปแบบเฉพาะ เครื่องรับในระบบนี้จึงต้องรับรู้รูปแบบการเปลี่ยนแปลงความถี่นี้ได้จึงจะรับสัญญาณได้ ระบบนี้สามารถหลบหลีกการรบกวนได้โดยการสกัดกันความถี่ที่กำหนดไว้ บริษัทผลิตวิทยุบังคับที่ใช้ระบบนี้คือ Futaba

- **Direct Sequence Spread Spectrum (DSSS)**

เป็นระบบที่นิยมใช้กันมากโดยบริษัท Spektrum ซึ่งเป็นบริษัทที่ผลิตวิทยุบังคับอวกาศหลายรุ่นด้วยกัน เริ่มตั้งแต่ 2-3 channel ไปจนถึง 12 channel ในระบบนี้ สัญญาณจะถูกกระจายลงบนช่วงความถี่ย่านกว้างโดยตรงด้วยลำดับโค๊ดที่เฉพาะเจาะจง ระบบนี้ส่งผ่านข้อมูลได้รวดเร็วกว่าและไม่ล่าช้าเนื่องจากเครื่องรับและเครื่องส่งส่งไม่ต้องเสียเวลาในการเปลี่ยนช่องความถี่กลับไปกลับมา แต่ด้วยเทคโนโลยีเกียร์กับโทรศัพท์เซลลูลาร์ในปัจจุบัน ความล่าช้าที่เกิดขึ้นนี้จึงไม่เป็นปัญหาแต่อย่างใด ระบบนี้ช่วยให้การตอบสนองของเซลลูลาร์ต่อการโยกคันบังคับเป็นไปอย่างรวดเร็วจึงทำให้การเล่นดูสมจริงและรวดเร็วทันใจมากยิ่งขึ้น ระบบนี้สามารถเลี้ยงการรบกวนได้โดยตั้งค่าฟังก์ชันให้กับเครื่องรับเพื่อให้เครื่องรับสนใจแต่เฉพาะสัญญาณที่ส่งมาเท่านั้น และในขณะเดียวกันก็กระจายสัญญาณรบกวนออกไป

2.9 โปรแกรมควบคุมการบิน

ในช่วงไม่นานมานี้ได้เกิดกระแสการเผยแพร่ภาพการบินของอากาศยานแบบสีในพัดตามอินเตอร์เน็ตอย่างมหาศาล อากาศยานเหล่านี้บินได้ด้วยการควบคุมโดยอุปกรณ์อิเล็กทรอนิกส์ ซึ่งเป็นผลการวิจัยจากห้องทดลองต่าง ๆ ชุดควบคุมที่พัฒนาเชิงพาณิชย์ และจากการพัฒนาชุดควบคุมแบบเปิดเผยแพร่ส์โค๊ดหรือที่เรียกว่า โอเพ่นซอร์ส (Open Source) จากที่สำรวจพบว่ามีผู้พัฒนาระบบควบคุมอากาศยานแบบสีในพัดตามตารางที่ 2.1 ซึ่งแต่ละรายได้พัฒนาส่วนของโปรแกรมตั้งค่าให้มีความสะดวกในการปรับแต่งอากาศยานแบบสีในพัด และบางรายมีการเปิดเผยแพร่ส์โค๊ดเพื่อให้นำไปพัฒนาต่อได้ง่าย ด้วยเหตุนี้จึงทำให้กระแสการพัฒนาชุดควบคุมอากาศยานอย่างก้าวกระโดด รวมไปถึงห้องวิจัยต่าง ๆ ที่ได้อาภิปรายและแสดงผลการทดสอบดังตารางที่ 2.2

ตารางที่ 2.1 แสดงผู้พัฒนาโปรแกรมและชุดควบคุมอากาศยานแบบสีในพัด

ชื่อ โครงการ	เว็บไซต์
Arducopter	http://code.google.com/p/arducopter
Openpilot	http://www.openpilot.org
Paparazzi	http://paparazzi.enac.fr
Pixhawk	http://pixhawk.ethz.ch
Mikrokopter	http://www.mikrokopter.de
KKmulticopter	http://www.kkmulticopter.com
Multiwii	http://www.multiwii.com
Aeroquad	http://www.aeroquad.com

ตารางที่ 2.2 แสดงตารางรายละเอียดของชุดควบคุมของผู้พัฒนาแต่ละราย

ผู้พัฒนา	CPU	Gyro	Accelerometer	Magnetometer	Barometer	GPS
Ardu copter	Atmega 2560 8bit 16MHz	MPU- 6000	MPU-6000	HMC5843	MS5611	มี
Open pilot	STM32F103CB 32bit 72MHz	ISZ/ID C-500	ADX330	HMC5843	BMP085	มี
Paparazzi	STM32F105- RCT6 32bit 60MHz	MPU- 6000	MPU-6000	HMC5843	MS5611	มี
Pixhawk	LPC2148 32bit 60MHz	ISZ/ID C-500	SCA3100- D04	HMC5843	BMP085	มี
Mikro- kopter	ATmega644 8bit 20MHz	ADXR S 610	LIS344ALH	KMZ51	MPX4115A	มี
KKmulti copter	ATmega168 8bit 20MHz	ENC- 03	-	-	-	-

ตารางที่ 2.2 แสดงตารางรายละเอียดของชุดความคุ้มของผู้พัฒนาแต่ละราย (ต่อ)

ผู้พัฒนา	CPU	Gyro	Accelerometer	Magnetometer	Barometer	GPS
Multiwii	ATmega328P ATmega2560 ATmega32U4 8bit 16MHz	ITG3200 MPU6050 L3G4200D	ADXL345 BMA180 BMA020 LIS3LV02 LSM303DLx	HMC5843 HMC5883 AK8975 MAG3110	MS5611 BMP085	มี
Aeroquad	ATmega328P ATmega2560 8bit 16MHz	ITG3200	ADXL345 BMA180	HMC5843	BMP085	ไม่มี

บทที่ 3

วิธีการดำเนินการวิจัย

งานวิจัยนี้ได้ทำการออกแบบและจัดสร้างเอกสารแบบสื่อใบพับที่สามารถบินรับ-ส่งเอกสารระหว่างอาคารแบบอัตโนมัติ โดยเริ่มต้นจากการศึกษาลักษณะการทำงานของอาคารแบบสื่อใบพับ ดูลักษณะโครงสร้าง และส่วนประกอบต่าง ๆ เพื่อนำมาเป็นข้อมูลสำหรับการออกแบบเอกสาร โดยทางผู้วิจัยมีแนวคิดที่ต้องการให้อาคารสามารถบินขึ้น-ลงแบบอัตโนมัติ พร้อมทั้งบินขนส่งเอกสารระหว่างอาคารหรือตามเส้นทางที่กำหนด ซึ่งในขั้นตอนของการออกแบบเป็นขั้นตอนที่สำคัญมาก ใน การสร้างอาคารเราจะต้องคำนึงเรื่องน้ำหนักเป็นอย่างมาก เพราะจะน้ำหนักการเลือกใช้วัสดุและ อุปกรณ์ทุกชิ้นมีส่วนสำคัญ เพราะถ้าน้ำหนักมากเกินไป อาจส่งผลให้ตัวอาคารบินไม่ได้ แล้ว อาจจะต้องเปลี่ยนอุปกรณ์ใหม่ทั้งหมด ทำให้เกิดความสิ้นเปลือง และเพื่อให้อาคารสามารถบินขึ้น-ลงแบบอัตโนมัติได้โดยไร้การควบคุมจึงได้ทำการออกแบบชุดอุปกรณ์เพื่อควบคุมวิทยุบังคับอีกด้วย หนึ่งในนวัตกรรมที่สำคัญคือการบินที่ต้องคำนึงถึงน้ำหนัก ขนาด และความต้องการในการใช้งานจริง และยังเป็นตัวกำหนดข้อจำกัดของการออกแบบและเลือกใช้อุปกรณ์ต่าง ๆ โดยงานวิจัยนี้มี ข้อกำหนดดังนี้

3.1 ข้อกำหนดในการออกแบบ

ในการสร้างอาคารแบบสื่อใบพับ ส่วนของการออกแบบถือว่าเป็นส่วนที่สำคัญที่สุด เพราะจะน้ำหนักเพื่อให้การออกแบบออกแบบอุปกรณ์แบบตามลักษณะของงานที่เรากำหนดหรือต้องการ เราจะต้องมีการกำหนดข้อกำหนดที่จะใช้ในการออกแบบ ซึ่งข้อกำหนดนี้เกิดจากความต้องการในการใช้งานจริงและยังเป็นตัวกำหนดข้อจำกัดของการออกแบบและเลือกใช้อุปกรณ์ต่าง ๆ โดยงานวิจัยนี้มี ข้อกำหนดดังนี้

3.1.1 น้ำหนักบรรทุก (Payload)

สำหรับการสร้างอาคารแบบสื่อใบพับ เรื่องของน้ำหนักถือว่าเป็นสิ่งที่สำคัญมาก เราควรจะออกแบบและเลือกใช้วัสดุ อุปกรณ์ต่าง ๆ ให้มีน้ำหนักรวมเบาที่สุด เพื่อเป็นการประหยัด พลังงานและเพิ่มระยะเวลาในการบิน เนื่องจากอาคารที่เราทำการออกแบบนั้น เป็นอาคารเพื่อ การขนส่งเอกสาร ดังนั้นเราจึงจำเป็นต้องมีข้อกำหนดของน้ำหนักบรรทุก (Payload) โดยจะประกอบไปด้วยกล่องใส่เอกสารขนาด A4 และเอกสารที่ใช้บรรทุกหรือรับ-ส่งที่มีน้ำหนักรวมไม่เกิน 200 กรัม เพื่อที่อาคารจะสามารถบินรับ-ส่งเอกสารได้อย่างปลอดภัย

3.1.2 เวลาในการบิน (Flight Time)

อีกข้อกำหนดของการออกแบบที่สำคัญ คือ เวลาที่ใช้ในการบิน ซึ่งเวลาที่กำหนดจะใช้เป็นข้อมูลสำหรับการคำนวณ เพื่อเลือกใช้ขนาดของแบตเตอรี่ที่เหมาะสมกับขนาดและน้ำหนักของตัวอากาศยาน ซึ่งทางผู้จัดได้กำหนดให้อากาศยานบินรับ-ส่งเอกสารระหว่างอาคารเครื่องมือ 5 และอาคารเครื่องมือ 6 โดยมีระยะทางประมาณ 200 เมตร ซึ่งน่าจะใช้เวลาในการบินประมาณ 3-4 นาที ต่อการบินหนึ่งครั้ง ดังนั้นเพื่อความปลอดภัยและสามารถที่จะบินไป-กลับได้หลายครั้ง ผู้จัดจึงกำหนดเวลาในการบินที่จะใช้ในการออกแบบอยู่ที่ 7 นาที ที่ระดับเพดานบิน 40 เมตร

3.2 การออกแบบอากาศยานส์ไบพั๊ด

สำหรับในขั้นตอนของการออกแบบ ผู้จัดได้แบ่งการออกแบบออกเป็น 3 ส่วน คือ ระบบต้นกำลัง ในส่วนนี้จะทำการคำนวณหาแรงยก ค่าการกินกระแส และอื่น ๆ เพื่อใช้เป็นข้อมูลในการเลือกชุดอุปกรณ์ อาทิ เช่น มอเตอร์ แบตเตอรี่ ขนาดของใบพัด ในส่วนต่อมาจะทำการออกแบบระบบโครงสร้าง เมื่อทราบขนาดของใบพัด จะสามารถกำหนดขนาดของตัวลำของอากาศยานได้ หรือการทราบน้ำหนักโดยรวมของอากาศยาน จะสามารถเลือกใช้วัสดุที่เหมาะสมกับน้ำหนักของอากาศยานได้ เช่นเดียวกัน และในส่วนสุดท้าย ระบบควบคุม ซึ่งในส่วนนี้จะเป็นระบบควบคุมการทำงานทั้งหมด ทั้งการเลือกใช้โปรแกรม การปรับค่า PID โดยทั้งสามส่วนที่กล่าวมา มีหลักการในการออกแบบดังนี้

3.2.1 ระบบต้นกำลัง

ระบบต้นกำลัง คือ ชุดอุปกรณ์ที่ใช้สำหรับสร้างแรงยกและการเคลื่อนที่ของอากาศยาน ซึ่งระบบต้นกำลังจะประกอบไปด้วย มอเตอร์ ชุดควบคุมความเร็ว รอบแบบ อิเล็กทรอนิกส์ ใบพัด และแบตเตอรี่

การออกแบบในส่วนของระบบต้นกำลังเริ่มต้นจากการคำนวณหาน้ำหนักรวมทั้งหมด โดยพิจารณาจากน้ำหนักของโครงสร้าง น้ำหนักของระบบต้นกำลัง และน้ำหนักบรรทุกซึ่งมีขนาด 200 กรัม ตามที่ผู้จัดได้กำหนดไว้ในส่วนของข้อกำหนดในการออกแบบ ส่วนน้ำหนักในส่วนของโครงสร้างและอุปกรณ์ในส่วนระบบต้นกำลัง ทั้งสองส่วนนี้เป็นน้ำหนักที่ผู้จัดสมมุติขึ้นมา เนื่องจากยังไม่ทราบขนาด วัสดุ และอุปกรณ์ที่จะใช้ในการสร้างอากาศยาน ดังนั้น จึงพิจารณาหาน้ำหนักมากสุดที่จะเป็นไปได้ โดยกำหนดให้สองส่วนนี้มีน้ำหนักรวมกันไม่เกิน 2,000 กรัม

$$W_{\text{Total}} = (W_{\text{Frame}} + W_{\text{Device}}) + \text{Payload} \quad (3.1)$$

$$W_{\text{Total}} = (2,000 \times 9.8) + (200 \times 9.8)$$

$$\therefore W_{\text{Total}} = 21,560 \quad \text{N}$$

โดย W_{Total} คือ น้ำหนักรวมทั้งหมดของอากาศยาน

W_{Frame} คือ น้ำหนักของโครงสร้าง

W_{Device} คือ น้ำหนักของอุปกรณ์ต้นกำลัง

Payload คือ น้ำหนักบรรทุก

เมื่อทราบน้ำหนักรวมทั้งหมดของอากาศยานแล้ว จึงนำไปหาค่าแรงยกสูงสุดต่อโมเตอร์หนึ่งตัว ที่จะกระทำได้ เพื่อให้เป็นข้อมูลในการพิจารณาเลือกขนาดของมอเตอร์และใบพัดที่สอดคล้องกับค่าน้ำหนักที่เราได้กำหนดไว้คือ 2,200 กรัม (21,560 N) โดยผู้วิจัยกำหนดให้ระบบต้นกำลังมีประสิทธิภาพในการสร้างแรงยกได้ 80% หมายความว่า 80% ของแรงยกที่คำนวณได้จะสามารถยกอากาศยานที่น้ำหนักรวมสูงสุดที่เรากำหนดไว้ได้ นั่นคือ

$$0.80T_{\text{Use}} = W_{\text{Total}} \quad (3.2)$$

$$T_{\text{Use}} = \frac{21,560}{0.80}$$

$$\therefore T_{\text{Use}} = 26,950 \quad \text{N}$$

โดย T_{Use} คือ ค่าแรงยกที่ใช้

จากค่าแรงยก T_{Use} ที่ได้จากการคำนวณนี้ เป็นค่าแรงยกทั้งหมดที่มอเตอร์จะสามารถยกได้ ซึ่งอากาศยานที่จะทำการสร้างนี้ เป็นอากาศยานแบบสี่ใบพัด เพราะจะน้ำหนักที่คำนวณได้นั้นจะเป็นแรงยกของมอเตอร์ทั้ง 4 ตัวรวมกัน ดังนั้นเพื่อการเลือกขนาดของมอเตอร์ที่ถูกต้อง จะต้องคิดคำนวณแรงยกของมอเตอร์ต่อหนึ่งตัวเท่านั้น

$$T_{\text{Piece}} = \frac{T_{\text{Use}}}{4} \quad (3.3)$$

$$T_{\text{Piece}} = \frac{26,950}{4}$$

$$\therefore T_{\text{Piece}} = 6,737.50 \quad \text{g}$$

โดย T_{Piece} คือ ค่าแรงยกที่ใช้ต่อมอเตอร์หนึ่งตัว

แต่ในการนำมอเตอร์ไปใช้งานจริงนั้น ค่าแรงยกที่มอเตอร์จะทำงานได้นั้นจะอยู่ในช่วง 40-70% ของแรงยกสูงสุดของมอเตอร์แต่ละตัว ดังนี้ เพื่อจะหาแรงยกสูงสุดของมอเตอร์แต่ละตัว ผู้วิจัยจึงกำหนดให้ค่าแรงยกสูงสุดของมอเตอร์ต่อหนึ่งตัวที่ใช้งานได้อยู่ที่ 70%

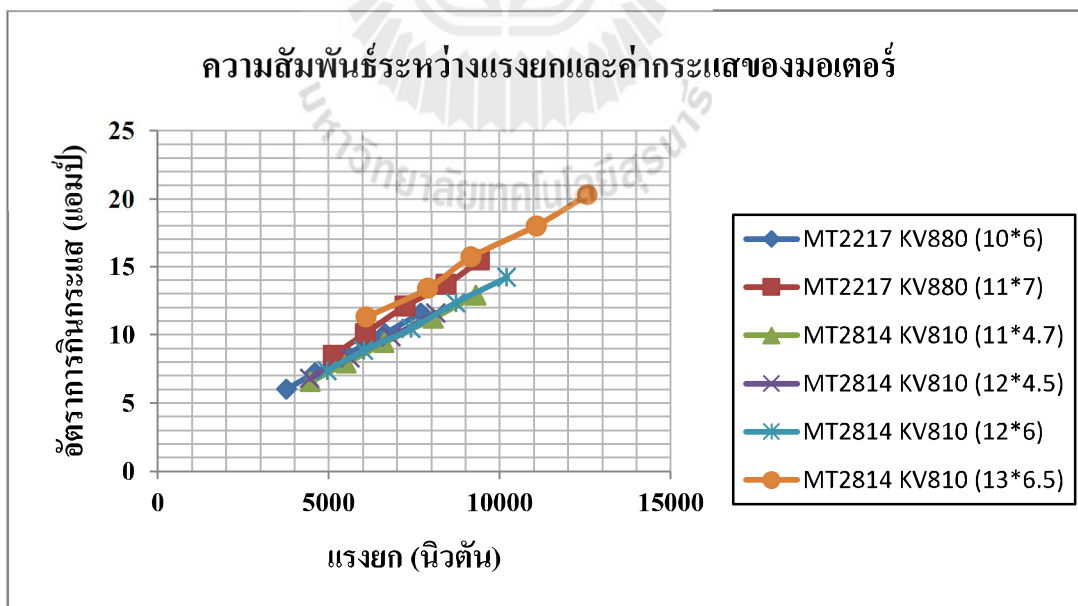
$$0.70T_{\text{Max}} = T_{\text{Piece}} \quad (3.4)$$

$$T_{\text{Max}} = \frac{6,737.50}{0.70}$$

$$\therefore T_{\text{Max}} = 9,625 \text{ N}$$

โดย T_{Max} คือ ค่าแรงยกสูงสุดต่อมอเตอร์หนึ่งตัว

จากการคำนวณ จะได้ค่าแรงยกสูงสุดที่มอเตอร์หนึ่งตัวจะยกอาคารayan ได้อยู่ที่ 9,625 นิวตัน เมื่อได้ค่าแรงยกสูงสุดของมอเตอร์แล้ว นำข้อมูลที่ได้นี้ไปเลือกขนาดของมอเตอร์และใบพัดที่สอดคล้องกัน โดยการเลือกขนาดของมอเตอร์นั้นสามารถทำได้โดยใช้ข้อมูลจากผู้ผลิตหรือจะทำการสุ่มทดลองหาแรงยกของมอเตอร์ แต่สำหรับในงานวิจัยนี้ ผู้วิจัยได้เลือกขนาดมอเตอร์จากข้อมูลของผู้ผลิต ซึ่งในข้อมูลของผู้ผลิตจะแสดงรายละเอียดต่าง ๆ ทั้งข้อมูลทางเทคนิค ค่าแรงยกที่สามารถยกได้ อัตราการกินกระแส เมื่อใช้คู่กับใบพัดแต่ละขนาดและแต่ละประเภท



รูปที่ 3.1 แสดงกราฟความสัมพันธ์ระหว่างแรงยกและค่าอัตราการกินกระแสของมอเตอร์

จากข้อมูลของผู้ผลิต ผู้วิจัยได้พิจารณาจากค่าแรงยก (Thrust) เป็นหลัก โดยทำการสร้างกราฟความสัมพันธ์ระหว่างแรงยกและค่ากระแสของมอเตอร์แต่ละรุ่นที่มีความเป็นไปได้ เพื่อดูความสัมพันธ์เบริยงเทียนของมอเตอร์แต่ละรุ่นที่เราจะทำการเลือก จากกราฟจะพบว่ามอเตอร์รุ่น MT 2814 KV 810 ทดลองคู่กับใบพัดขนาด 11 x 4.7 (เด็นสามเหลี่ยม) ให้ค่าแรงยกอยู่ที่ช่วงตามที่ได้กำหนดไว้คือ 982.14 กรัม และอัตราการกินกระแสต่ำสุดเมื่อเทียบกับแรงยกที่ตำแหน่งเดียวกันก็ มีค่าน้อยสุด ดังนั้นผู้วิจัยจึงเลือกมอเตอร์รุ่น MT 2814 KV 810 คู่กับใบพัด 11 x 4.7



รูปที่ 3.2 แสดงใบพัด ชนิด APC ขนาด 11 x 4.7



รูปที่ 3.3 แสดงมอเตอร์ รุ่น iFlight MT2814 810 KV

เมื่อเลือกขนาดของมอเตอร์และใบพัดได้แล้ว ต่อมาจะทำการหาอัตราการกินกระแสของมอเตอร์ที่สภาวะต่าง ๆ เพื่อเป็นข้อมูลในการคำนวณหาความจุของแบตเตอรี่ที่จะเลือก จ่ายให้กับมอเตอร์ โดยมีหลักการการคำนวณหาอัตราการกินกระแสรวมทั้งหมดดังนี้

กำหนดให้อัตราการกินกระแสรวมทั้งหมด คือ ผลรวมของอัตราการกินกระแสที่ใช้ในการบินขึ้น อัตราการกินกระแสที่ใช้ในการบินโดยตัวเคลื่อนที่ และอัตราการกินกระแสที่ใช้ในการบินลงของอากาศยาน

$$A_{\text{Total}} = A_{\text{Takeoff}} + A_{\text{Hovering}} + A_{\text{Landing}} \quad (3.5)$$

โดย A_{Total} คือ อัตราการกินกระแสรวม
 A_{Takeoff} คือ อัตราการกินกระแสที่ใช้ในการบินขึ้น
 A_{Hovering} คือ อัตราการกินกระแสที่ใช้ในการบินโดยตัวเคลื่อนที่
 A_{Landing} คือ อัตราการกินกระแสที่ใช้ในการบินลง

การหาอัตราการกินกระแสที่ใช้ในการบินขึ้นนั้น เนื่องจากในการบินขึ้นของอากาศยานนั้นจะต้องใช้กำลังหรือแรงยกมากกว่าการลอยตัวอยู่บนอากาศ ดังนั้นผู้วิจัยจึงกำหนดให้ใช้กำลังมากกว่าการบินโดยตัว 30%

$$T_{\text{Takeoff}} = 0.3T_{\text{Piece}} + T_{\text{Piece}} \quad (3.6)$$

$$T_{\text{Takeoff}} = (0.3 \times 6,737.50) + 6,737.50$$

$$\therefore T_{\text{Takeoff}} = 8,758.75 \text{ N}$$

โดย T_{Takeoff} คือ แรงยกที่ใช้ในช่วงการบินขึ้น

จากรูปที่ 3.1 พบร่วมที่แรงยกในช่วงการบินขึ้นที่คำนวณได้นั้น สามารถอ่านค่าอัตราการกินกระแสได้ 12.15 แอมป์ เนื่องจากได้กำหนดเวลาในการบินเป็นนาที และขนาดของแบตเตอรี่จะบอกเป็นมิลลิแอมป์ ดังนั้นเพื่อง่ายต่อการคำนวณ จึงทำการแปลงค่าอัตราการกินกระแสที่ได้จากรูปที่ 3.1 เป็นมิลลิแอมป์ต่อนาที (mA/min)

$$A_{(A)} \times \frac{1 \text{ mA}}{60 \text{ s}} = A_{(\text{mA}/\text{min})} \quad (3.7)$$

$$12.15 \times \frac{1000}{60} = 202.5 \text{ mA}/\text{min}$$

โดย $A_{(A)}$ คือ ค่าอัตราการกินกระแสที่อ่านได้จากกราฟหน่วยเป็นแอมป์
 $A_{(\text{mA}/\text{min})}$ คือ ค่าอัตราการกินกระแสที่มีหน่วยเป็นมิลลิแอมป์ต่อนาที

ผู้วิจัยกำหนดความเร็วของอากาศยานต่อนาทีอยู่ที่ 120 เมตรต่อนาที (2 m/s) ที่ระดับเพดานบิน 40 เมตร เพื่อจะนับเวลาที่ใช้ในการบินขึ้นของอากาศยานคือ 20 วินาที หรือ 0.33 นาที ดังนั้นอัตราการกินกระแสที่ใช้ในการบินขึ้นหาได้จาก ผลคูณของค่ากระแสที่มีหน่วยเป็นมิลลิแอมป์ต่อนาทีกับเวลาที่ใช้ในการบินขึ้น

$$A_{\text{Takeoff}} = A_{(\text{mA}/\text{min})} \times t \quad (3.8)$$

$$A_{\text{Takeoff}} = 202.50 \times 0.33$$

$$\therefore A_{\text{Takeoff}} = 66.83 \text{ mA}$$

โดย A_{Takeoff} คือ อัตราการกินกระแสที่ใช้ในการบินขึ้น

t คือ เวลาที่ใช้ในการบินหน่วยเป็นวินาที

ต่อมาในส่วนของกระแสที่ใช้ในการบินลอยตัวเคลื่อนที่ ในส่วนนี้สามารถใช้ค่าแรงยกต่ำของเตอร์宦นึงตัวหรือ T_{Piece} ที่คำนวณไว้ก่อนหน้านี้ มาใช้ในการคำนวณหาค่าอัตราการกินกระแสที่ใช้ในการบินลอยตัว

$$T_{\text{Hovering}} = T_{\text{Piece}} \quad (3.9)$$

$$\therefore T_{\text{Hovering}} = 6,737.50 \text{ N}$$

จากรูปที่ 3.1 พบว่าที่แรงยกในช่วงการบินลอยตัว สามารถอ่านค่าอัตราการกินกระแสได้ 9.51 แอมป์ ทำการแปลงค่ากระแสเป็นมิลลิแอมป์ต่อนาทีตามสมการ (3.7)

$$9.51 \times \frac{1000}{60} = 158.50 \text{ mA}/\text{min}$$

จากข้อกำหนดในการออกแบบเรื่องเวลาในการบิน ผู้วิจัยได้กำหนดเวลาที่จะใช้ในการออกแบบอยู่ที่ 7 นาที ดังนั้นอัตราการกินกระแสที่ใช้ในการบินลอยตัวเคลื่อนที่ คือ

$$A_{\text{Hovering}} = A_{(\text{mA}/\text{min})} \times t \quad (3.10)$$

$$A_{\text{Hovering}} = 158.5 \times 7$$

$$\therefore A_{\text{Hovering}} = 1,109.50 \text{ mA}$$

โดย A_{Hovering} คือ อัตราการกินกระแสที่ใช้ในการบินลอยตัวเคลื่อนที่

t กีอ เวลาที่ใช้ในการบินหน่วยเป็นวินาที

ในส่วนสุดท้ายคือ อัตราการกินกระแสที่ใช้ในการบินลงของอากาศยาน โดยในส่วนนี้ผู้วิจัยได้ใช้ข้อมูลทางเทคนิคของผู้ผลิตมาใช้ในการคำนวณ คือ ช่วงรอบเดินเบาของมอเตอร์ที่มีอัตราการกินกระแส 0.65 แอมป์ เมื่อทำการแปลงค่ากระแสตามสมการ (3.7) จะได้ว่า

$$0.65 \times \frac{1000}{60} = 10.83 \text{ mA/min}$$

ผู้วิจัยได้กำหนดความเร็วในการบินลงของอากาศยานอยู่ที่ 36 เมตรต่อนาที (0.6 m/s) เพราะฉะนั้นในช่วงการบินลงของอากาศยานจะใช้เวลาคือ 66.67 วินาที หรือ 1.11 นาที

$$A_{Landing} = A_{(\text{mA/min})} \times t \quad (3.11)$$

$$A_{Landing} = 10.83 \times 1.11$$

$$\therefore A_{Landing} = 12.02 \text{ mA}$$

โดย $A_{Landing}$ กีอ อัตราการกินกระแสที่ใช้ในการบินลง

t กีอ เวลาที่ใช้ในการบินหน่วยเป็นวินาที

ดังนั้นจากสมการ (3.5) จะหาค่าอัตราการกินกระแสรวมทั้งหมดได้ คือ

$$A_{Total} = 66.83 + 1109.50 + 12.02$$

$$\therefore A_{Total} = 1,188.35 \text{ mA}$$

โดย A_{Total} กีอ อัตราการกินกระแสรวม

จากค่าอัตราการกินกระแสรวมที่คำนวณได้นั้น เป็นอัตราการกินกระแสของมอเตอร์เพียงตัวเดียวเท่านั้น แต่เนื่องจากอากาศยานที่ต้องการสร้างเป็นชนิดสี่ใบพัด ดังนั้นค่าอัตราการกินกระแสที่คำนวณได้นั้นจะต้องคูณกับจำนวนมอเตอร์ที่ใช้งาน จะได้

$$A_{Total} = 1,188.35 \times 4$$

$$\therefore A_{Total} = 4,753.40 \text{ mA}$$

จากค่าอัตราการกินกระแสรวมที่คำนวณได้นั้น จะทำให้เราทราบถึงขนาดความจุของแบตเตอรี่ที่ต้องการ ซึ่งแบตเตอรี่ที่จะเลือกนั้นต้องมีขนาดความจุโดยประมาณไม่ต่างกว่า 4,753.40 mA เพื่อความปลอดภัยผู้วิจัยจึงเลือกขนาดความจุของแบตเตอรี่ที่ใกล้เคียงกับที่คำนวณได้คือเลือกแบตเตอรี่ชนิด LiPo ที่มีขนาดความจุ 5,000 mAh



รูปที่ 3.4 แสดงแบตเตอรี่ขนาด Turnigy 5000 mAh

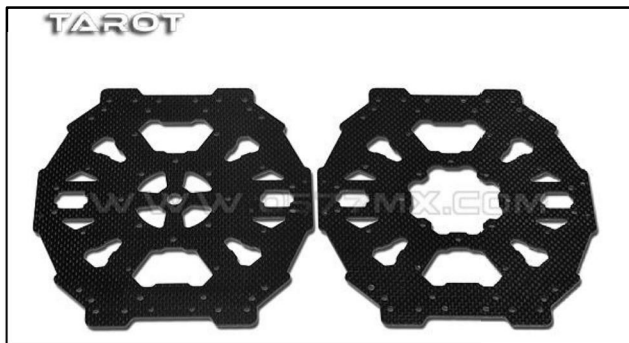
3.2.2 ระบบโครงสร้าง

ระบบโครงสร้างหรือตัวลำของอากาศยาน คือ โครงสร้างหลักของอากาศยานที่มีหน้าที่รับน้ำหนักของอุปกรณ์ต่าง ๆ สามารถออกแบบได้หลายรูปแบบตามความสวยงามและการใช้ประโยชน์ แต่เน้นความแข็งแรงและน้ำหนักเบาเป็นหลัก

การออกแบบในส่วนของโครงสร้างจุดที่สำคัญที่สุด คือ เรื่องของน้ำหนัก โครงสร้างที่ทำการออกแบบนั้นจะต้องเลือกใช้วัสดุที่มีน้ำหนักเบาแต่มีความแข็งแรง เพื่อให้สามารถรับน้ำหนักของอุปกรณ์ต่าง ๆ ได้และรับแรงบิดของมอเตอร์ได้ดีโดยไม่มีการบิดตัว สามารถรับแรงสั่นสะเทือนจากมอเตอร์ได้ดี ซึ่งผู้วิจัยได้แบ่งการออกแบบโครงสร้างออกเป็น 2 ส่วน คือ ส่วนโครงสร้างหลักและส่วนแขน

- ส่วนโครงสร้างหลัก

ในส่วนนี้ผู้วิจัยเลือกใช้วัสดุคาร์บอนไฟเบอร์ ชนิดแผ่น ขนาด 160×140 มิลลิเมตร หนา 1.6 มิลลิเมตร ซึ่งส่วนนี้ใช้ขนาดใหญ่พอดีกับความกว้างของอุปกรณ์ต่าง ๆ โดยมีลักษณะดังรูป 3.5



รูปที่ 3.5 แสดงส่วนของโครงสร้างหลัก

- ส่วนแขน

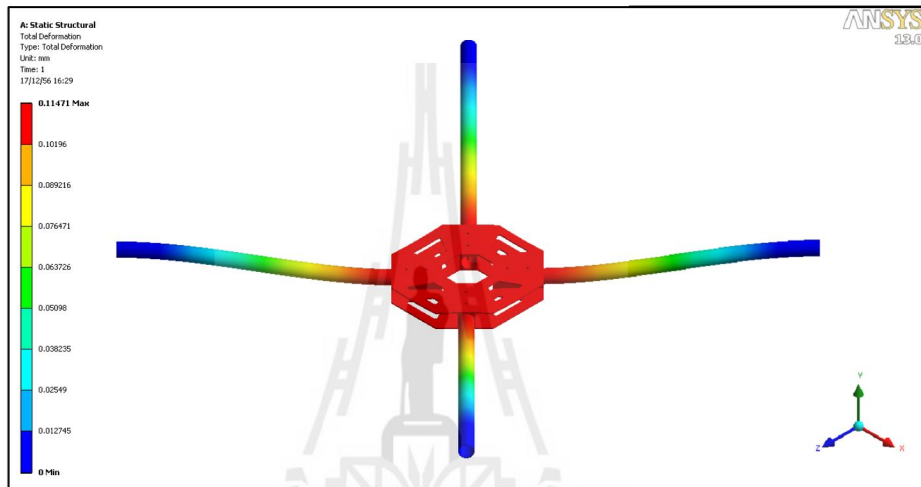
ในส่วนนี้จะใช้ชุดติดกับแท่นของมอเตอร์ ดังนั้นเพื่อลดแรงถันสะเทือนจากมอเตอร์และรองรับแรงบิดของมอเตอร์ได้ดีโดยไม่มีการบิดตัว ผู้วิจัยจึงเลือกใช้วัสดุคาร์บอนไฟเบอร์ ชนิดท่อ เพราะจะมีความแข็งแรงมากกว่านิดแพ่น ซึ่งขนาดความยาวของส่วนแขนจะต้องนำขนาดของใบพัดมาคิดคำนวณด้วย โดยขนาดของใบพัดที่ได้จากการเลือกให้สอดคล้องกับมอเตอร์มีขนาด 11 นิ้ว หรือ 279.4 มิลลิเมตร ดังนั้นขนาดของส่วนแขนควรจะมีความยาวมากกว่า 279.4 มิลลิเมตร ผู้วิจัยจึงกำหนดให้ระยะห่างระหว่างใบพัดกับโครงสร้างหลักไม่น้อยกว่า 2 นิ้ว หรือ 50.8 มิลลิเมตร เพราะจะน้ำหนักของส่วนแขนที่จะทำการเลือกใช้มีเส้นผ่าศูนย์กลาง 16 มิลลิเมตร ยาว 330 มิลลิเมตร ซึ่งถ้าวัดขนาดจากแกนมอเตอร์(ติดตั้งที่ส่วนปลายแขน) ถึงแกนมอเตอร์ผ่านตรงข้าม จะได้ขนาดของโครงสร้าง 650 มิลลิเมตร ดังรูป 3.6



รูปที่ 3.6 แสดงส่วนแขนของอากาศยาน

ผู้จัดได้เลือกใช้ชิ้นส่วนที่มีจำนวนห้องตลาด โดยจะเลือกให้ได้ขนาดและรูปทรงให้ตรงตามที่ได้ออกแบบมา เพื่อให้สะดวกต่อการใช้งาน และได้ขนาดของชิ้นงานที่ได้มาตรฐาน

ในการคำนวณความแข็งแรงและหากการโถ่ลง ผู้จัดทำการวิเคราะห์หาค่าการโถ่ลงจากโปรแกรม ANSYS โดยได้กำหนดน้ำหนักล่วงลงที่กางลำหรือบริเวณโครงสร้างหลักด้วยค่าแรง 40 นิวตัน โดยไม่คิดน้ำหนักของมอเตอร์และใบพัดที่บริเวณปลายแขน



รูปที่ 3.7 แสดงภาพการวิเคราะห์โครงสร้างด้วยโปรแกรม ANSYS

จากการวิเคราะห์หาค่าการโถ่ลงที่ได้จากโปรแกรม ANSYS ดังรูปที่ 3.7 ค่าโถ่ลงสูงสุดมีค่าอยู่ที่ 0.1147 มิลลิเมตร โดยค่าแรง 40 นิวตัน ที่กางลงบนโครงสร้างหลักเป็นเพียงค่าแรงที่เกิดจากการสมมุติเท่านั้น ซึ่งเป็นค่าแรงที่มากกว่าความเป็นจริงที่จะใช้งาน ดังนั้นการโถ่ลงจริงจะเกิดขึ้นเพียงเล็กน้อยเท่านั้น ซึ่งถือว่าเป็นค่าที่ยอมรับได้

3.2.3 ระบบควบคุม

ระบบควบคุม กือ ส่วนที่ใช้ในการควบคุมการบินของอากาศยาน เป็นส่วนสำคัญที่มีหน้าที่ทำให้อากาศยานสามารถบินได้ ไม่ว่าจะเป็นการลอยตัวอยู่ในอากาศ การบินขึ้น-ลง ช่วยควบคุมการบินเดินทางทั้งแบบปกติและแบบอัตโนมัติ

ในส่วนของการควบคุมถือว่าเป็นหัวใจหลักของอากาศยาน หน้าที่ควบคุมเสถียรภาพในการบินของอากาศยานทั้งหมด ไม่ว่าจะเป็น ควบคุมระดับความเอียง (Altitude Control) ควบคุมความสูง (Altitude Control) ควบคุมตำแหน่ง (Position Control) ควบคุมทิศทาง (Heading Control) และนำทางการบิน (Navigation) การสามารถรับ-ส่งสัญญาณหรือข้อมูลใน

การบิน โดยผู้วิจัยได้เลือกใช้คอนโทรลเลอร์ (Controller) รุ่น APM 2.6 without Compass ของค่าย 3D Robotics ซึ่งรายละเอียดภายในคอนโทรลเลอร์จะกล่าวในภาคพนวก ในส่วนของโปรแกรมผู้วิจัยเลือกมาติดตั้งคือ โปรแกรม Mission Planer ซึ่งเป็นโปรแกรมที่ง่ายต่อการใช้งาน มีรูปแบบที่สวยงาม และครอบคลุมการทำงานในหลายส่วน สำหรับกฎการควบคุมที่ใช้คือ PID (Proportion Integral Derivative Control) ซึ่งการบินจะมีเสถียรภาพจะต้องมีการปรับค่าตัวแปรของตัวควบคุม PID (Proportion Integral Derivative Control) เพื่อให้การบินมีเสถียรภาพมากที่สุด



รูปที่ 3.8 แสดง Control Board รุ่น APM 2.6

3.3 การปรับตั้งค่า PID

การปรับตั้งค่าจะใช้หลักการสังเกตพฤติกรรมของอากาศยานว่ามีลักษณะการตอบสนองอย่างไร เมื่อถอยตัวอยู่นิ่ง ๆ และเมื่อถูกรบกวนจากภายนอก การปรับค่า PID ของแกนในระบบ Pitch และ Roll จะให้ผลที่คล้ายคลึงกัน มีการปรับเพื่อให้การทรงตัวมีความเสถียรภาพ หากค่าน้อยเกินไปจะไฟล์ไฟล์ลง และถ้ามากเกินไปจะเกิดการกระเพื่อมขึ้น อาจจะทำให้ระบบขาดเสถียรภาพได้ ส่วนการปรับค่า PID ที่ Yaw จะปรับเพื่อป้องกันไม่ให้เกิดการหมุนตัวของอากาศยาน ค่า PID ของ Yaw ที่มากจนเกินไปจะส่งผลต่อการบิน

ข้อควรระวัง ในระหว่างการปรับค่าต่าง ๆ นักบินทดสอบต้องมีประสบการณ์ในการบิน เพื่อป้องกันความเสียหาย ทั้งการบาดเจ็บจากอุบัติเหตุ และความเสียหายจากการตกของอากาศยาน หรืออาจจำต้องทำงานแทนทดสอบเบื้องต้นก่อน จึงทำการทดสอบบินจริง

● การปรับค่า PID แนวแกน Roll และ Pitch

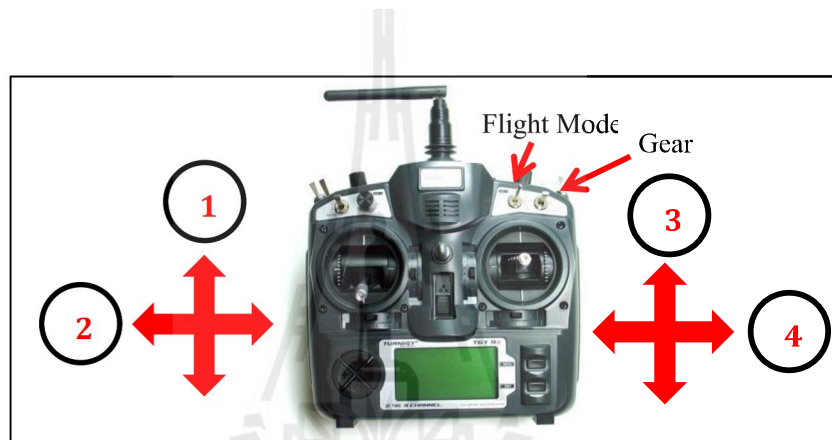
- เมื่อทำการบิน ถ้าหาก Gain P มีค่าต่ำเกินไป แกน Pitch และ Roll จะขยับขึ้นลงช้าๆ ในทางตรงกันข้าม ถ้าหาก Gain สูงเกินไป แกน Pitch และ Roll จะขยับขึ้นเร็วๆ (อาการสะบัดขึ้นลงอย่างรวดเร็ว และเป็นจังหวะช้าๆ)
- เมื่อปรับ Gain P จน Hovering นิ่งแล้ว ทดสอบโดยซ้าย ขวา หน้า หลัง แล้วหยุดถ้ามีอาการกระเพื่อมเมื่อหยุด แสดงว่า Gain D มีค่าสูงเกินไป แต่ถ้ามีอาการหยุดช้าหรือเลยตำแหน่งไปแสดงว่า Gain D มีค่าต่ำเกินไป
- การปรับ Gain I เมื่อทำการหยุดโดยแล้ว แกนต่างๆ กลับคืนสู่แนวระดับแสดงว่าค่า Gain I ต่ำเกินไป แต่ถ้าเลยตำแหน่งหรือว่ามีอาการไหลไปรีอยๆ แสดงว่า Gain I สูงเกินไป
- การเพิ่ม Gain P จะทำให้อากาศยานมีเสถียรภาพมากขึ้น จนมีอาการแกว่ง(Oscillation) วิธีการลด Oscillation โดยไม่ทำให้ขาดเสถียรภาพเพิ่มคือ เพิ่ม Gain D (ทางลบ) เพื่อลด Oscillation นี้
- การบินที่เน้นเสถียรภาพเมื่อไม่มี Accelerometer วัดความเรอิง โดยปกติจะปรับเฉพาะ P และ D ส่วน I เป็น 0 หรือเข้าใกล้ 0
- การบินแบบ Aerobatic ให้ลด Gain P และ D ต่ำลง อากาศยานจะตอบสนองต่อการบังคับไว้ขึ้น

● การปรับค่า PID แนวแกน YAW

- การปรับใช้หลักการเดียวกันกับการปรับ gain ทางของเซลิกอปเตอร์
- ถ้า Gain P ต่ำเกินไปจะมีอาการหมุนในแนวแกน YAW
- ถ้า Gain P สูงเกินไปจะมีอาการทางสะบัด หรือมีอาการควบคุมด้วยมือลำบากตอบสนองช้า และมีการหมุนในทิศทางตรงกันข้ามกับ Gain ต่ำ
- Gain I จะช่วยเรื่องการจำตำแหน่งเดิม ถ้าสูงเกินไปอาจจะมีอาการไหล เช่นเดียวกัน
- ทรงอากาศยานในโหมดปกติบินได้นิ่ง หลังจากนั้นเข้าโหมด ALT (Altitude Hold) สังเกตอาการแล้วนำเครื่องลง ดับมอเตอร์โดยยกคันเร่งไปช้ายสุด หากอากาศยานไปทางซ้าย ขวา หน้าหรือหลัง ด้านใดมาก ให้ยกคันเร่งขึ้น (มอเตอร์จะไม่หมุน) โดย elevator หรือ aileron ไปด้านตรงข้าม ทีละขั้นแล้วทดสอบบินทำซ้ำจนบินได้นิ่ง
- เมื่อบินในโหมด Altitude Hold ได้นิ่งแล้ว ให้ปรับตั้งค่าในโหมดอื่นๆ ต่อไป

3.4 การออกแบบชุดควบคุมวิทยุบังคับ

โดยปกติแล้วอากาศยานแบบสี่ใบพัด ที่ติดตั้งระบบบินขึ้น-ลงแบบอัตโนมัตินี้ จะมีระบบคอมพิวเตอร์สั่งการผ่านโปรแกรม Mission Planner ให้อากาศยานสามารถบินไปตามตำแหน่งที่ได้ตั้งตามพิกัดในแผนที่ (Google Earth) ที่สามารถกำหนดความสูงและความเร็วในการบินได้ แต่ในทุกระบบต้องมีชุดช่วยการบินอัตโนมัติและสามารถบังคับด้วยมือได้ ดังนี้เพื่อความปลอดภัยจึงต้องมีวิทยุบังคับเพื่อช่วย แต่ก็มีบางคำสั่งที่ยังต้องทำการควบคุมผ่านวิทยุบังคับ ซึ่งในส่วนนี้ทางวิจัยจึงได้ทำการออกแบบชุดอุปกรณ์เพื่อควบคุมคันบังคับในส่วนนี้ เพื่อให้อากาศยานสามารถบินขึ้น-ลงได้อย่างไร้การควบคุมจากมนุษย์



รูปที่ 3.9 แสดงการควบคุมวิทยุบังคับ

ในการควบคุมการทำงานของวิทยุบังคับ จะมีอยู่ 2 โหมด ซึ่งแตกต่างกันที่ลักษณะของการตั้งค่าเพื่อควบคุมการบินของอากาศยาน ทางผู้วิจัยได้เลือกการควบคุมแบบ Mode 2

Mode 2 : เป็นโหมดที่นิยมใช้ในการควบคุมอากาศยานหลายใบพัด นิยมใช้กันมากในประเทศไทยและอเมริกา และในประเทศไทย มีลักษณะการควบคุมคันบังคับดังรูปที่ 3.9

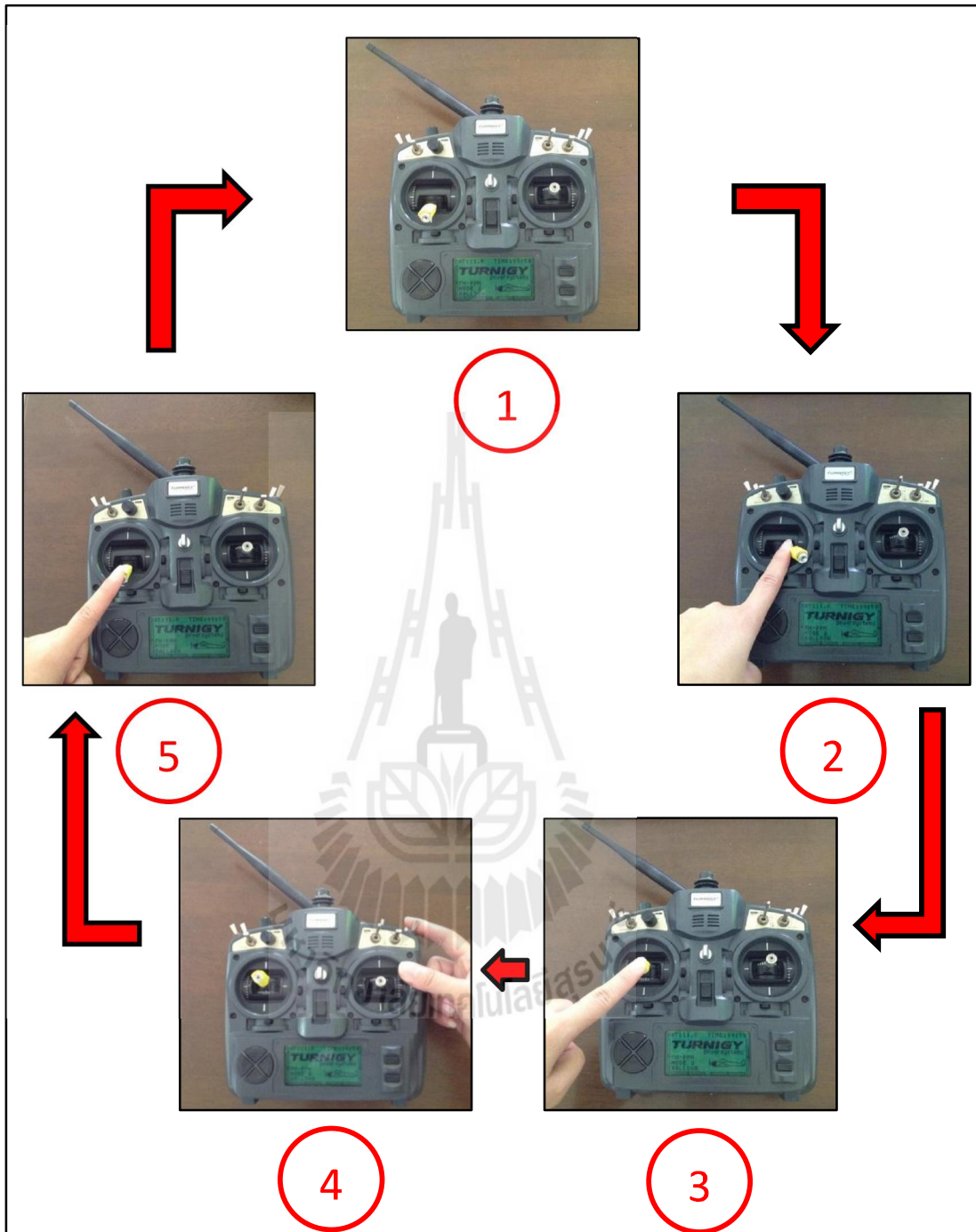
1. ขึ้น/ลง กำหนดเป็น Throttle
2. ซ้าย/ขวา กำหนดเป็น Rudder
3. ขึ้น/ลง กำหนดเป็น Elevator
4. ซ้าย/ขวา กำหนดเป็น Aileron

ในการออกแบบชุดอุปกรณ์เพื่อควบคุมการทำงานของวิทยุบังคับนี้ จะสนใจเฉพาะการสั่งงานเพื่อสั่งให้มอเตอร์หมุน (Armed) หรือตัดการทำงาน (Disarmed) เร่งคันเร่ง (Throttle) ซึ่งการสั่งงานที่กล่าวมานี้จะใช้คันบังคับด้านซ้าย และการเปลี่ยน Flight Mode จาก Stabilize เป็น Auto จะใช้เป็นสวิตช์ Gear โดยในการควบคุมคันบังคับด้วยซ้ายนี้ จะใช้การเคลื่อนที่ทั้งสองแกน

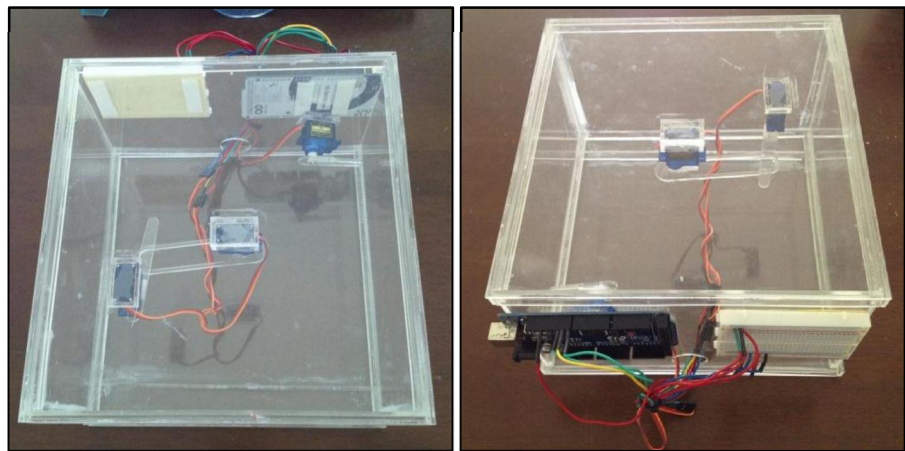
ส่วนสวิทช์ Gear จะเกลื่อนที่เพียงแกนเดียว ดังนั้นผู้วิจัยจึงเลือกใช้เซอร์โวทั้งหมด 3 ตัว เพื่อมาควบคุมคนบังคับและสวิทช์ Gear แต่เพื่อให้วิทยุบังคับยังสามารถควบคุมด้วยมือได้ดังเดิม ผู้วิจัยจึงทำการสร้างกล่องสำหรับติดตั้งเซอร์โวเพื่อรองรับไปบนวิทยุบังคับ

สำหรับชุดอุปกรณ์เพื่อควบคุมการทำงานของวิทยุบังคับนั้น จะต้องมีโปรแกรมสำหรับสั่งการทำงานของเซอร์โว ให้เกลื่อนที่ไปตามมุมองศาที่กำหนด ผู้วิจัยได้เลือกใช้โปรแกรม LabVIEW interface for Arduino เพื่อควบคุมเซอร์โวตามลำดับขั้นตอนในการสั่งงาน โดยมีขั้นตอนการควบคุมวิทยุบังคับตามรูปที่ 3.10

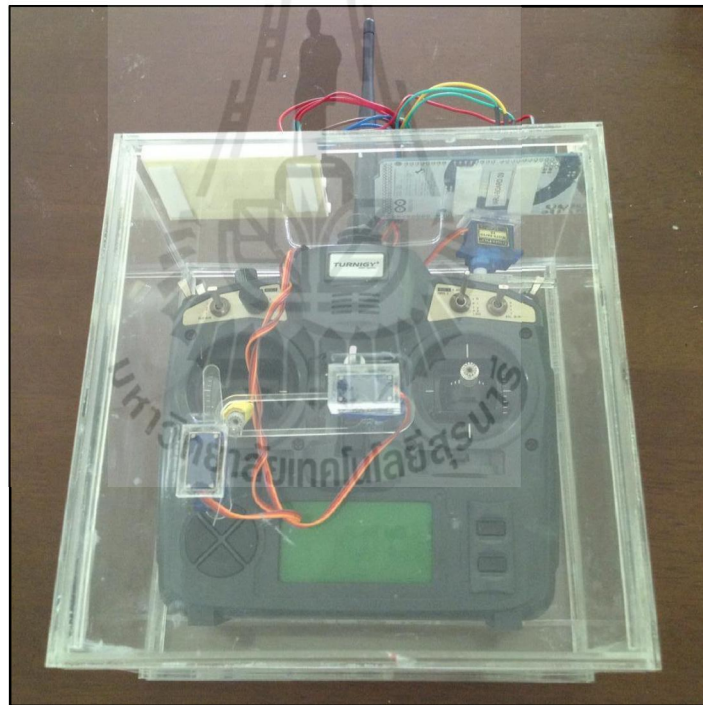
1. แสดงตำแหน่งเริ่มต้นของวิทยุบังคับ
2. ทำการ Armed Motor ใน Stabilize Mode โดยให้คนบังคับอยู่ต่ำสุด แล้วบังคับไปทางขวาสุดประมาณ 5-10 วินาที
3. เมื่อ Armed Motor เรียบร้อยแล้ว มองเตอร์จะทำการหมุน แต่อากาศยานยังไม่มีการยกตัวขึ้น ดังนั้นจึงทำการเร่ง Throttle ขึ้น เพื่อให้มอเตอร์มีกำลังมากขึ้น อากาศยานจะทำการยกตัวขึ้นจากพื้นดิน
4. เมื่ออากาศยานเริ่มมีแรงยก จึงทำการสับสวิทช์ Gear เพื่อเปลี่ยนสถานะ Flight Mode จาก Stabilize Mode เป็น Auto Mode
5. เมื่อเข้าสู่ Auto Mode อากาศยานจะทำการขึ้นบินไปตามตำแหน่งที่ได้ตั้งพิกัดไว้ในระหว่างนี้ให้ทำการลด Throttle ลงต่ำสุด เพื่อให้ระบบทำการ Disarmed Motor เมื่ออากาศยานทำการลงจอด



รูปที่ 3.10 แสดงขั้นตอนการควบคุมวิทยุบังคับ



รูปที่ 3.11 แสดงกล่องครอบวิทยุบังคับพร้อมติดตั้งเซอร์โว



รูปที่ 3.12 แสดงชุดอุปกรณ์ควบคุมวิทยุบังคับ

บทที่ 4

ผลการวิจัย

ในบทนี้จะกล่าวถึงการนำเสนอผลการดำเนินการสร้างอากาศยานสี่ใบพัดที่บังคับการเคลื่อนที่ด้วยตนเองสำหรับบินส่งเอกสารระหว่างอาคาร โดยจะเริ่มต้นจากการออกแบบระบบต้นกำลัง ในส่วนนี้ได้กำหนดเวลาในการบินและระดับเพดานบินมาช่วยในการออกแบบ เพื่อใช้เป็นข้อมูลในการเลือก มอเตอร์ ใบพัด ชุดควบคุมความเร็วรอบแบบอิเล็กทรอนิกส์ (ESC) และแบตเตอรี่ ส่วนต่อมาทำการออกแบบระบบโครงสร้าง ระบบควบคุม และชุดควบคุมวิทยุบังคับ เมื่อได้อุปกรณ์ต่าง ๆ ตามที่ได้ออกแบบแล้วนั้น จึงนำมาสร้างเป็นอากาศยานต้นแบบ เพื่อนำไปบินทดสอบอุปกรณ์ที่เหมาะสมกับการใช้งานจริง โดยกระบวนการวิจัยนี้ได้แบ่งการทดสอบออกเป็น 2 ระบบ คือระบบการควบคุมอากาศยานด้วยวิทยุบังคับ และระบบการควบคุมแบบอัตโนมัติ

ดังนั้นเมื่อนำผลที่ได้จากการทดสอบการบินมาวิเคราะห์และปรับปรุงแก้ไขจนกระทั่งได้ผลตามวัตถุประสงค์แล้วนั้น ทำให้ได้อาอากาศยานสี่ใบพัดที่บังคับการเคลื่อนที่ด้วยตนเองสำหรับบินส่งเอกสารระหว่างอาคาร ดังรูปที่ 4.1



รูปที่ 4.1 แสดงอากาศยานต้นแบบสี่ใบพัดสำหรับบินส่งเอกสาร

4.1 ผลการออกแบบอากาศยานต้นแบบลำที่ 1

ในการออกแบบอากาศยานต้นแบบลำที่ 1 นั้น ไม่ได้มีการกำหนดเงื่อนไขของน้ำหนักบรรทุก (Payload) เข้ามาเกี่ยวข้อง มีเพียงการกำหนดน้ำหนักร่วมทั้งหมดของตัวอากาศยาน ไม่เกิน 1,500 กรัม โดยในการออกแบบนั้นทางผู้วิจัยได้ทำการใช้โปรแกรม eCalc ซึ่งเป็นโปรแกรมที่ใช้คำนวณ ประเมิน และออกแบบ ระบบต้นกำลังของ Multicopter เข้ามาช่วยในการเลือกใช้อุปกรณ์

The screenshot shows the eCalc Multicopter Calculator software interface. The General section includes fields for Motor Cooling (medium), # of Rotors (4), Model Weight (1500 g), Field Elevation (500 m ASL), Air Temperature (25 °C), and Pressure (QNH) (1013 hPa). The Battery Cell section shows Type (LiPo 3300mAh - 35/50C), Configuration (3S 1P), Cell Capacity (3300 mAh), Total Capacity (3300 mAh), Resistance (0.0045 Ohm), Voltage (3.7 V), C-Rate (35), and Weight (50 g). The Controller section includes Type (max 30A) and cont. Current (30 A). The Motor section shows Manufacturer (X-Team) and Type (XTO-2213-22T (930)). The Propeller section includes Type (APC SlowFly SF) and dimensions (Diameter 10 inch, Pitch 4.5 inch). The Remarks section contains detailed battery and motor parameters. On the right side, there are sections for Total Drive (Drive Weight 735 g), Multicopter (All-up Weight 1500 g), and various performance metrics like Current @ Hover, Efficiency @ Hover, and Specific Thrust.

รูปที่ 4.2 แสดงหน้าโปรแกรม eCalc ที่คำนวณระบบต้นกำลังของอากาศยานต้นแบบลำที่ 1

4.1.1 อุปกรณ์ที่ได้จากการออกแบบ

จากผลของการคำนวณระบบต้นกำลังจากโปรแกรม eCalc และการออกแบบระบบโครงสร้างและระบบควบคุม ผู้วิจัยได้เลือกใช้อุปกรณ์ดังนี้

1. Motor : My Stery A2212-15 KV 930 Outrunner Brushless Motor
2. ESC : ZTW AL-ZTW 30 A
3. Propeller : APC SlowFly 10x45
4. Battery : Lipo 3300 mAh 3s 35/50C
5. Frame : Aluminum and Carbon Fiber
6. Multi-Rotor Control Board : APM 2.5
7. GPS : GTPA 010

8. Telemetry : RCTimer Radio Telemetry Kit 915 MHz

9. Receiver : FlySky FS-R8B 2.4 GHz 8CH Receiver

10. Remote Control : FlySky FS-TH9X



รูปที่ 4.3 แสดงอากาศยานต้นแบบลำที่ 1

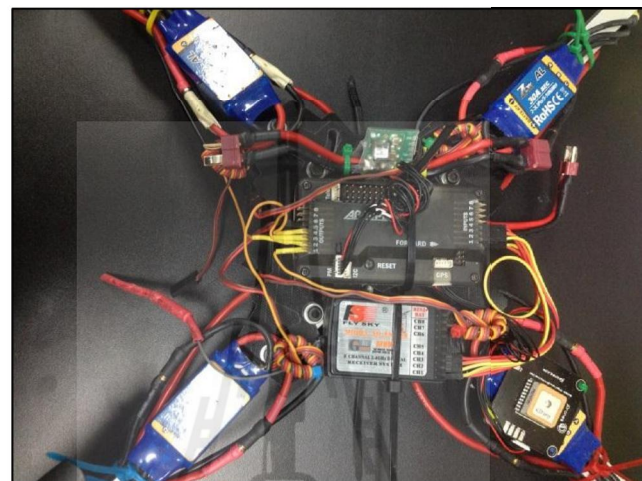
4.1.2 ผลการทดสอบการบิน

เมื่อเดือกอุปกรณ์ที่จะสร้างอากาศยานเรียบร้อยแล้ว จึงทำการประกอบและขัดรวมอุปกรณ์ต่าง ๆ ได้ดังรูปที่ 4.3 จากนั้นจึงนำไปทดสอบการบินทั้งควบคุมด้วยวิทยุและบินแบบอัตโนมัติ ในการทดสอบการบินพบว่ามีปัญหาเกิดขึ้นหลายสาเหตุ โดยจะแสดงรายละเอียดของปัญหาและการแก้ไขเป็นกรณี ๆ ไป

- อากาศยานขาดเสถียรภาพในการบิน (บินไม่นิ่ง) และบินหลงทาง ถึงแม้ว่าจะทำการปรับแก้ค่า PID ด้วยวิธี Auto Tune

สาเหตุ 1 : เกิดจาก Compass ที่อยู่ใน Control Board มีการทำงานผิดพลาดเนื่องจากถูกบញกวนจากสัญญาณของอุปกรณ์อิเล็กทรอนิกส์และมอเตอร์ที่อยู่รอบ ๆ Control Board จากรูปที่ 4.4 จะพบว่าการขัดรวมอุปกรณ์ทั้ง ESC Receiver และ Power Module อยู่ใกล้ Control Board มากเกินไป และ GPS ไม่ควรวางบน ESC เมื่อนำไปทดสอบค่า Mag Field (Magnetic Field) ที่รับกวน Compass ที่อยู่ใน Control Board พบร่วมกันมากถึง 45%

การแก้ไขปัญหา : ทำการติดตั้ง Control Board ให้อยู่ในตำแหน่งที่ไม่ใกล้กับอุปกรณ์ โดยทำการจัดวางอุปกรณ์ต่างๆ ใหม่ดังรูปที่ 4.5 เพื่อลดค่า Mag Field (Magnetic Field) ที่รบกวน Compass ให้น้อยลง โดยเลื่อนให้ ESC มาอยู่ที่ปลายแขน บ่าย Power Module ลงมาอยู่ใต้ลำเพื่อเพิ่มระยะห่างของสัญญาณจากแบตเตอรี่ เนื่องจาก Main Plate มีขนาดเล็กจึงทำให้ไม่มีพื้นที่สำหรับวางมanganin จึงจำเป็นต้องวาง Receiver ไว้ในตำแหน่งเดิม แต่อย่าให้ติดกัน



รูปที่ 4.4 แสดงการจัดวางอุปกรณ์ก่อนการแก้ไข



รูปที่ 4.5 แสดงการจัดวางอุปกรณ์หลังการแก้ไข

สาเหตุ 2 : การสั่นสะเทือนของ Control Board จะเป็นอีกหนึ่งปัจจัยที่เป็นการรบกวนระบบ เพราะ Control Board APM 2.5 ใช้เซนเซอร์วัดอัตราเร่งมาคำนวณระบบ

การแก้ไขปัญหา : ติดตั้งตัวกันสั่นสะเทือนหรือใช้การสองหน้าชนิดโฟม มาติดที่ใต้ Control Board ดังรูปที่ 4.6



รูปที่ 4.6 แสดงการติดโฟมเพื่อลดการสั่นสะเทือนของ Control Board

- เมื่อปรับเข้าสู่โหมด ALT_Hold (Auto Altitude) อากาศยานไม่สามารถล็อกความสูงหรือรักษาระดับการบินได้

สาเหตุ : เกิดจาก การออมิเตอร์ มีลมจากใบพัดหรือในอากาศไหลผ่านเข้ามารบกวน จึงทำให้ความดันอากาศแปรปรวน การคำนวณความสูงไม่เที่ยงตรง ส่งผลให้มีผลต่อการบิน

การแก้ไขปัญหา : นำฟองน้ำหนาๆที่พ่อระบายน้ำใส่进去ปิดในส่วนของบารอ米เตอร์



รูปที่ 4.7 แสดงการนำฟองน้ำมาปิดบารอ米เตอร์

- ในการทดสอบการบินแบบอัตโนมัติ เครื่องรับสัญญาณ GPS จับสัญญาณได้ไม่เสถียร เกิดอาการ Failsafe GPS ในขณะที่อยู่ใน Auto Mode และเนื่องจาก Throttle อยู่ในตำแหน่งต่ำสุด จึงทำให้อากาศยานตกกระห่วงบิน

สาเหตุ : สภาพอากาศมีผลอย่างยิ่งต่อการรับสัญญาณ GPS เพราะเมื่อเครื่องรับ GPS รับสัญญาณจากดาวเทียมมาแล้ว จะทำการคำนวณค่าตำแหน่งพิกัดที่อยู่บนโลกความสูงและความเร็ว หากเครื่องรับ GPS สามารถรับสัญญาณได้แรง สามารถรับค่าจากดาวเทียมได้หลายดวง จะยังทำให้การคำนวณพิกัดแม่นยำมากขึ้น แต่เมื่อสภาพอากาศไม่เอื้ออำนวยและเครื่องรับสัญญาณ GPS รับสัญญาณได้อ่อน จะเป็นผลให้การคำนวณพิดพลดาด ส่งผลให้ไม่สามารถบินแบบอัตโนมัติได้

การแก้ไขปัญหา : ให้บินในสภาพอากาศที่ปลอดโปร่ง สำหรับ GPS ให้ลองตรวจสอบค่า HDop ซึ่งเป็นค่าความแม่นยำของ GPS โดยจะต้องมีค่าต่ำกว่า 2 ถึงจะอยู่ในเกณฑ์ที่ดี ลองบินใน Loiter Mode เพื่อตรวจสอบการล็อกพิกัดของ GPS ถ้าไม่ล็อกพิกัด GPS อาจจะเป็นไปได้ที่เครื่องรับสัญญาณ GPS มีปัญหา อาจจะต้องเปลี่ยนตัวใหม่

- ชุดควบคุมความเร็วรอบแบบอิเล็กทรอนิกส์ (ESC) ใหม่ ทำให้อากาศยานตกกระห่วงบิน

สาเหตุ : เนื่องจากเปลี่ยนขนาดใบพัดจาก APC 10x45 เป็น APC 13x10E ซึ่งต้องใช้คุ้กบันมอเตอร์ My Stery A2212-15 KV 930 Outrunner Brushless Motor และ ESC 30 A ส่งผลให้ขนาดของใบพัดไม่เหมาะสมกับขนาดของมอเตอร์ จึงทำให้มอเตอร์ร้อนและ ESC ใหม่

การแก้ไขปัญหา : เปลี่ยนใบพัดใหม่มีขนาดเหมาะสมกับมอเตอร์

4.2 ผลการออกแบบอากาศยานต้นแบบลำที่ 2

เนื่องจากในการออกแบบอากาศยานต้นแบบลำที่ 1 นั้น มีปัญหาที่เกิดขึ้นดังที่ได้กล่าวไว้ในหัวข้อก่อนหน้านี้ ดังนั้นทางผู้วิจัยจึงได้ทำงานออกแบบอากาศยานต้นแบบขึ้นใหม่เป็นลำที่ 2 โดยเพิ่มเงื่อนไขว่าอากาศยานที่ได้ทำการออกแบบนั้นจะต้องสามารถขนส่งเอกสารระหว่างอาคารได้โดยมีการกำหนดขนาดของน้ำหนักบรรทุก (Payload) ไม่เกิน 200 กรัม และกำหนดน้ำหนักร่วมทั้งหมดของตัวอากาศยานไม่เกิน 2,000 กรัม เมื่ออากาศยานต้องบินส่งเอกสารระหว่างอาคาร เวลาในการบินถือเป็นข้อมูลที่สำคัญสำหรับการคำนวณเพื่อเลือกใช้แบตเตอรี่ให้เหมาะสม ผู้วิจัยจึงกำหนดเวลาในการบินอยู่ที่ 7 นาที

4.2.1 อุปกรณ์ที่ได้จากการออกแบบ

จากผลของการคำนวณระบบต้นกำลัง ระบบโครงสร้าง และระบบควบคุม ที่ได้กล่าวมาแล้วในบทที่ 3 ผู้วิจัยได้เลือกใช้อุปกรณ์ดังนี้

1. Motor : iFlight iPower MultiMate MT2814 KV 810
Outrunner Brushless DC Motor
2. ESC : T-Motor T40A Pro
3. Propeller : APC SlowFly 11x47
4. Battery : Lipo 5000 mAh 3s 35/50C
5. Frame : Carbon Fiber
6. Multi-Rotor Control Board : APM 2.6
7. GPS : 3DR uBox LEA-6H whit compass 7A994
8. Telemetry : 3DR Telemetry Radio 915 MHz EAR99
9. Receiver : FrSky D8R-II plus 2.4 GHz 8CH Receiver
10. Remote Control : Turnigy 9X 9 CH with Module FrSky DJT



รูปที่ 4.8 แสดงอากาศยานต้นแบบลำที่ 2

จากข้อกำหนดในการออกแบบผู้วิจัยได้กำหนดน้ำหนักในส่วนของโครงสร้างและอุปกรณ์ในส่วนระบบต้นกำลัง ซึ่งพิจารณาด้านน้ำหนักมากสุดที่จะเป็นไปได้ โดยกำหนดให้สองล่วนนี้ มีน้ำหนักร่วมกันไม่เกิน 2,000 กรัม ผลที่ได้จากการประস่วนโครงสร้างกับอุปกรณ์ต่างๆของอากาศยาน ได้น้ำหนักร่วมอยู่ที่ 1,869.8 กรัม และเมื่อร่วมน้ำหนักบรรทุกเข้าไป อากาศยานจะมีน้ำหนักร่วมทั้งหมด 2,039.3 กรัม ซึ่งยังอยู่ในขอบเขตข้อกำหนดที่ได้กำหนดไว้คือ 2,200 กรัม



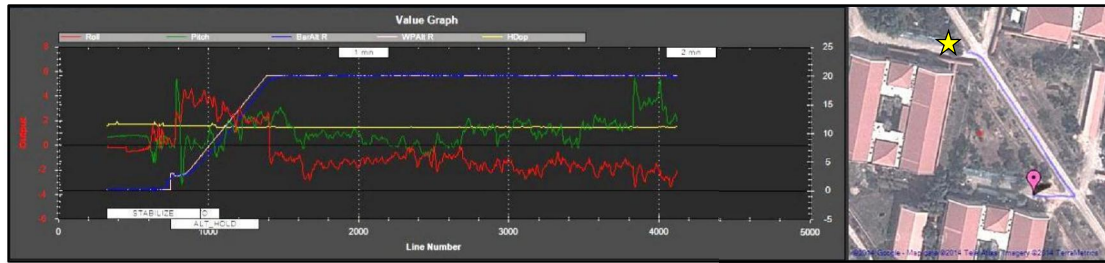
รูปที่ 4.9 แสดงน้ำหนักของอากาศยานสี่ใบพัดตั้นแบบลำที่ 2

4.2.2 ผลการทดสอบการบิน

จากปัญหาของอากาศยานลำที่ 1 จึงได้ทำการออกแบบ ปรับปรุง แก้ไข และปรับเปลี่ยนอุปกรณ์บางอย่างเพื่อให้ปัญหาที่เกิดจากอากาศยานลำที่ 1 ไม่เกิดขึ้นกับอากาศยานลำที่ 2 แต่ยังเกิดปัญหาจากสถานะอื่นเช่นอีก ส่วนใหญ่จะเกิดกับการทดสอบการบินแบบอัตโนมัติ โดยจะแสดงรายละเอียดของปัญหาและการแก้ไขเป็นกรณีๆไป

- กรณีที่ 1 ทดสอบการบินระหว่างอาคารเครื่องมือ 6 และอาคารเครื่องมือ 5

ในการบินทดสอบพบว่า อากาศยานสามารถบินไปตามพิกัดได้อย่างแม่นยำ เนื่องจากค่า HDop = 1.5 ซึ่งเป็นค่าความแม่นยำที่อยู่ในเกณฑ์ดีมาก จากรูปที่ 4.9 กราฟ Roll (สีแดง) และ Pitch (สีเขียว) มีการเพิ่ม-ลดอยู่ต่อตลอดเวลาหนึ่น เป็นผลมาจากการบินที่มีลมแรง จึงทำให้อากาศยานต้องพยายามรักษาเสถียรภาพการบิน ใช้เวลาในการบิน 2.02 นาที



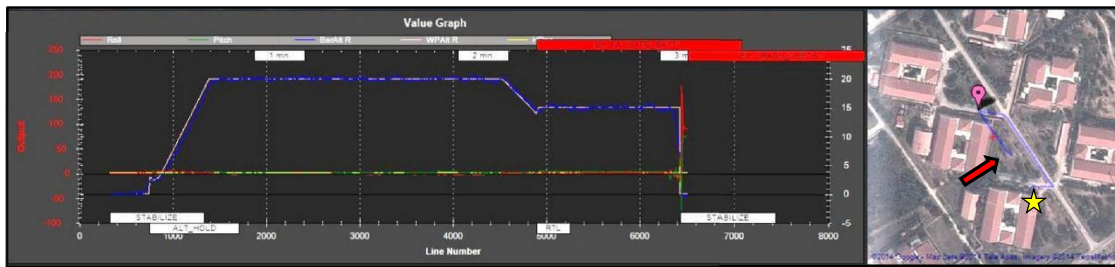
รูปที่ 4.10 แสดงข้อมูลการบินจากอาการเครื่องมือ 6 ไปอาคารเครื่องมือ 5 (กรณีที่ 1)

- กรณีที่ 2 ทดสอบการบินไป-กลับระหว่างอาคารเครื่องมือ 6 และอาคารเครื่องมือ 5

จากการบินทดสอบจากอาการเครื่องมือ 6 ไปอาคารเครื่องมือ 5 ที่ก่อตัวไปก่อนหน้านี้ พบว่าสามารถบินได้ปกติ และใช้เวลาเพียงแค่ 2 นาที โดยก่อนหน้านี้ทางผู้วิจัยได้ทดสอบแบบอัตโนมัติที่บริเวณอื่น สามารถบินได้ถึง 6 นาที ดังนั้นคุณภาพเวลาที่ยังสามารถใช้ได้อีกประมาณ 4 นาที ซึ่งน่าจะเพียงพอต่อการบินไป-กลับ ผู้วิจัยจึงทำการทดสอบบินไป-กลับ (เปลี่ยนแบบเตอร์ก่อนใหม่) โดยใช้พิกัดเดียวกันกับการทดสอบก่อนหน้านี้ทั้งบินไปและกลับ จากรูปที่ 4.10 จะพบว่าทุกค่านิ่งและเป็นปกติดี จนเมื่อถึงตำแหน่งที่หน้าอาคารเครื่องมือ 5 (ปักหมุด) ใช้เวลาในการบิน 2.21 นาที โปรแกรมได้ฟ้อง Failsafe Battery และทำการเปลี่ยนจาก Auto Mode เป็น RTL Mode ทันที ขณะนั้นาอากาศยานจะเลือกเส้นทางที่สั้นที่สุดเพื่อบินกลับไปยังตำแหน่ง Home (ดาว) แต่ก่อนที่จะถึงตำแหน่ง Home แรงดันของแบบเตอร์ได้ลดลงจนไม่สามารถสร้างแรงกดตัวลำได้จึงได้ร่วงลงไปที่ตันไม้ (ลูกศรชี้) และตรงลงสู่พื้น ส่งผลให้ใบพัดหัก โดยใช้เวลาบินเพียง 3.09 นาที

สาเหตุ : เนื่องจากแบบเตอร์ที่ใช้ทำการทดสอบนั้น เป็นแบบเตอร์ที่ผ่านการใช้งานมาพอสมควรแล้ว ทำให้ค่าประสิทธิภาพของแบบเตอร์ลดลง จึงส่งผลให้ไม่สามารถบินได้ตามเวลาที่เคยทดสอบ

การแก้ไขปัญหา : ลดระยะทางในการบิน โดยบินแนวพาราไปหรือเฉพาะกลับเท่านั้น และทำการติดตั้งอุปกรณ์วัดแรงดันเพื่อลดสัญญาณแจ้งเตือน



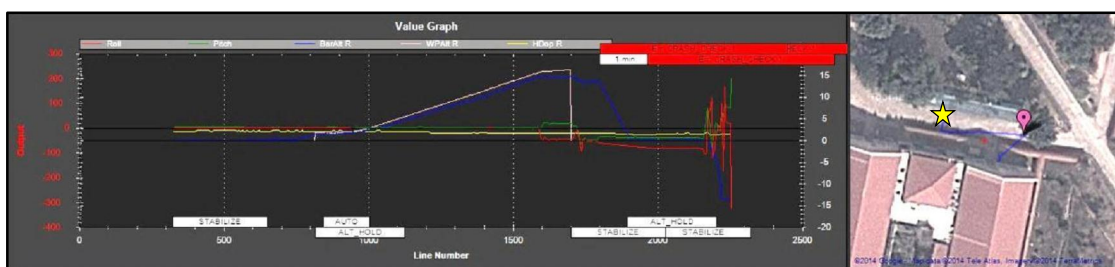
รูปที่ 4.11 แสดงข้อมูลการบินจากอาคารเครื่องมือ 6 ไปอาคารเครื่องมือ 5 (กรณีที่ 2)

- กรณีที่ 3 ทดสอบการบินระหว่างอาคารเครื่องมือ 5 และอาคารเครื่องมือ 6

ในการบินทดสอบครั้งนี้ได้ทำการกำหนดพิกัดเริ่มต้นที่อาคารเครื่องมือ 5 แต่บริเวณหน้าอาคารมีต้นไม้ขนาดใหญ่ ซึ่งเป็นอุปสรรคต่อการบิน จึงทำการกำหนดพิกัดให้ห่างจากบริเวณที่มีต้นไม้ใหญ่ และทำการกำหนดระดับความสูงอยู่ที่ 20 เมตร เมื่อเข้าสู่ Auto Mode แล้ว อาคารayan จะบินไปตามแน่นริ่มต้นในระดับความสูงที่กำหนด แต่เมื่ออาคารayan บินขึ้นไปถึงระดับความสูง 16 เมตร อาคารayan ได้บินเข้าไปติดต้นไม้ขนาดใหญ่หน้าอาคารเครื่องมือ 5 (ปักหมุด) ผู้จัดจึงทำการเปลี่ยนจาก Auto Mode เป็นการควบคุมผ่านวิทยุบังคับ เพื่อจะควบคุมให้อาคารayan หลุดออกจากต้นไม้ การทดสอบครั้งนี้เกิดความเสียหายคือ ในพัดหักและโครงสร้างขาหัก

สาเหตุ : เนื่องจากบริเวณหน้าอาคารเครื่องมือ 5 มีต้นไม้ขนาดใหญ่ จึงทำให้เป็นอันตรายหากกำหนดระดับความสูงไม่มากพอ และอีกหนึ่งสาเหตุน่าจะเกิดจากการผิดพลาดของ GPS ทำให้อาคารayan บินไปไม่ตรงพิกัดที่ได้กำหนดไว้

การแก้ไขปัญหา : ทำการกำหนดพิกัดแต่ละตำแหน่งใหม่ เพื่อหลีกเลี่ยงสิ่งกีดขวาง และเพิ่มระดับความสูงจาก 20 เมตร เป็น 40 เมตร



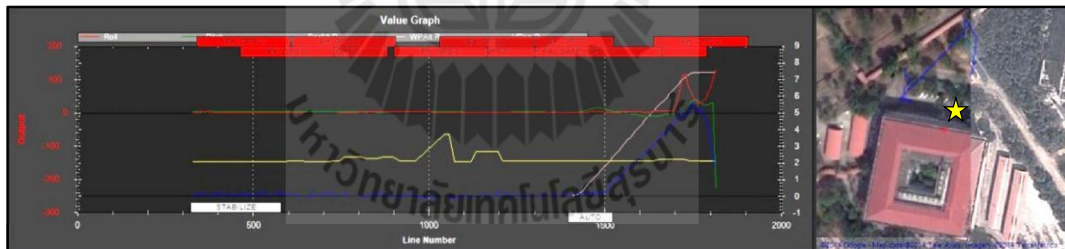
รูปที่ 4.12 แสดงข้อมูลการบินหน้าอาคารเครื่องมือ 5 (กรณีที่ 3)

- กรณีที่ 4 ทดสอบการบินหน้าอาคารวิชาการ 1

ในการบินทดสอบครั้งนี้ ต้องการที่จะบินทดสอบจากอาคารวิชาการ 1 ไป อาคารวิชาการ 2 เนื่องจากบริเวณอาคารวิชาการ 1 ตั้งอยู่ในพื้นที่ที่ต่ำกว่าและด้านหน้าอาคารยังมีต้นไม้ขนาดใหญ่เป็นจำนวนมาก ทำให้บริเวณนี้สามารถจับจำนวนดาวเทียมได้น้อย ส่งผลให้ค่า HDop สูง ผู้วิจัยจึงตั้งสมมุติฐานว่าถ้าอาคารศยานสามารถบินโดยตัวขึ้นไปในที่สูง ไม่มีสิ่งกีดขวาง GPS น่าจะจับสัญญาณได้ดีขึ้น จึงทำการกำหนดระดับความสูงอยู่ที่ 40 เมตร เพื่อลอยตัวขึ้นให้สูง กว่าตัวอาคาร แต่เมื่อเปลี่ยนเป็น Auto Mode พบร่างเกิดอาการ Failsafe GPS และบินไปชนหลังคา หน้าอาคาร (ดาว) ด้วยระดับความสูงเพียง 7 เมตร ทำให้ไม่สามารถเปลี่ยนจาก Auto Mode มาเป็นการควบคุมด้วยวิทยุบังคับได้ทัน จึงทำให้อาคารศยานตกลงสู่พื้น การทดสอบครั้งนี้เกิดความเสียหายคือ ใบพัดหัก เสา GPS หัก แบนวงนอเตอร์หัก และมอเตอร์เสีย

สาเหตุ : เนื่องจากบริเวณอาคารวิชาการ 1 ตั้งอยู่ในพื้นที่ต่ำกว่าบริเวณอื่นและ มีต้นไม้ขนาดใหญ่อยู่ด้านบนหน้าอาคาร ซึ่งทำให้บริเวณดังกล่าวเป็นจุดที่อับสัญญาณ ซึ่งเป็นอันตรายอย่างมากต่อการบินแบบอัตโนมัติ

การแก้ไขปัญหา : ให้เปลี่ยนตำแหน่งในการ Takeoff ออกไปบริเวณที่โล่ง กว่าบริเวณหน้าอาคาร ซึ่งจะช่วยให้ลักษณะ GPS ดีขึ้น



รูปที่ 4.13 แสดงข้อมูลการบินหน้าอาคารวิชาการ 1 (กรณีที่ 4)

- กรณีที่ 5 ทดสอบการบินระหว่างอาคารวิชาการ 1 ไปอาคารวิชาการ 2

เนื่องจากปัญหาการอับสัญญาณ GPS ใน การบินทดสอบครั้งนี้ จึงทำการย้าย ตำแหน่งของการ Takeoff ออกไปบริเวณทางโถงหน้าอาคารแทน (ดาว) ซึ่งบริเวณนี้มีสิ่งกีดขวางที่บังสัญญาณน้อยกว่าบริเวณหน้าอาคาร ในช่วงแรกที่ทำการเปลี่ยนเป็น Auto Mode พบร่างค่า HDop สูงถึง 3.21 แต่เมื่ออาคารศยานทำการบินขึ้นถึงระดับความสูง 20 เมตร ค่า HDop ได้ลดลงเหลือ 1.4 และบินໄต่ระดับความสูงขึ้นไปอีกพิกัดตำแหน่งที่ได้กำหนดไว้ อาคารศยานสามารถบินตามพิกัด ตำแหน่งได้อย่างแม่นยำ เนื่องจากมีกระแสลมแรง ค่า Roll และ Pitch จึงมีการเพิ่ม-ลดตลอดเวลา

เพื่อเป็นการรักษาเสถียรภาพในการบินให้นิ่งที่สุด จากที่กล่าวไว้ก่อนหน้านี้ว่า อาคารวิชาการ 1 ตั้งอยู่ในพื้นที่ที่ต่ำกว่าอาคารวิชาการ 2 แต่เนื่องจากได้ทำการเสียบแบตเตอรี่ที่หน้าอาคารวิชาการ 1 ดังนั้นการออมเมโทรจะอ้างอิงระดับความสูงเป็น 0 เมตร จากรูปที่ 4.13 ที่ตำแหน่ง Landing (ปีกหมุน) กราฟความสูงที่วัดจาก การออมเมโทร (สีน้ำเงิน) จึงอยู่ที่ระดับ 5.48 เมตร โดยการทดสอบการบินในครั้งนี้ใช้เวลาในการบิน 3.23 นาที



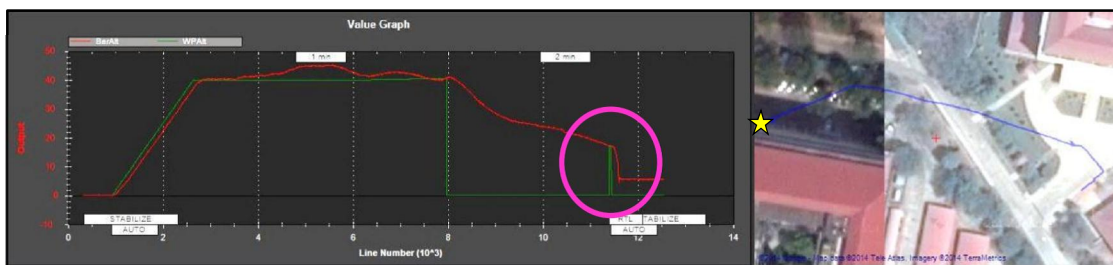
รูปที่ 4.14 แสดงข้อมูลการบินจากอาคารวิชาการ 1 ไปอาคารวิชาการ 2 (กรณีที่ 5)

จากการทดสอบการบินที่กล่าวไปในข้างต้นนี้ เป็นการบินทดสอบแบบอัตโนมัติ โดยถือวิทยุบังคับไปตามตำแหน่งที่อาคารayanเคลื่อนที่ไป ต่อมาจะทำการทดสอบผ่านชุดอุปกรณ์ควบคุมวิทยุบังคับ โดยจะต้องตั้งวิทยุบังคับไว้ที่สถานีภาคพื้นดิน (Ground Station) ซึ่งก่อนหน้าที่จะทำการบินทดสอบ ได้เกิดปัญหาคือวิทยุบังคับกับชุดรับสัญญาณ (Receiver) หากันไม่เจอ จึงได้ทำการแก้ไขโดยการ Binding และตั้งค่าวิทยุบังคับใหม่

- กรณีที่ 6 ทดสอบการบินระหว่างอาคารวิชาการ 1 ไปอาคารวิชาการ 2



รูปที่ 4.15(g) แสดงข้อมูลการบินจากอาคารวิชาการ 1 ไปอาคารวิชาการ 2 (กรณีที่ 6)

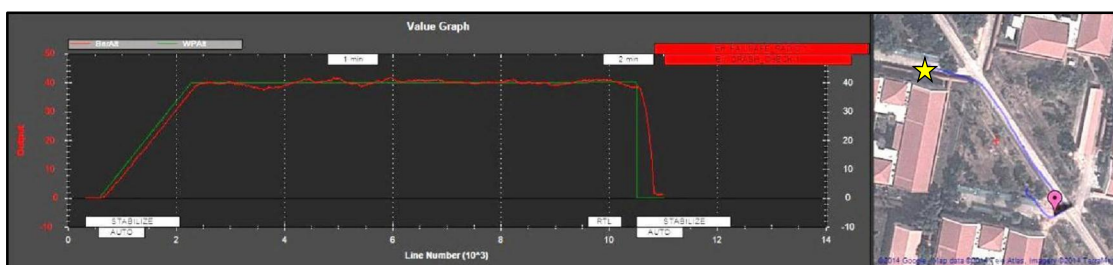


รูปที่ 4.15(ж) แสดงข้อมูลการบินจากอาคารวิชาการ 1 ไปอาคารวิชาการ 2 (กรอบที่ 6)

จากรูปที่ 4.15 ทั้งรูป ก. และรูป ข. เป็นการบินทดสอบการบินแบบอัตโนมัติ มีสถานีภาคพื้นดิน (Ground Station) และชุดอุปกรณ์ควบคุมวิทยุบังคับ ซึ่งจากทั้ง 2 รูป พบว่าได้ เกิดปัญหาแบบเดียวกัน คือ เมื่ออากาศยานบินไปถึงพิกัดตำแหน่งในการ Landing แล้วค่อยๆ เคลื่อนตัวลงจอด โหนดในการบินได้ถูกเปลี่ยนเป็น RTL Mode จึงเกิดอาการ Shoot ตัวขึ้น (ในวงกลม) แล้วถูกเปลี่ยนโหนดการบินไปเป็น Auto Mode อีกครั้ง อากาศยานจึงค่อยๆ เคลื่อนตัวลง จอด เพียงเสี้ยววินาที ถูกเปลี่ยนโหนดการบินเป็น Stabilize Mode ซึ่งขณะนั้น Throttle อยู่ใน ตำแหน่งต่ำสุด อากาศยานจึงตกลงสู่พื้น จากรูป 4.15 (ж) จะพบว่าไม่มีการแจ้งเตือนว่าเกิดการตก ของอากาศยาน เป็นพระว่าอากาศยานตั้งระบบก่อนที่จะตกลงสู่พื้น ในการทดสอบครั้งนี้เกิด ความเสียหายคือ แกนสำหรับยึดตัวลำได้ฐานหัก

เนื่องจากยังไม่ทราบถึงสาเหตุที่เกิดขึ้นอย่างแท้จริง ว่าเกิดจากปัจจัยใด อยู่กรณีใดมีปัญหา เพราะในข้อมูลการบินไม่ได้มีการแจ้งเตือนให้ทราบ ผู้วิจัยจึงนำไปบินทดสอบ ระหว่างอาคารเครื่องมือ 5 ไปอาคารเครื่องมือ 6 โดยที่ยังไม่ได้ทำการแก้ไข

- กรอบที่ 7 ทดสอบการบินระหว่างอาคารเครื่องมือ 5 ไปอาคารเครื่องมือ 6



รูปที่ 4.16 แสดงข้อมูลการบินจากอาคารเครื่องมือ 5 ไปอาคารเครื่องมือ 6 (กรอบที่ 7)

จากข้อมูลการบินในรูปที่ 4.16 ในช่วงตั้งแต่เข้า Auto Mode จนถึงพิกัด ตำแหน่งในการ Landing พบร่วมกับภาพนักบินรูปที่ 4.15 แต่กรณีนี้ โหมดของการบินได้ถูกเปลี่ยนเป็น RTL Mode โดยไม่มีการแสดงเตือนข้อความ Failsafe Radio ของวิทยุบังคับ ก่อนที่จะทำการ Landing (ปักหมุด) อากาศยานจึงทำการบินกลับไปตำแหน่ง Home (ดาว) ตามคำสั่งของโหมด การบิน จากนั้น โหมดการบินได้เปลี่ยนเป็น Auto Mode และ Stabilize Mode ตามลำดับ เมื่อเข้าสู่ Stabilize Mode ส่งผลให้มอเตอร์หยุดหมุนกลางอากาศ เนื่องมาจากในโหมดการบินนี้ จะต้องมีการเร่ง Throttle ขึ้น แต่ขณะนั้น Throttle อยู่ในตำแหน่งที่ 20% ซึ่งทำให้เกิดแรงยกไม่เพียงที่จะใช้ในการพยุงตัวลำ จึงทำให้อากาศยานตกแบบที่ดึงจากระดับความสูง 40 เมตร โดยแบตเตอรี่ที่อยู่ใต้ลำ ได้มากระแทกกับพื้นปูนอย่างแรง ส่งผลให้แบตเตอรี่เกิดการระเบิดขึ้น แต่ด้วยตำแหน่งที่ตกลงมา นั้นมีน้ำอยู่ จึงทำให้ไม่เกิดประกายไฟ อากาศยานจึงเสียหายแค่เฉพาะในส่วนโครงสร้าง ใบพัด สายไฟ และแบตเตอรี่ แสดงดังรูปที่ 4.17



รูปที่ 4.17 แสดงความเสียหายที่เกิดจากการตกในกรณีที่ 7

สาเหตุ 1 : จากข้อมูลการบินที่แสดงในรูปที่ 4.15 และ 4.16 นั้น จะพบว่า โหมดการบินได้เปลี่ยนเข้า RTL แต่ไม่มีการแสดงเตือนข้อความ Failsafe Radio ของวิทยุบังคับ จึงตั้ง ข้อสงสัยไปที่การตั้งค่าวิทยุบังคับ จึงทำการทดสอบโดยการ Armed Motor และปิดสัญญาณวิทยุ บังคับ พบร่วมกับเมื่อเกิดกรณี Failsafe Radio หรือสัญญาณหลุดละลอกส่งไปที่ Ch5 ซึ่งจะเข้าโหมดการบิน RTL และ Ch7 ที่เป็นโหมด Auto จะถูกปิด แต่เมื่อวิทยุบังคับรับสัญญาณได้อีกครั้ง Ch7 จะกลับไปที่โหมดเดิมที่ได้ตั้งค่าไว้ และเป็นตำแหน่งล่าสุดของวิทยุบังคับ ซึ่งขณะนั้นสวิตช์ของวิทยุ

บังคับอยู่ที่โหมด Auto จากนั้นจะทำการส่งสัญญาณ PWM ไปที่ช่องของโหมด Stabilize พร้อมกับ Ch5 จะถูกเลื่อนไปที่ตำแหน่งล่าสุดของวิทยุบังคับ เนื่องจากการเปลี่ยนโหมดของ Ch7 จะทำการเปลี่ยนทันทีแต่ Ch5 จะมีการ Delay เล็กน้อย จึงทำให้เข้าสู่ Auto Mode จากช่อง Ch7 เพียงไม่กี่ ms แล้วจึงเข้าสู่โหมด Stabilize

การแก้ไขปัญหา : ทำการตั้งค่า Failsafe ของวิทยุบังคับใหม่ ให้เป็นไปตามหลักการของ Arducopter โดยถ้าเกิดการ Failsafe ในระยะไม่เกิน 2 เมตร จากจุด Home จะสั่งให้เข้าสู่โหมด Land แทน ไม่ใช่โหมด RTL แต่ถ้าระยะมากกว่านั้นจะเข้าสู่โหมด RTL

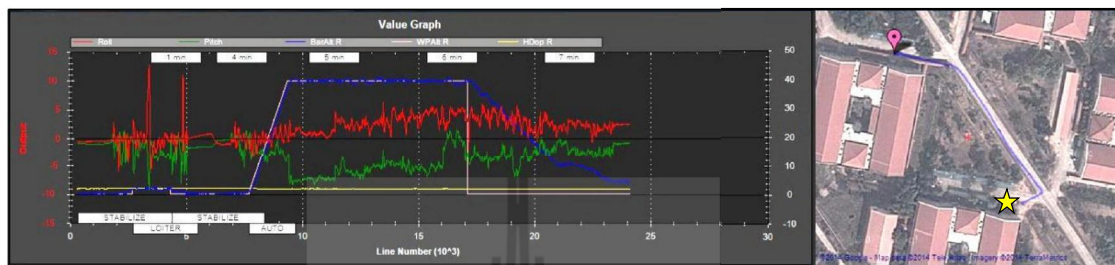
สาเหตุ 2 : เนื่องจากมีการแจ้งเตือน Failsafe Radio เป็นเหตุให้สัญญาณขาดการเชื่อมต่อ น่าจะมีสาเหตุมาจากการตั้งสถานีภาคพื้นดิน (Ground Station) ซึ่งตั้งอยู่บริเวณที่มีตึกบังสัญญาณ ทำให้การส่งสัญญาณไปไม่ถึงชุดรับสัญญาณ ดังรูปที่ 4.18 โดยปกติแล้ววิทยุบังคับจะส่งสัญญาณเป็นแนวตรง แต่ในการทดสอบวิทยุบังคับได้ตั้งอยู่บริเวณหน้าอาคาร ซึ่งอยู่ค่อนละทิศกับเส้นทางการบิน จึงทำให้สัญญาณที่ถูกส่งออกไปถูกอาคารบังไปบางส่วน ส่งผลให้เกิดการหลุดสัญญาณของวิทยุบังคับ

การแก้ไขปัญหา : ลองเปลี่ยนสถานที่สำหรับตั้งสถานีภาคพื้นดิน ที่สามารถหันไปพิสทางเดียวกับเส้นทางการบินได้



รูปที่ 4.18 แสดงลักษณะการวางวิทยุบังคับและการส่งสัญญาณ

- กรณีที่ 8 ทดสอบการบินระหว่างอาคารเครื่องมือ 5 ไปอาคารเครื่องมือ 6 เมื่อได้ทำการซ่อนอุปกรณ์ต่างๆ และทำการตั้งค่าวิทยุบังคับให้ถูกต้องตามหลักการ แล้วพบว่าอากาศยานสามารถบินได้อย่างปกติ โดยไม่เกิดปัญหาของการเข้าสู่โหมด RTL เอง สามารถบินรักษาระดับความสูงได้แม่นยำ ใช้เวลาในการบิน 3.16 นาที



รูปที่ 4.19 แสดงข้อมูลการบินจากอาคารเครื่องมือ 5 ไปอาคารเครื่องมือ 6 (กรณีที่ 8)

บทที่ 5

สรุปผลและข้อเสนอแนะ

5.1 สรุปผลการวิจัย

งานวิจัยนี้เป็นการออกแบบและสร้างต้นแบบอากาศยานสี่ใบพัดที่บังคับการเคลื่อนที่ด้วยตนเอง เพื่อสำหรับขนส่งเอกสารระหว่างอาคาร ที่กำหนดเส้นทางการบินโดยผ่านโปรแกรม Mission Planner โครงสร้างที่ได้ทำการออกแบบมานั้นมีการตอบสนองต่อการบินนอกอาคารที่ดีจากผลของการทดสอบการบินของอากาศยานต้นแบบทั้งแบบที่ควบคุมด้วยวิทยุบังคับและแบบอัตโนมัติ อากาศยานต้นแบบสามารถเคลื่อนที่ไปยังจุดต่างๆ ตามที่โปรแกรมໄว่ได้ โดยอาศัยข้อมูลในการบินดังนี้ พิกัดตำแหน่ง ความสูง และความเร็ว พบว่าการบินโดยตัวอยู่กับที่ของอากาศยานต้นแบบสามารถบินได้เป็นเวลาประมาณ 15 นาที ส่วนการบินเคลื่อนที่ตามตำแหน่ง สามารถบินได้เป็นเวลาประมาณ 6 นาที โดยใช้แรงดันของแบตเตอรี่เป็นตัวกำหนดระยะเวลาในการบิน ผู้วิจัยได้กำหนดให้แรงดันต่ำสุดที่อากาศยานจะบินได้อย่างปลอดภัย (Battery Failsafe) คือ 10.6 โวลต์ ซึ่งระยะเวลาที่ทดสอบการบินของอากาศยานได้นั้นน้อยกว่าข้อกำหนดเวลาที่ใช้ในการออกแบบคือ 7 นาที ที่ระดับเพดานบิน 40 เมตร สำหรับในการบินทดสอบ อากาศยานสามารถรักษาระดับความสูงที่กำหนดได้อย่างแม่นยำ ส่วนการสั่นสะเทือนที่เกิดขึ้นกับอากาศยาน ที่วัดจาก Accelerometer Sensor นั้นมีค่าอยู่ในขอบเขตที่ยอมรับได้คือ แกน X และแกน Y มีค่าอยู่ระหว่าง -1 และ 2 m/s^2 และ แกน Z มีค่าอยู่ระหว่าง -12 และ -6 m/s^2 ในส่วนของการระบุตำแหน่งนั้นอาจจะเกิดความผิดพลาดของการกำหนดตำแหน่งได้ ซึ่งขึ้นอยู่กับสภาพภูมิอากาศ สัญญาณรับสัญญาณจากดาวเทียม หรือแม้กระทั่งจำนวนดาวเทียมที่นับได้ในขณะนั้น

ในทุกการบินทดสอบพบว่ามีปัญหาเกิดขึ้นได้หลายสาเหตุ ปัญหาส่วนใหญ่ที่ทำให้เกิดความเสียหายต่อตัวอากาศยาน จะเกิดจากปัญหาการ Failsafe GPS มากรสุด สัญญาณ GPS ถือเป็นสิ่งที่สำคัญสำหรับการบินแบบอัตโนมัติ ดังนั้นในทุกครั้งก่อนการบินแบบอัตโนมัติควรจะตรวจสอบค่าสัญญาณให้แน่นอน ว่าอยู่ในเกณฑ์ที่ปลอดภัยหรือไม่ ปัญหาที่พบรองลงมาคือ Failsafe Battery แบตเตอรี่เป็นแหล่งพลังงานเดียวที่ให้กับอากาศยาน ดังนั้นแบตเตอรี่เป็นสิ่งที่สำคัญที่ต้องให้ความสนใจ ควรจะต้องรู้ข้อมูลในการใช้งานของแบตเตอรี่ ว่าสามารถบินได้นานเท่าไรต่อหนึ่งชั่วโมง ของอากาศยาน ควรจะมีการติดตัววัดแรงดัน ไปกับแบตเตอรี่ขณะบิน เพื่อช่วยให้แจ้งเตือนอีกทางหนึ่ง ส่วนปัญหาสุดท้ายคือ Failsafe Radio ปัญหานี้จะไม่เกิดขึ้นถ้าอากาศยานบินอยู่ในสถานที่โล่งแจ้ง ไม่มีสิ่งกีดขวางสัญญาณ ทั้งสามปัญหาการแจ้งเตือนนั้นนอกเหนือจากการตรวจสอบด้วยตัวผู้บิน

ก่อนทำการบินแล้วนั้น การตั้งค่า Failsafe ในส่วนของโปรแกรมก็ถือว่ามีส่วนสำคัญที่จะลดความเสียหายหรืออันตรายที่จะเกิดขึ้น ควรจะต้องทำการตั้งค่าให้ถูกต้องตามหลักการของอุปกรณ์แต่ละชนิด

ในทุกปัญหาที่เกิดขึ้นย่อมเกิดความเสียหายทั้งต่อบุคคลและตัวอากาศยานเอง นอกจากจะต้องระมัดระวังตรวจสอบอุปกรณ์ระบบต่างๆ การใช้งานให้ถูกต้องแล้ว การออกแบบระบบของโครงสร้างของอากาศยานก็เป็นส่วนหนึ่งที่ช่วยลดความเสียหายได้มากพอสมควร ในส่วนของโครงสร้างและการติดตั้งอุปกรณ์ไม่ควรให้อุปกรณ์ทุกอย่างยึดติดแน่นเกินไป ควรจะให้สามารถแยกออกจากกันได้ง่ายเมื่อเกิดการตกของอากาศยาน เพื่อเป็นการกระจายแรงและลดความเสียหายต่ออุปกรณ์ได้ จากผลการบินทดสอบจะพบว่าความเสียหายส่วนใหญ่จะมีแค่ในส่วนของใบพัดเท่านั้น เพราะในส่วนของโครงสร้างขาเป็นพลาสติกที่มีความยืดหยุ่นสามารถดีดตัวได้ดี ลดแรงกระแทกได้ ส่วนของแนวกีสามารถพับได้ ทำให้มีอัตราแบบอิริยาบถที่แขนจะรับแรงกระแทกโดยตรง กีลดแรงและความเสียหายลงได้

จากการออกแบบแสดงให้เห็นว่า น้ำหนักมีผลต่อเวลาในการบินเป็นอย่างมาก และยังส่งผลต่องานด้วยกัน ซึ่งในการคำนวณทางแรงดันของแบตเตอรี่ ผู้จัดไม่ได้นำค่าประสิทธิภาพของแบตเตอรี่มาคำนวณด้วย จึงอาจทำให้เกิดความผิดพลาดของเวลาในการบินได้ การพัฒนาต่อจากนี้จะทำให้อากาศยานสามารถบินได้นานขึ้นด้วยการออกแบบใบพัดที่ให้พลังงานสูง ออกแบบเลือกมอเตอร์ที่มีการสูญเสียพลังงานต่ำ และชุดควบคุมความเร็วรอบแบบอิเล็กทรอนิกส์ที่มีการจำกัดพลังงาน ด้วยวิธี Optimization อีกด้วยไป

5.2 ข้อเสนอแนะ

1. เนื่องจากในการทดสอบระบบการบินของอากาศยาน ผู้จัดได้ทำการเลือกใช้แบบเตอร์ก้อนใหม่ ซึ่งอาจจะมีประสิทธิภาพของแบตเตอรี่ถึง 100% จึงส่งผลให้อากาศยานสามารถบินได้ตามเวลาที่ได้ทำการออกแบบมา แต่เมื่อแบตเตอรี่มีประสิทธิภาพลดลง จะเป็นสาเหตุให้อากาศยานบินไม่สามารถบินได้ระยะเวลาตามข้อกำหนดที่ได้กำหนดไว้

2. ในการตั้งค่าแรงดันในช่วงที่ปลดภัยหรือ Battery Fail Safe สามารถเปลี่ยนแปลงได้ขึ้นอยู่กับน้ำหนักโดยรวมของอากาศยาน ซึ่งถ้าอากาศยานมีน้ำหนักมากค่าแรงดันจะต้องเหลือมากพอที่มอเตอร์จะสามารถยกตัวลำของอากาศยานได้

3. น้ำหนักของตัวอากาศยานถือว่ามีส่วนสำคัญ การที่อากาศยานมีน้ำหนักรวมน้อยที่สุดจะช่วยประหยัดพลังงานและเพิ่มระยะเวลาในการบินได้ ดังนั้นในการออกแบบควรจะเลือกใช้วัสดุที่แข็งแรงและมีน้ำหนักเบาสมอ

4. ในการนำอากาศยานออกบินควรบินในสภาพอากาศที่แจ่มใส เพื่อลดปัจมุหารเกิดสัญญาณรบกวน ที่จะส่งผลต่อค่าความแม่นยำของ GPS ซึ่งสัญญาณ GPS ถือเป็นสิ่งสำคัญที่ใช้ในการระบุตำแหน่งการบินในโหมด Loiter, Return To Lanch mode และ Auto ถ้าสภาพอากาศที่แปรปรวนอาจทำให้การจับสัญญาณจำนวนดาวเทียมลดลง ค่าความแม่นยำลดลง และส่งผลต่อการบินของอากาศยานได้

5. ในการบินของอากาศยานสิ่งที่ควรคำนึงมากที่สุดคือความปลอดภัยต่อชีวิตและทรัพย์สินของผู้อื่น ก่อนออกบินทุกครั้งควรตรวจสอบอุปกรณ์ว่าอยู่ในสภาพที่พร้อมใช้งานหรือไม่



รายการอ้างอิง

- ณัฐุณิ สุวรรณทา (2555). การสร้างเซลล์อปตอร์แบบสี่ใบพัด. เอกสารประกอบการบรรยาย
มหาวิทยาลัยมหาสารคาม. pp. 1-34.
- ธิติ นิลทองคำ (2555). การควบคุมเสถียรภาพของอากาศยาน4ใบพัด โดยใช้ตัวควบคุมแบบ
คลาสสิก. การประชุมวิชาการเครือข่ายวิศวกรรมเครื่องกลแห่งประเทศไทย ครั้งที่ 26
(ME-NETT 26). โรงแรมดุสิต ไฮส์แลนด์ รีสอร์ท จังหวัดเชียงราย. วันที่ 24-27 ตุลาคม
2555.
- DiCesare, A., Gustafson, K., and Lindenfelzer, P. (2013). Design Optimization of a Quad-Rotor
Capable of Autonomous Flight. **Project report (Bachelor of Science In
Aerospace/Mechanical Engineering); Worcester Polytechnic Institute.** pp. 22-45.
- Bousbaine, A., Wu, M.H., and Poyi, G.T. (2012). Modelling and simulation of a quad-rotor
helicopter. **The 6th IET International Conference On Power Electronics, Machines
and Drives (PEMD 2012)**, March 27-29, 2012. pp. 1-6.
- Flynn, E.P. (2013). Low-cost approaches to UAV design using advanced manufacturing
techniques. **The 3rd IEEE Integrated STEM Education Conference (ISEC)**, March 9,
2013. pp.1-4.
- Gonzalez I., Salazar, S., Romero H., Lozano, R., and Torres, J. (2011). Attitude control of a quad-
rotor using speed sensing in brushless DC motors. **The 8th International Conference On
Electrical Engineering Computing Science and Automatic Control (CCE 2011)**,
October 26-28, 2011. pp. 1-6.
- Jaimes, A., Kota, S., and Gomez, J. (2008). An approach to surveillance an area using swarm of
fixed wing and quad-rotor unmanned aerial vehicles UAV(s). **IEEE International
Conference On System of Systems Engineering (SoSE'08)**. June 2-4, 2008. pp. 1-6.
- Rodic A., and Mester, G. (2011). Modeling and simulation of quad-rotor dynamics and spatial
navigation. **IEEE 9th International Symposium On Intelligent Systems and
Informatics (SISY)**, September 8-10, 2011. pp. 23-28.
- Senkul F., and Altug, E. (2013). Modeling and control of novel tilt-Roll rotor quadrotor UAV.

International Conference On Unmanned Aircraft Systems (ICUAS), May 28-31, 2013. pp. 1071-1076.

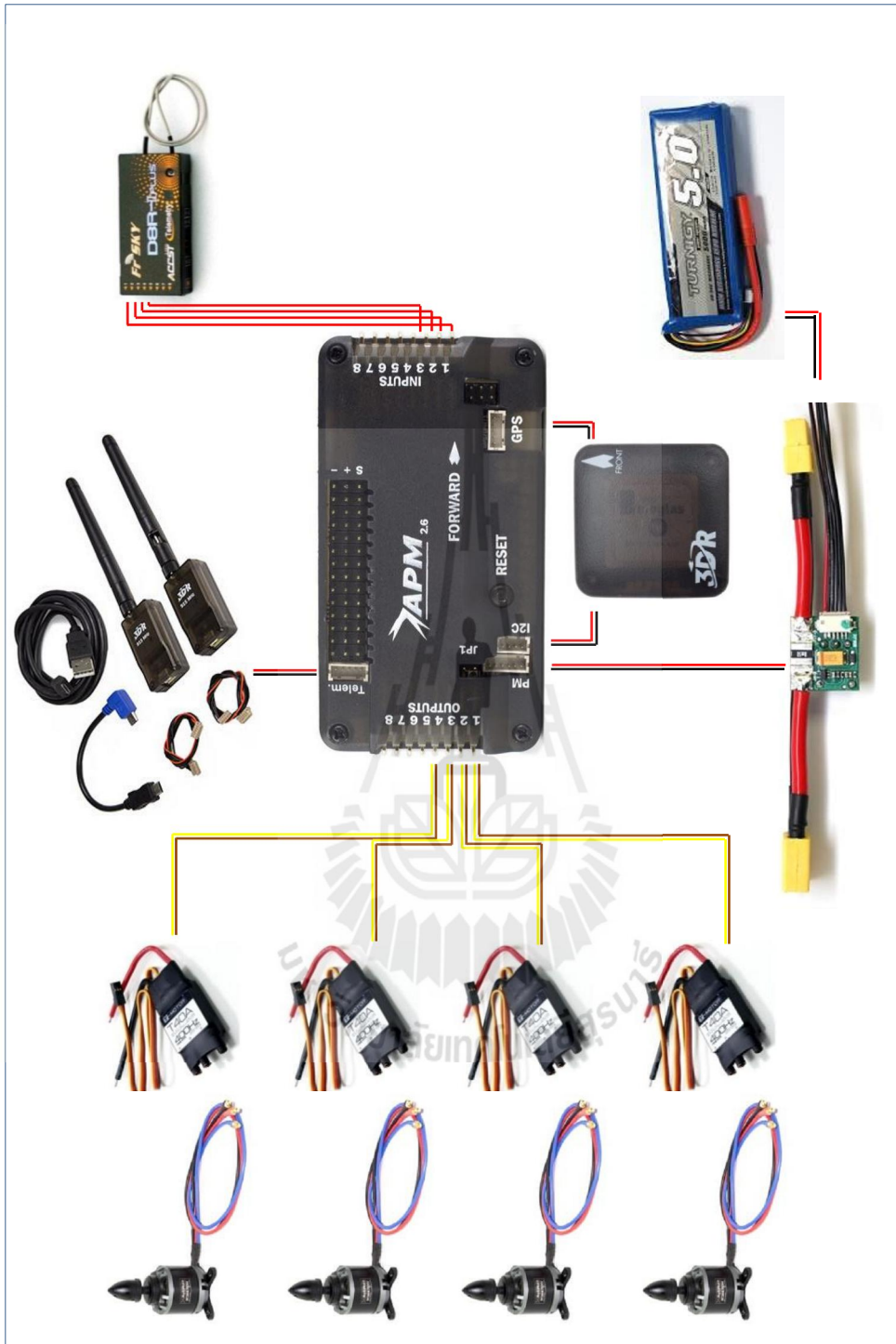
Jeong, S.H., and Jung. S. (2011). Design and Control of a small quad-rotor system under practical limitation. **The 11th International Conference On Control, Automation and Systems (ICCAS)**, October 26-29. 2011. pp. 1163-1167.



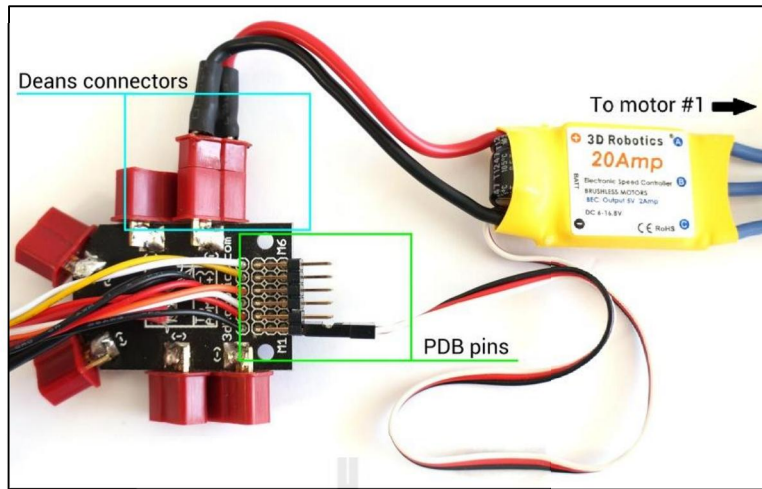


ก. ขั้นตอนการประกอบอุปกรณ์

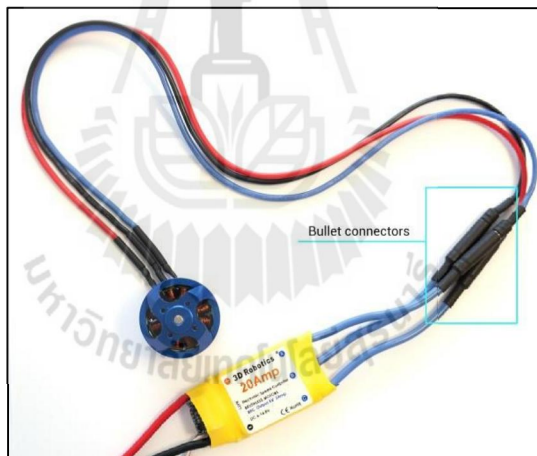
จากรูปที่ ก.1 เป็นไดอะแกรมสำหรับเชื่อมต่ออุปกรณ์ต่างๆเข้ากับบอร์ด รุ่น APM 2.6 โดยเริ่มต้นจากการต่อสายไฟฟ้ากับชุดควบคุมความเร็วรอบแบบอิเล็กทรอนิกส์ (Electronic Speed Controller: ESC) โดยมอเตอร์จะประกอบไปด้วย 3 คือสายสีดำคือไฟลับ สายสีแดงคือไฟบวก และสายสีน้ำเงินจะเป็นสายสัญญาณ (สามารถเปลี่ยนแปลงตามรุ่นของมอเตอร์) และชุดควบคุมความเร็วรอบแบบอิเล็กทรอนิกส์จะมีสายไฟสองฝั่ง ฝั่งด้านบนจะมี 2 สาย คือสายสีดำและสายสีแดงสองสายนี้จะเป็นสายสำหรับรับกระแสไฟจากแผงจ่ายไฟหลัก (Power distribution board) ดังรูปที่ ก.2 ส่วนฝั่งด้านล่างจะมี 3 สาย บนตัวชุดควบคุมความเร็วรอบแบบอิเล็กทรอนิกส์จะมีตัวอักษรกำกับไว้คือ A, B และ C โดยสาย B จะเป็นสายไฟลับจะต่อเข้ากับมอเตอร์สายสีดำ ส่วนของ A และ B จะต่อเข้ากับสายสีแดงหรือสายสีน้ำเงินจากมอเตอร์ ซึ่งขึ้นอยู่กับว่าต้องการให้มอเตอร์หมุนตามเข็มนาฬิกาหรือทวนเข็มนาฬิกาดังรูปที่ ก.3



รูปที่ ก.1 แสดงวงจรเครื่องบินแบบ quadcopter ที่ติดตั้งระบบการนำทาง APM



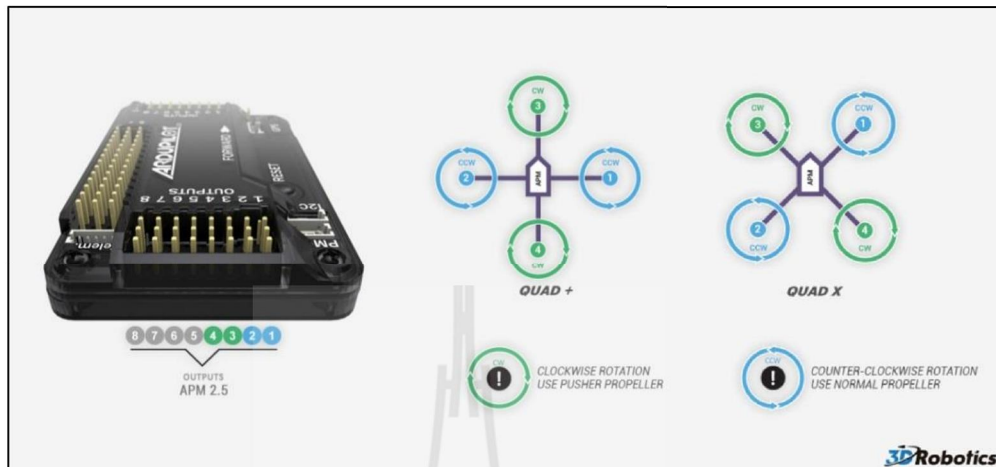
รูปที่ ก.2 แสดงการต่อชุดควบคุมความเร็วรอบแบบอิเล็กทรอนิกส์กับแพงจ่ายไฟหลัก
(ที่มา : <http://copter.ardupilot.com/wiki/initial-setup/assembly-instructions>)



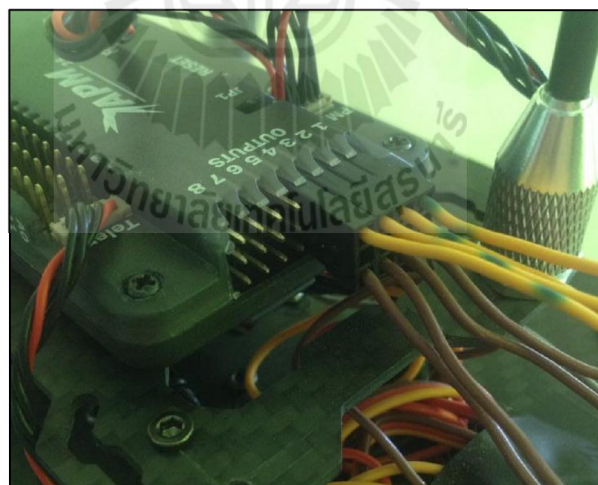
รูปที่ ก.3 แสดงการต่อมอเตอร์กับชุดควบคุมความเร็วรอบแบบอิเล็กทรอนิกส์
(ที่มา : <http://copter.ardupilot.com/wiki/initial-setup/assembly-instructions>)

ชุดควบคุมความเร็วรอบแบบอิเล็กทรอนิกส์ยังมีสายแพเพลลิออยู่ ซึ่งสายนี้จะต่อเข้ากับบอร์ด APM ผ่าน Output ตามช่องต่างๆ โดยเราจะต่อสายให้ถูกต้องตามตำแหน่งของมอเตอร์กำหนดให้มีลักษณะการกำหนดตำแหน่งดังรูปที่ ก.4 สายแพจากชุดควบคุมความเร็วรอบแบบอิเล็กทรอนิกส์จะมีทั้งหมด 3 สาย คือ สีเหลือง สีแดง และสีน้ำตาล การต่อสายแพในฝั่งนี้จะต่อ

เฉพาะสายสีเหลืองและสีน้ำตาลแต่ไม่ต่อสายสีแดง(เส้นกลาง) ดังรูปที่ ก.5 เพื่อจะช่องกลางของบอร์ดจะเป็นช่องของไฟเลี้ยง เราจะไปเชื่อมต่อกันในฝั่ง Input แทน

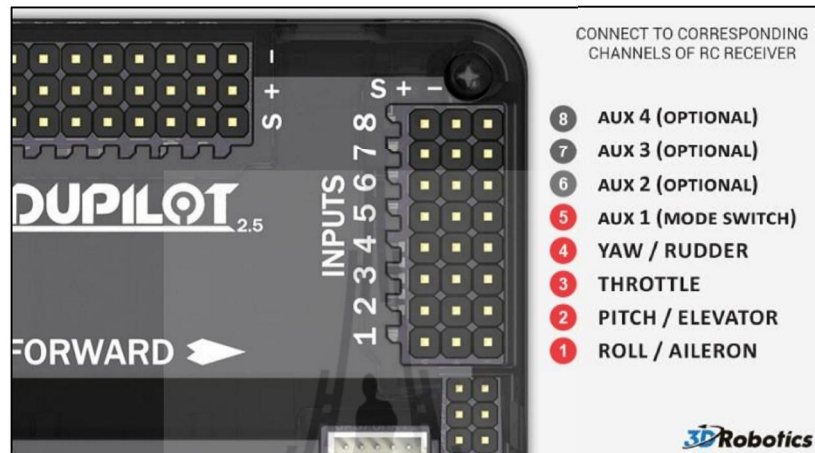


รูปที่ ก.4 แสดงรูปแบบการต่อช่อง Output ของอากาศยานสี่ใบพัด
(ที่มา : <http://copter.ardupilot.com/wiki/connecting-the-escs-and-motors/>)



รูปที่ ก.5 แสดงการต่อสายแพฝั่ง Output

ต่อมามาดูในฝั่งทาง Input ของบอร์ด APM ฝั่งนี้จะทำการเชื่อมต่อเข้ากับชุดรับสัญญาณ หรือ Receiver โดยการต่อ กีบเข็นเดียวกัน นำสายต่อเข้าช่องต่างๆตามรูปที่ ก.6 ถ้าเราต่อสายเข้า Input 1 ฝั่งบอร์ด APM ฝั่งชุดรับสัญญาณต่อจะต้องเป็นช่องที่ 1 เข็นเดียวกัน ในช่อง Input 4 ผู้วิจัยได้ต่อสายแยกครบทั้งสามช่อง เพื่อให้มีไฟเลี้ยง



รูปที่ ก.6 แสดงการเชื่อมต่อช่องสัญญาณฝั่ง Input กับชุดรับสัญญาณ
(ที่มา : <http://copter.ardupilot.com/wiki/connecting-your-rc-input-and-motors/>)



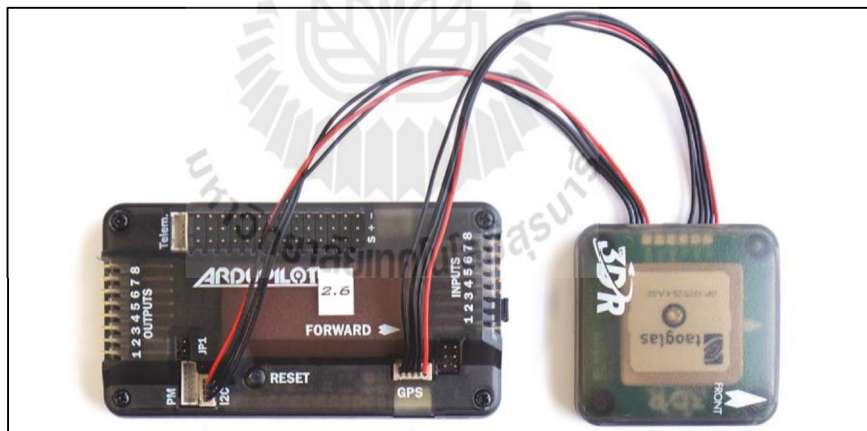
รูปที่ ก.7 แสดงการต่อสัญญาณฝั่ง Input กับชุดรับสัญญาณ

ต่อมาทำการต่อ GPS เนื่องจากบอร์ด APM 2.6 ไม่มีเข็มทิศนำทางหรือ Compass หรือ Magnetometer ดังนั้นจึงต้องเลือกใช้ GPS ที่มี Magnetometer มาในตัว ดังนั้นตัว GPS จึงมี 2 ช่องสำหรับต่อสาย คือ ช่องของ GPS และช่องของ Magnetometer ดังรูป ก.8 สายที่ต่อออกจากช่อง GPS จะต่อเข้าช่อง GPS ของบอร์ด ส่วนสายที่ต่อออกจากช่องของ Magnetometer จะต่อเข้าสู่ช่อง I2C ดังรูปที่ ก.9



รูปที่ ก.8 แสดงช่องของ GPS

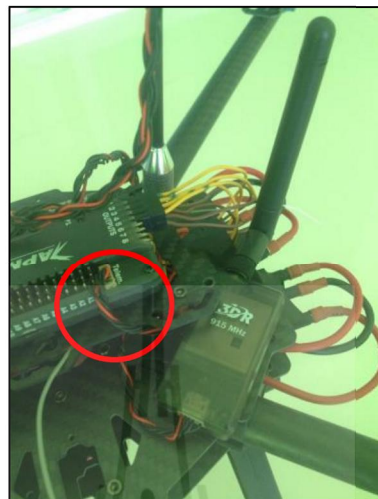
(ที่มา : <http://copter.ardupilot.com/wiki/common-installing-3dr-ublox-gps-compass-module/>)



รูปที่ ก.9 แสดงการต่อ GPS กับ บอร์ด APM

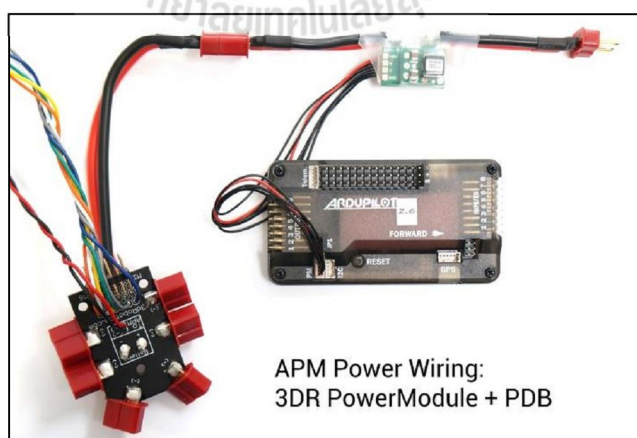
(ที่มา : <http://copter.ardupilot.com/wiki/common-installing-3dr-ublox-gps-compass-module/>)

ส่วนต่อมาคือชุดรับ-ส่งข้อมูลหรือ Telemetry สามารถใช้สายแพที่มีต่อเข้าที่ช่อง Telem. จากบอร์ด APM ได้เลย ดังรูปที่ ก.10

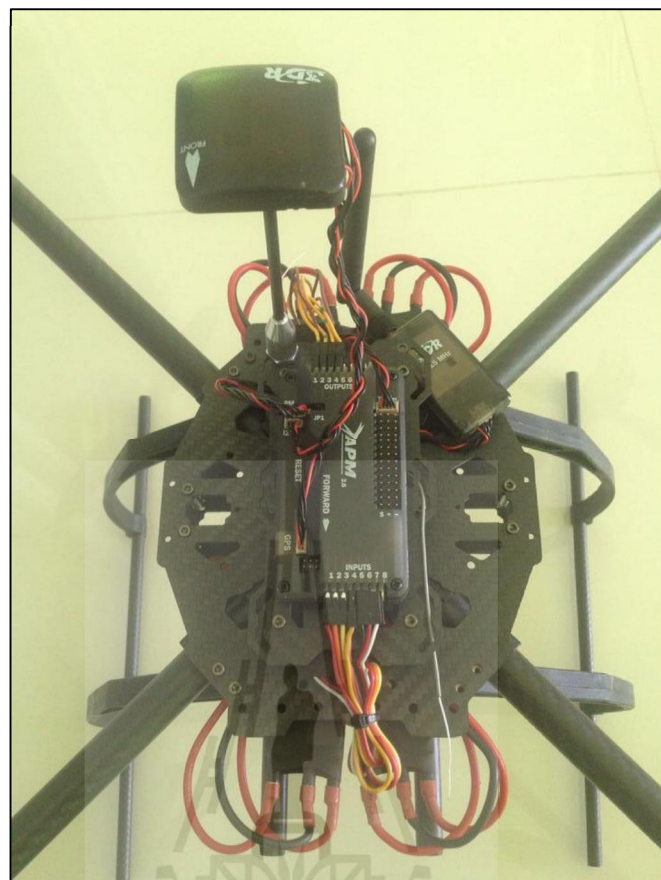


รูปที่ ก.10 แสดงการต่อ Telemetry กับ บอร์ด APM

ส่วนสุดท้ายคือแหล่งจ่ายพลังงาน จากรูปที่ พบร่วมกับ Power Module มีสายให้ญี่ส่องผ่านช่องผู้ส่ง หนึ่งจะต่อเข้ากับแผงจ่ายไฟหลักที่กล่าวมาแล้วในข้างต้น ส่วนอีกผึ้งจะต่อเข้ากับแบตเตอรี่ชนิด Lipo และส่วนของสายแพจะต่อเข้าที่บอร์ด บริเวณช่อง PM ดังรูปที่ ก.11



รูปที่ ก.11 แสดงการต่อ Power Module กับแผงจ่ายไฟหลักและบอร์ด APM
(ที่มา : <http://copter.ardupilot.com/wiki/initial-setup/assembly-instructions>)



รูปที่ ก.12 แสดงการต่ออุปกรณ์ต่างๆเข้ากับ บอร์ด APM

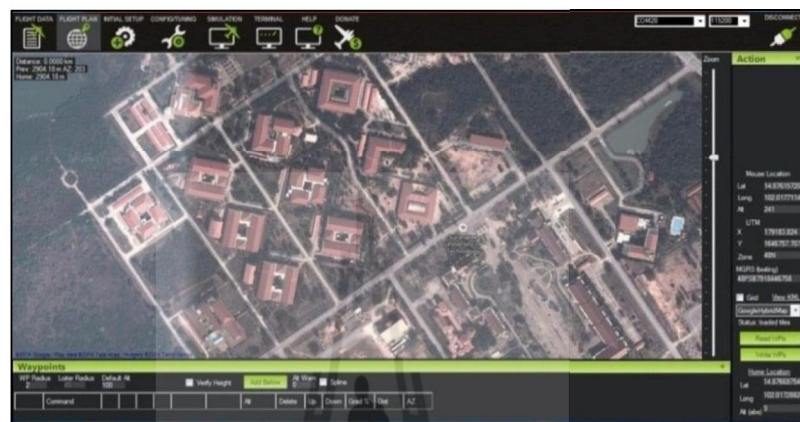
ภาคผนวก ข

การทำ Auto Waypoint สำหรับโปรแกรม Mission Planner

นักวิทยาลัยเทคโนโลยีสุรบาก

๔. การทำ Auto Waypoint

โดยเริ่มต้นให้ทำการเชื่อมต่อบอร์ด APM กับโปรแกรม Mission Planner หลังจากนั้นกดปุ่ม Connect เพื่อทำการเชื่อมต่อ เมื่อเชื่อมต่อบอร์ด APM กับโปรแกรม Mission Planner เรียบร้อยแล้ว ให้ไปที่เมนู FLIGHT PLAN จะปรากฏหน้าต่างดังรูป ข.1



รูปที่ ข.1 แสดงหน้าต่าง FLIGHT PLAN



(ก)

(ข)

รูปที่ ข.2 แสดงหน้าต่าง Action (ก) และ Action (ข) แสดงกรณีไม่ได้ Connect (ก) และแสดงกรณีทำการ Connect (ข)

Waypoints												
WP Radius	Loiter Radius	Default Alt	100		Verify Height	Add Below						
	Command	Dela	Hit Rad	Yaw Ang	Lat	Long	Alt	Delete	Up	Down	Grad %	Dist
1	TAKEOFF	0	0	0	0	0	2	X	0	0	0	0
2	WAYPOINT	0	0	0	14.8766933	102.0174685	20	X	45.1	44.4		
3	WAYPOINT	0	0	0	14.8758015	102.0180210	20	X	0.0	115.6		
4	LAND	0	0	0	14.8758222	102.0179111	2	X	-149.6	12.0		

รูปที่ ข.3 แสดงหน้าต่าง Waypoint

ก่อนอื่นขออธิบายคำสั่งต่างๆที่อยู่ในเมนู FLIGHT PLAN ทั้งในส่วนคำสั่ง Waypoint และ Action โดยมีความหมายและหน้าที่ดังต่อไปนี้

ส่วน Waypoint

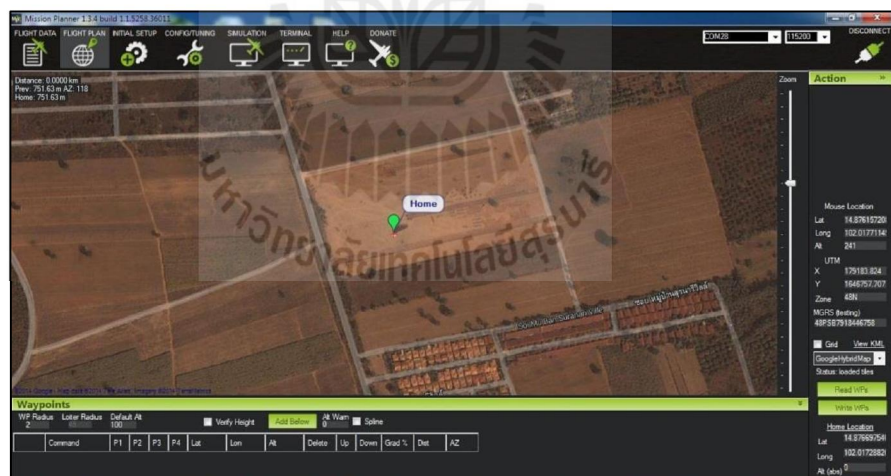
- WP Radius หรือ Waypoint Radius คือ รัศมีของตำแหน่งที่เลือก
- Loiter Radius คือ รัศมีการล็อกความสูงและตำแหน่งด้วย GPS
- Default Alt คือ ระดับความสูงที่ได้ทำการตั้งค่าไว้
- Add Below คือ การเพิ่มตาราง
- Command คือ ช่องสำหรับใส่命令ที่ต้องการในตำแหน่งนั้นๆ
- Lat หรือ Latitude คือ การแสดงค่าละติจูดในตำแหน่งที่เลือก
- Long หรือ Longitude คือ การแสดงค่าลองจิจูดในตำแหน่งที่เลือก
- Alt คือ ระดับความสูงที่ต้องการ
- Delete คือ คำสั่งที่ใช้ลบบรรทัดที่ไม่ต้องการ
- Up คือ คำสั่งที่ใช้เลื่อนบรรทัดที่เลือกขึ้นด้านบน
- Down คือ คำสั่งที่ใช้เลื่อนบรรทัดที่เลือกลงด้านล่าง

ส่วน Action

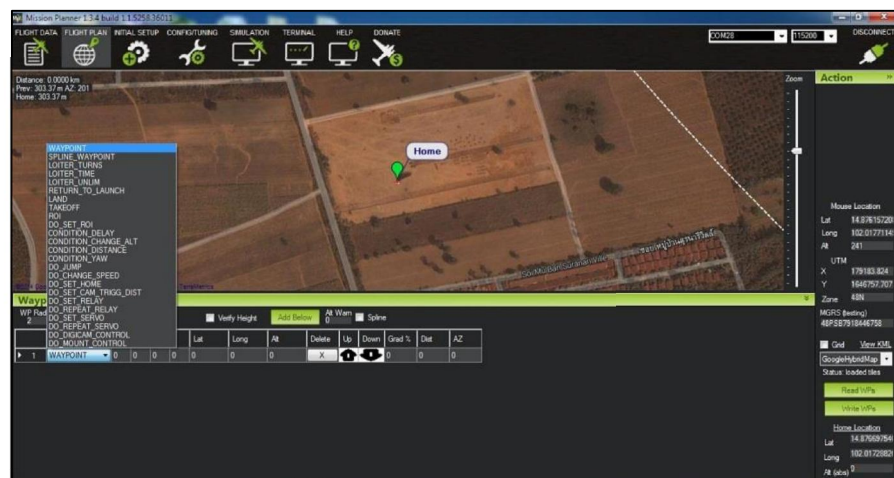
- Load WP File หรือ Load Waypoint File คือ การเรียกไฟล์ Waypoint ที่บันทึกไว้ ออกมายังงาน
- Save WP File หรือ Save Waypoint File คือ การบันทึกไฟล์ Waypoint
- Read WPs หรือ Read Waypoint คือ การอ่านไฟล์ Waypoint
- Write WPs หรือ Write Waypoint คือ การเขียนหรือบันทึกไฟล์ Waypoint ลงบอร์ด APM
- Home Location คือ คำสั่งที่ใช้อัพเดทตำแหน่งล่าสุดของอากาศยาน
- Mouse Location คือ แสดงตำแหน่งของลูกศรที่ชี้บนแผนภาพ

- Lat หรือ Latitude คือ การแสดงค่าละติจูดในตำแหน่งที่เลือก
- Long หรือ Longitude คือ การแสดงค่าลองจิจูดในตำแหน่งที่เลือก
- Alt คือ การแสดงระดับความสูงที่เลือก

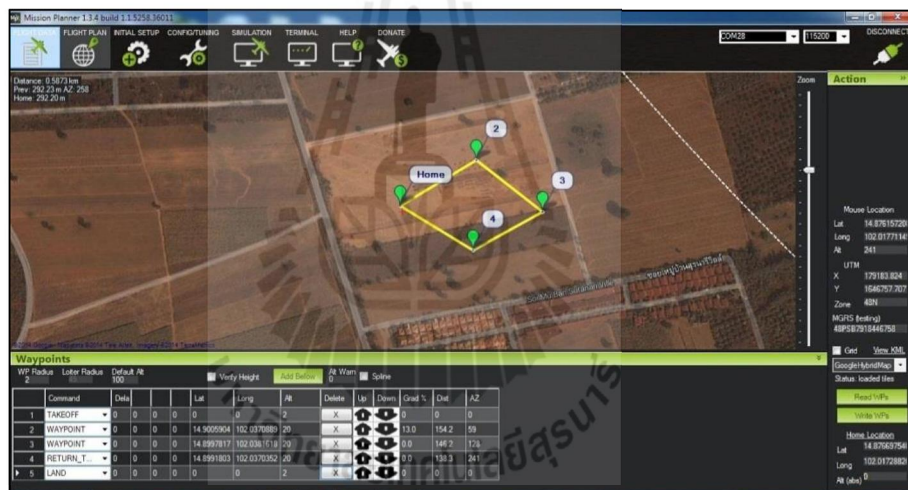
เริ่มแรกให้กด Home Location เพื่อจะเป็นการอัพเดทตำแหน่งล่าสุดที่อากาศยานนั้นอยู่ ดังรูปที่ ข.4 จะปรากฏตำแหน่ง Home ขึ้นมา ถ้าหากต้องการให้ตำแหน่ง Home เป็นตำแหน่งเริ่มต้นให้ทำการกด Add Below เพื่อเพิ่มตารางคำสั่ง ในช่อง Command ดังรูปที่ ข.5 ผู้วิจัยเลือกโหมดเป็น TAKEOFF ที่ Alt 2 หมายความว่าที่ตำแหน่งนี้ต้องการให้อากาศยานลอยตัวขึ้นไปที่ระดับ 2 เมตร เสร็จแล้วทำการเลือกตำแหน่งที่สองที่ต้องการ โดยตำแหน่งนี้ผู้วิจัยกำหนดความสูงเป็น 20 เมตร ในตำแหน่งที่สามก็เช่นเดียวกันกับตำแหน่งที่สอง ในตำแหน่งที่สี่ ผู้วิจัยกำหนดให้เป็นโหมด Return To Launch คือต้องการให้อากาศยานบินกลับไปที่ตำแหน่ง Home และในตำแหน่งสุดท้ายกำหนดให้เป็นโหมด Land ที่ Alt 2 คือผู้วิจัยกำหนดให้เป็นตำแหน่งในการลงจอดของอากาศยาน โดยระดับความสูงจะเริ่มลดจากตำแหน่งที่สามคือ 20 เมตร ลดลงมาเรื่อยๆ จนถึงระดับความสูง 2 เมตร ที่ตำแหน่ง Home แล้วทำการลงจอด ดังรูปที่ ข.6



รูปที่ ข.4 แสดงตำแหน่ง Home



รูปที่ ข.5 แสดง โหมดต่างๆ ในช่อง Command



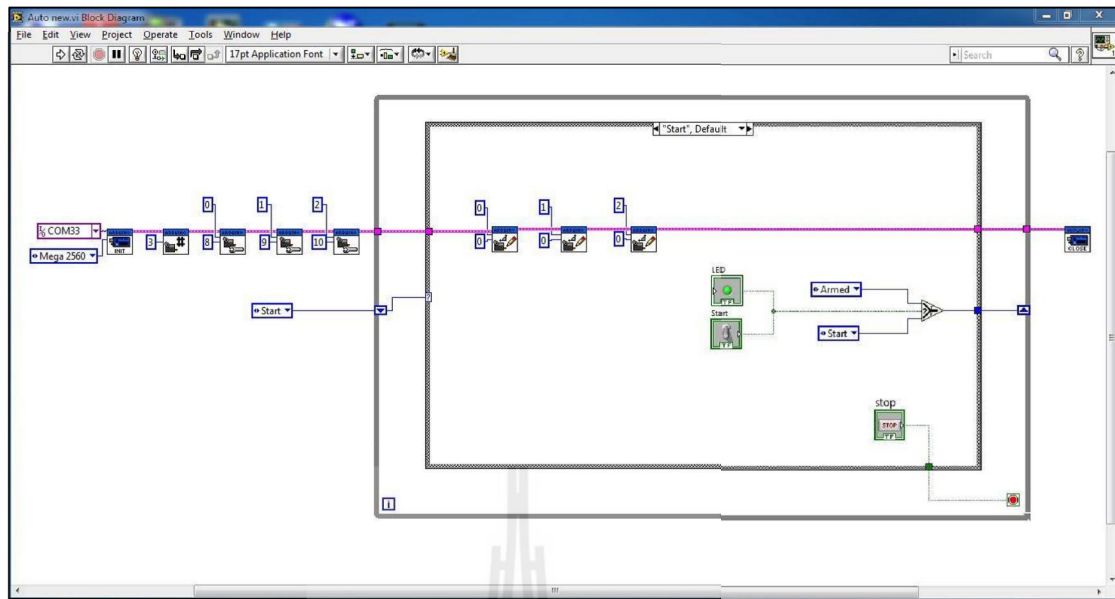
รูปที่ ข.6 แสดงหน้าต่าง FLIGHT PLAN ที่มีการกำหนด Waypoint

เมื่อเราทำการกำหนด Waypoint เรียบร้อยแล้วให้กด WriteWPs เพื่อเป็นการบันทึกข้อมูลลงสู่บอร์ด APM เพียงเท่านี้ก็สามารถทำการบินแบบ Auto Waypoint ได้แล้ว แต่อย่าลืมทำการตั้งค่าวิทยุบังคับให้มีโหมดสำหรับการบิน Auto ด้วย จึงจะสามารถทำงานให้โหมดนี้ได้อย่างสมบูรณ์

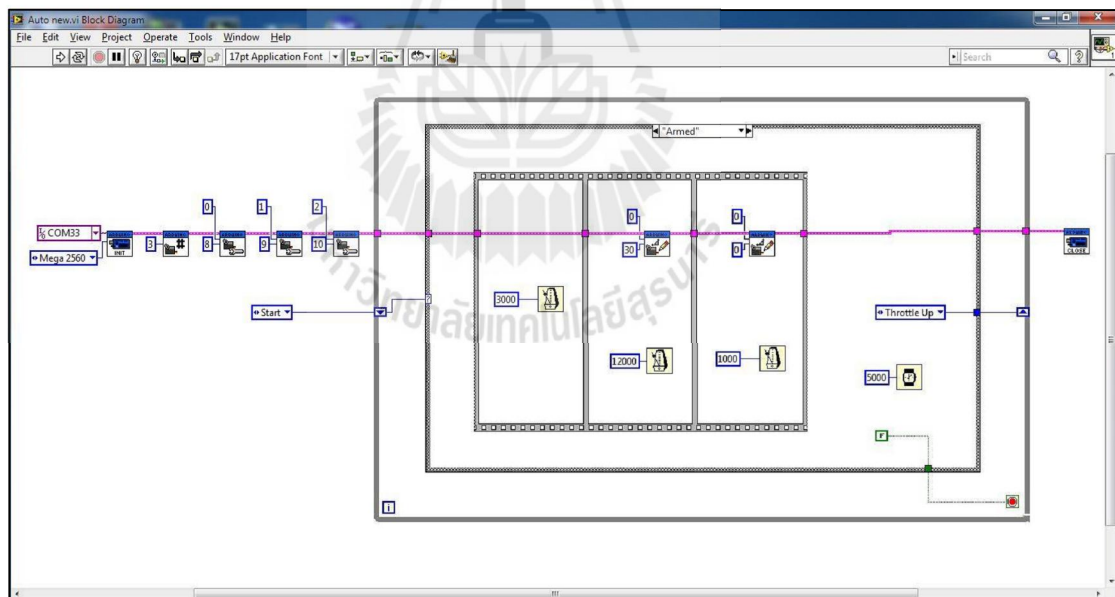
ภาคผนวก ค

รายละเอียดโปรแกรม Lab View สำหรับการควบคุมวิทยุบังคับ

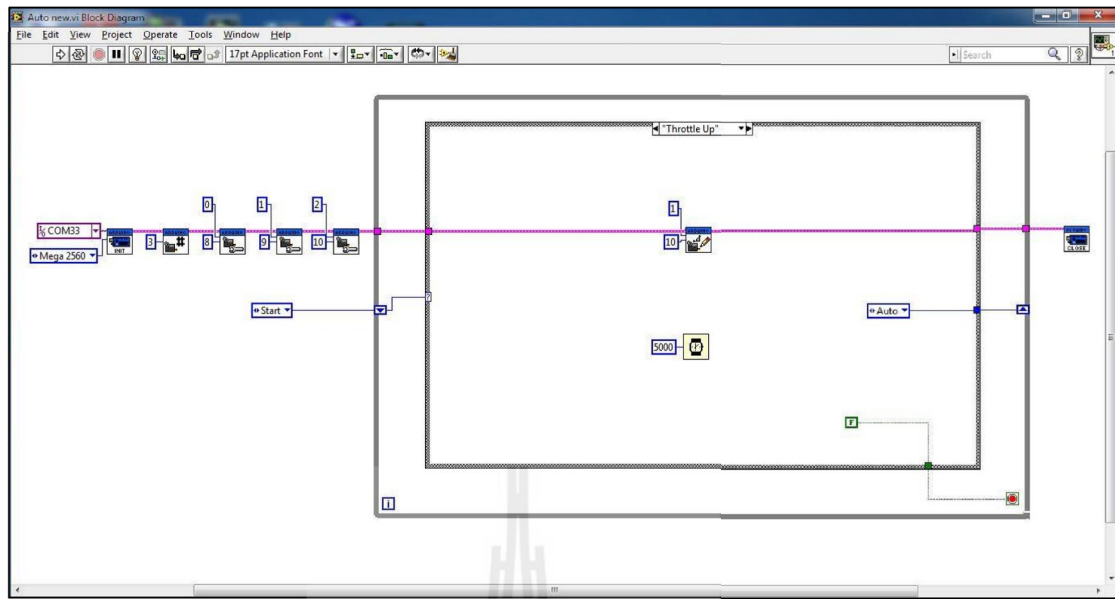
มหาวิทยาลัยเทคโนโลยีสุรนารี



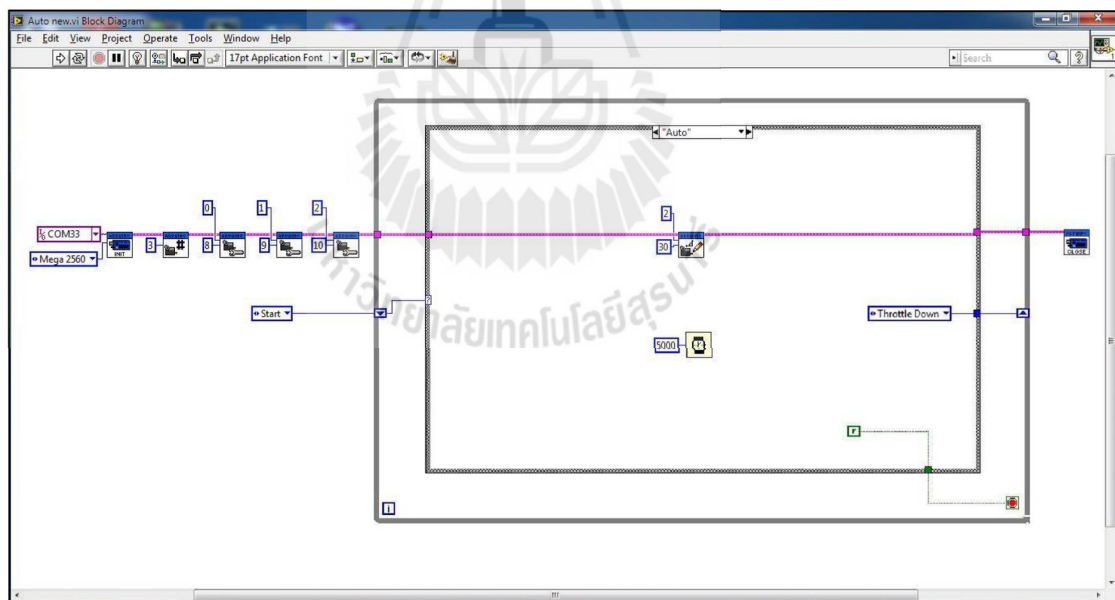
รูปที่ ค.1 แสดงรายละเอียดโปรแกรม Lab View สำหรับการ Start



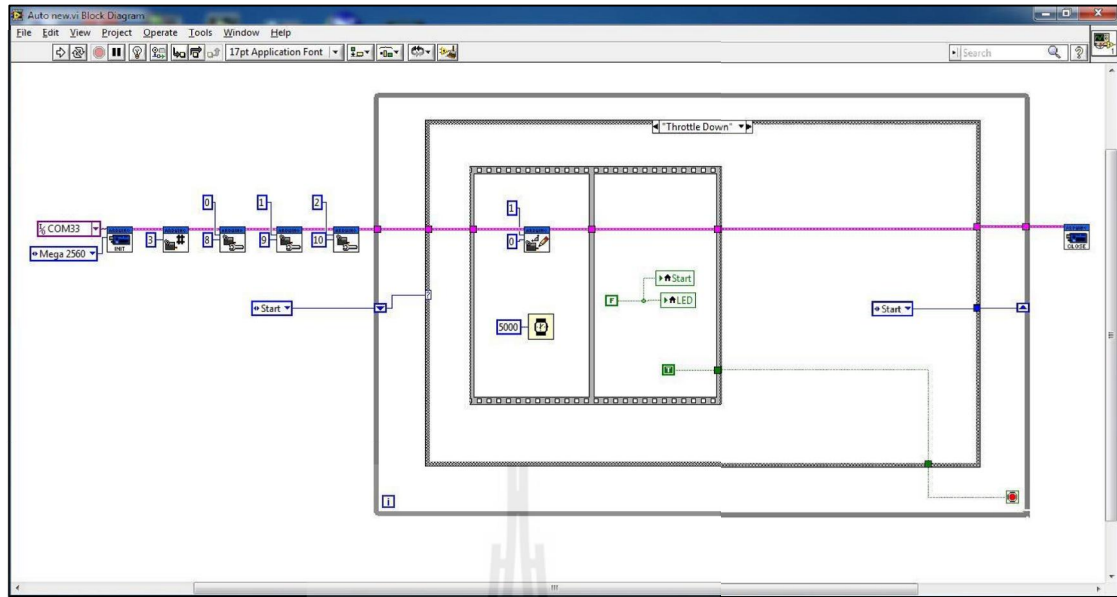
รูปที่ ค.2 แสดงรายละเอียดโปรแกรม Lab View สำหรับการ Armed



รูปที่ ค.3 แสดงรายละเอียดโปรแกรม Lab View สำหรับการ Throttle Up



รูปที่ ค.4 แสดงรายละเอียดโปรแกรม Lab View สำหรับการ Auto



รูปที่ ค.5 แสดงรายละเอียดโปรแกรม Lab View สำหรับการ Throttle Down

ภาคผนวก ง

รายการตรวจสอบก่อนการบินอาคญาณสีใบพัด

มหาวิทยาลัยเทคโนโลยีสุรนารี

๔. รายการตรวจสอบก่อนการบินอากาศยานสีใบพัด

เนื่องจากการบินอากาศยานสีใบพัดนั้นถือว่ามีความเสี่ยงที่จะสามารถเกิดอันตรายต่อกัน สัตว์ สิ่งของและทรัพย์สินได้ตลอดเวลา ดังนั้นเพื่อความปลอดภัยและป้องกันการเกิดความเสียหาย จากตัวอากาศยาน จึงควรมีการตรวจสอบโครงสร้าง อุปกรณ์ และค่าการส่งสัญญาณต่างๆ ให้อยู่ใน สภาพที่ถูกต้องและพร้อมใช้งาน ในส่วนนี้ทางผู้วิจัยได้รวมรวมรายการการตรวจสอบพื้นฐาน เพื่อ ลดความเสี่ยงในการเกิดอันตรายที่มาจากการบินอากาศยานสีใบพัด

- โครงสร้าง :

- ตรวจสอบความแข็งแรงของโครงสร้างและไม่มีรอยแตกหัก
- ตรวจสอบความหนาแน่นของการยึดติดระหว่างชิ้นส่วนของโครงสร้าง

- ใบพัด :

- ตรวจสอบสภาพใบพัดให้อยู่ในสภาพพร้อมใช้งาน ไม่มีรอยแตกหักหรือเสียหาย
- ตรวจสอบการติดตั้งให้ถูกต้องตามทิศทางการหมุนของมอเตอร์
- ตรวจสอบการยึดติดของใบพัดกับแกนของมอเตอร์ ให้มีความหนาแน่น
- ตรวจสอบการหมุนของใบพัด สามารถหมุนได้อย่างราบรื่น ไม่มีวัตถุอุดขวาง ระนาบการหมุนของใบพัด

- มอเตอร์ :

- ตรวจสอบระบบสายไฟว่าไม่มีการขาดหรือชำรุด
- ตรวจสอบทิศทางการหมุนให้ถูกต้องตามลักษณะของอากาศยานสีใบพัด
- ตรวจสอบการติดตั้งมอเตอร์กับโครงสร้างของอากาศยาน

- แบตเตอรี่ :

- ตรวจสอบค่าแรงดันของแบตเตอรี่ให้มีค่าแรงดันเดิมความจุของแบตเตอรี่
- ตรวจสอบการติดตั้งอย่างปลอดภัย มีสายรัดหนาแน่น ไม่เกิดการหลุดของ แบตเตอรี่ขบวน

- วิทยุบังคับ :

- ตรวจสอบโหมดการบินให้ถูกต้องกับการใช้งาน
- ตรวจสอบการส่งสัญญาณในระยะความคุ้มการบิน

- โปรแกรม Mission Planner :

- _____ ตรวจสอบสัญญาณ GPS จะต้องแสดง 3D Fix เพื่อแสดงการตรวจจับของสัญญาณ
- _____ ตรวจสอบค่าความแม่นยำของสัญญาณ GPS (gpshdop) ต้องมีค่าอยู่ระหว่าง 1.5 – 2.0

_____ ตรวจสอบจำนวนดาวเทียม (Stascount) ที่ทำการตรวจจับ ได้ ต้องสามารถต้อง จับได้มากกว่า 4 ดวงขึ้นไป

- ตรวจสอบสภาพอากาศที่เหมาะสม ห้องฟ้าเปิด ลมสงบ
- ตรวจสอบสภาพพื้นที่ สภาพแวดล้อม ที่จะใช้ในการบิน ให้อยู่ในบริเวณที่โล่งแจ้ง หลีกเลี่ยงการบินเหนือคน สัตว์ สิ่งของและบ้านเรือน เพื่อไม่ให้เกิดความบาดเจ็บและเสียหายต่อทรัพย์สิน
- ก่อนเริ่มบินด้วยโหมดการบิน Auto Mode นั้น จะต้องทำการบินทดสอบในโหมดการบิน Loiter Mode ก่อน เพื่อตรวจสอบการจับสัญญาณของ GPS ที่สามารถรักษาพิกัดตำแหน่งและความสูงของอากาศยานได้



รายชื่อบทความทางวิชาการที่ได้รับการตีพิมพ์เผยแพร่

Patthama Chooklin, Kontorn Chamniprasart and Chalothorn Thumthae. (2014).

DESIGN AND PROTOTYPING OF MULTI-ROTOR AIRCRAFT WITH AUTOMATE MOTION CONTROL. THE 8th SOUTH EAST ASIAN TECHNICAL UNIVERSITY CONSORTIUM (SEATUC) SYMPOSIUM, 4 pp. March 3th -5th, 2014, Johor Bahru, Malaysia.



OS Number _____

DESIGN AND PROTOTYPING OF MULTI-ROTOR AIRCRAFT WITH AUTOMATE MOTION CONTROL

PathamaChooklin, KontornChamniprasart, and ChalothornThumthae
School of Mechanical Engineering, Suranaree University of Technology

ABSTRACT

As a big area administration buildings in Suranaree University of Technology (SUT) were located far apart. Transferring document between buildings is quite difficult. This research will create a prototype of automatic unmanned quad-rotor aircraft for document transfer between buildings. There are defined stations for transferring document between buildings. The routes of the multi-rotor aircraft can be controlled without human. The quad-rotor aircraft uses GPS to determine its route with auto pilot electronic system. The quad-rotor aircraft is required to carry 200 g payloads at 10 m. altitude. This research is expected to help document transfer within SUT, saving time and providing higher performance.

1. INTRODUCTION

The first experiment used multi-rotor aircraft designs found in the 1920s by the United States Army. The first concept employed hexa-rotor aircraft and the next evolution was 4 rotors and 8 rotors. The purpose is to use in a military mission.

For the last few decades, small scale Unmanned Aerial Vehicles (UAVs) have become more commonly used in many applications. The need for aircraft with greater maneuverability and hovering ability has led to current rise in quad-rotor research. The four-rotor design allows quad-rotor to be relatively simple in design yet highly reliable and maneuverable. Cutting-edge research is continuing to increase the viability of quad-rotor by making advances in multi-craft communication, environment exploration, and maneuverability. If all of these developing qualities can be combined together, quad-rotor would be capable of doing several autonomous missions that are currently not possible with any other vehicle. [1]

2. BASIC CONCEPTS OF QUAD-ROTOR AIRCRAFT

All the propeller axes of rotation are fixed and parallel, they have fixed-pitch blades and their air flow points downwards, only propeller speed can be varied.

The front and the rear propellers rotate counter-clockwise, while the left and the right ones turn clockwise.

2.1 Hovering: All the propellers rotate at the same speed (ω). Thus, the quad-rotor performs stationary flight and no forces or torques moves it from its position.

2.2 Throttle: This command is provided by increasing (or decreasing) the entire propeller speeds by the same amount.

2.3 Roll: This command is provided by increasing (or decreasing) the left propeller speed and by decreasing (or increasing) the right one. It leads to a torque with respect to the x_B axis which makes the quad-rotor turn.

2.4 Pitch: This command is very similar to the roll and is provided by increasing (or decreasing) the rear propeller speed and by decreasing (or increasing) the front one.

2.5 Yaw: This command is provided by increasing (or decreasing) the front-rear propeller's speed and by decreasing (or increasing) that of the left-right couple. It leads to a torque with respect to the z_B axis which makes the quad-rotor turn. The yaw movement is generated thanks to the fact that the left-right propellers rotate clockwise while the front-rear ones rotate counterclockwise. Hence, when the overall torque is unbalanced, the helicopter turns on itself around z_B . The total vertical thrust is the same as in hovering. [2]

OS Number_____

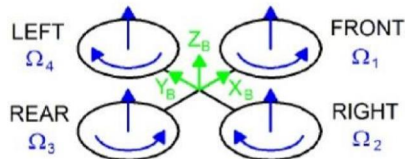


Fig. 1 Position and direction of quad-rotor

3. DESIGN

3.1 DESIGN SPECIFICATIONS

3.1.1 Payload: The payload consists of a box of A4 size papers and documents to be carried. The total weight (W_{payload}) must not exceed 200 g.

3.1.2 Flight time: The departure and arrival stations are located in the equipment building F6 and station B located in the equipment building F5. The distance is 100 m. The quad-rotor can flight for 7 min at 20 m. altitude.

3.2 Design

The quad-rotor aircraft design is divided into 3 parts: power system, structure, and control systems. The principles of design are.

3.2.1 System power

System power is a device used for lifting and moving the quad-rotor aircraft, including motor, electronic speed control, propeller, and batteries.

The design of the power system can be summarized briefly as follows:

- 1) Calculating the total weight (W_{Total}) of the aircraft.
- 2) Calculating the maximum thrust (T_{Max})
- 3) Applying maximum thrust to calculate the size of motor and propeller that meet the requirement.
- 4) Calculating the consumption rate for selecting a battery with suitable capacity. This involves the consumption of the motor and the flight duration.

To calculate the total weight (W_{Total}) of the aircraft, the maximum weight of the structure (W_{Frame}) power system weight (W_{Device}) is 1,900 g, while payload (W_{Payload}) is 200 g.

$$\begin{aligned} \therefore W_{\text{Total}} &= W_{\text{Frame}} + W_{\text{Device}} + W_{\text{Payload}} & (1) \\ &= 1,900 + 200 \\ &= 2,100 \text{ g.} \end{aligned}$$

The system power efficiency of the thrust is 80%, so the total weight (W_{Total}) accounted for 80% of the thrust (T_{use}).

$$\begin{aligned} \therefore 0.80 T_{\text{use}} &= W_{\text{Total}} & (2) \\ T_{\text{use}} &= \frac{2100}{0.80} \\ &= 2,625 \text{ g.} \end{aligned}$$

The motor in the range of 40 - 70% of the maximum thrust (T_{Max}). To find the maximum thrust, the imposed motor is 70%.

$$\begin{aligned} \therefore 0.70 T_{\text{Max}} &= T_{\text{use}} & (3) \\ T_{\text{Max}} &= \frac{2625}{0.70} \\ &= 3,750 \text{ g.} \end{aligned}$$

The calculated maximum thrust (T_{Max}) is for 4 motors, thus, the maximum thrust for one motor (T_{piece}) is 937.5 g. The T_{piece} is the criterion of selecting appropriate motor and propeller.

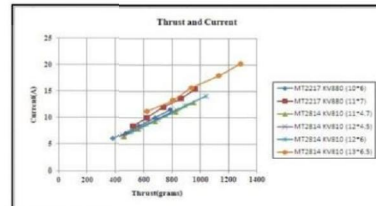


Fig. 2 Test results of thrust and current of motor

The selected motors were tested for thrust wages and rates of consumption. As a result the motor serial MT2814 810KV propeller type APC 11*4.7 was selected

After that, the consumption of motor per minute was calculated in order to find the capacity of the battery. To calculate the total current (A_{Total}) of the aircraft, we first calculated the current that is used for taking off ($A_{\text{Take-off}}$) obtained from the take-off thrust ($T_{\text{Take-off}}$). The take-off is set as 30% of T_{piece} [3]

$$\begin{aligned} \therefore A_{\text{Take-off}} &= 0.3 T_{\text{piece}} & (4) \\ &= 281.25 \text{ g.} \end{aligned}$$

From the chart test motor it is found that $T_{\text{Take-off}}$ (281.25 g.) corresponds to $A_{\text{Take-off}}$ of 4.31 A. Then a current of 71.83 mA/min per motor is converted. When the speed of aircraft was 120 m/min, it took 0.16 min for climbing up to 20 m. Thus, the $A_{\text{Take-off}}$ for one motor is modified as.

$$\begin{aligned} \therefore A_{\text{Take-off}} &= 71.83 \times 0.16 & (5) \\ &= 11.50 \text{ mA/motor} \end{aligned}$$

The current for hovering (A_{Hovering}) is calculated from hovering thrust (T_{Hovering}) which is equal to T_{piece} as follows:

$$\begin{aligned} \therefore T_{\text{Hovering}} &= T_{\text{piece}} & (6) \\ &= 937.5 \text{ g.} \end{aligned}$$

From chart test motor T_{Hovering} corresponds to the current 12.71 A. The current is converted into 211.83 mA/min per motor. The time it takes is 8 minutes

OS Number_____

$$\therefore A_{\text{Hovering}} = 211.83 \times 8 \quad (7)$$

$$= 1,482.81 \text{ mA/motor}$$

The current used for landing (A_{Landing}) is assigned at the speed 36 m/min, then it uses 0.55 min. From the manual, the current of motor during idle is 0.65 A. which is converted into 10.83 mA/min per motor. Thus,

$$\therefore A_{\text{Landing}} = 10.83 \times 0.55 \quad (8)$$

$$= 5.95 \text{ mA/motor}$$

Therefore, the calculation of the total current (A_{Total}) at 8 minutes is

$$\therefore A_{\text{Total}} = A_{\text{Takeoff}} + A_{\text{Hovering}} + A_{\text{Landing}} \quad (9)$$

$$= 11.50 + 1,482.81 + 5.95$$

$$= 1,500.26 \text{ mA}$$

The above calculation of A_{Total} considers only one motor, the current of all motors is $1,500.26 \times 4 = 6,001.04 \text{ mA}$ at 7 min, therefore; the capacity of the battery type Li-Po is approximately 7000 mA.

3.2 Structures

Structural design will use a device that is strong and lightweight. The structures are made of carbon fiber materials. The main structure and the sleeves that hold the motor mount are the carbon fiber sheet with the thickness of 1.6 mm. The arm of aircraft is carbon fiber pipe with 16 mm in diameter. The size of the propeller is 11 inch in length to the spacing between the propeller and the main structure should not be less than 4 inches or 10.16 cm. The lower part of the main structure is installed with the document box size 30x22 cm. The arm size measured between the motor shafts must be 68 cm in width.

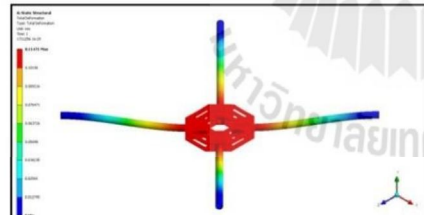


Fig. 3 Analysis of the buckling using ANSYS program

The strength of the aircraft structure is analyzed through buckling using ANSYS program. The normal force of 40 N. was applied to the main structure, neglecting the weight of motor and propeller. [4]

The result showed that the failure caused at the maximum value of 0.1147 mm. In fact, the aircraft

does not carry load as much as 40 N, thus this structure is acceptable in the real condition.

3.3 Control

Flight control system and the aircraft is airborne with both normal and automatic modes. Flight control system consists of active CPU (ATMEGA2560 and ATMEGA32U-2), sensor status stable or flight posture (MPU6000, with a rate gyro, 3-axis and 3-axis accelerometer), three-axis magnetic sensor (HMC5883L-TR), barometer (MS5611-01BA03), GPS (uBlox LEA-6H) and power levels. The Arduino software was chosen for installation because it is easy to develop.

4. RESULTS

Structural design and installation of the flight controls without payload is shown in Fig.4



Fig. 4 Quad-rotor without payload

In the flight test, the quad-rotor aircraft with remote control can fly at the specified altitude. The aircraft rolled during floating. Thus, it needs to refine the balance and fine-tune the PID. For the hovering time, the aircraft can fly 10 min, which is greater than the calculated value. This is due to the constant floating rate consumption, making it fly longer.

REFERENCES

1. Wikipedia (2556)., Quadrotor., <http://en.wikipedia.org/wiki/Quadcopter>
2. TommasoBresciani., Modelling, Identification and Control of a Quadrotor Helicopter, Department of Automatic Control Lund Univ., pp. 8-11, 2008
3. Antonio DiCesare, Kyle Gustafson, Paul Lindenfelzer., Design Optimization of a Quad-Rotor Capable of Autonomous Flight, Worcester Polytechnic Institute, pp. 22-44, 2008
4. Howard D. Curtis., Fundamentals of aircraft structural analysis., McGraw-Hill International Edition, ISBN: 0-07-118813-4, 1997

OS Number_____

Andrew Malinowski, Karson Miller, Priyank Patel, Joey Yore., Helicat: High-Performance Modular UAV., 1012



Patthama Chooklin

Received the B.Eng (2010) in Manufacturing Engineering from Suranaree University of Technology.



Chalothorn Thumthae received the B.Sc. (2000) in Mechanical Engineering, M.Eng. (2002) in Mechanical Engineering from King Mongkut's Institute of Technology Ladkrabang, and Ph.D. (2009) in Mechanical Engineering from Suranaree University of Technology



Kontorn Chamniprasart received the B.Sc. (1980) in Mechanical Engineering (First Class Honors) from Royal Thai Air Force Academy, Thailand, M.Sc. (1987) in Mechanical Engineering from University of Pittsburgh, USA, and Ph.D. (1992) in Mechanical Engineering from University of Pittsburgh, USA.